

الجمهورية الجزائرية الديمقراطية الشعبية
REPUBLIQUE ALGERIENNE DEMOCRATIQUE ET POPULAIRE

وزارة التعليم العالي
Ministère de l'Enseignement Supérieur

المدرسة الوطنية للعلوم الهندسية
ECOLE NATIONALE POLYTECHNIQUE D'ALGER

E. N. P. A. ECOLE NATIONALE POLYTECHNIQUE
BIBLIOTHÈQUE

DEPARTEMENT HYDRAULIQUE

PROJET DE FIN D'ETUDES

en vue de l'obtention du Diplôme d'Ingénieur d'Etat

THEME :

ALIMENTATION EN EAU POTABLE ET ASSAINISSEMENT DE LA VILLE DE HASSI BAHBAH

Proposé par : SETHYAL

Etudié par : { AIDA F.
..... ZEGHDOUDI A.

Dirigé par : BOUACHE M.



الجمهورية الجزائرية الديمقراطية الشعبية
REPUBLIQUE ALGERIENNE DEMOCRATIQUE ET POPULAIRE

وزارة التعليم العالي
Ministère de l'Enseignement Supérieur
المدرسة الوطنية للعلوم الهندسية
ECOLE NATIONALE POLYTECHNIQUE D'ALGER
E. N. P. A.

DEPARTEMENT HYDRAULIQUE

PROJET DE FIN D'ETUDES

en vue de l'obtention du Diplôme d'Ingénieur d'Etat

THEME :

ALIMENTATION EN EAU POTABLE ET ASSAINISSEMENT DE LA VILLE DE HASSI BAHBAH

Proposé par : SETHYAL

Etudié par : { AIDA F.
..... ZEGHDOUDI A.

Dirigé par : BOUACHE M.

بِسْمِ اللَّهِ الرَّحْمَنِ الرَّحِيمِ

أَفَلَا يَتَّهِمُ الْمَاءُ الَّذِي تَشْرُبُونَ، إِنَّمَا تَمْرِيدُ
أَنْزَلَتِ الْمَوْهَةَ مِنَ الْمَرْفَنِ أَمْ نَخْنُ لِلنَّازِلِونَ.

وَجَعَلْنَا مِنَ الْمَاءِ كُلَّ شَيْءٍ حَيًّا.

صَدَقَ اللَّهُ الْفَظِيلُ



E M E R C I E M E N T S

Nous tenons à remercier vivement pour l'aide et la comprehension tous ceux qui soit par leurs orientations, soit par leurs conseils, soit par leurs directives : en un mot tous ceux qui n'ont ménagé aucun effort pour nous permettre l'élaboration de cette étude dans de bonnes conditions.

A. MESSIEURS :

- Monsieur BOUACHE, notre promoteur et A. KETTAB Chef de Département d'Hydraulique nous exprimons notre profonde gratitude.
- ~~A Monsieur G. Lepray~~
- A tous les professeurs et assistants
- A Monsieur KACIMI Directeur Technique de la (S.ET.HY.AL.).
- A Monsieur KOSELER Ingénieur à la S.ET.HY.AL.

Nos remerciements les plus sincères pour leur efficace contribution.

AIDA. F. et ZEGHDoudi. A.

1984 - 1985.

S O M M A I R E

1ere Partie. A.E.P.

CHAPITRE I.

	PAGE
1. INTRODUCTION.....	1 1
2. SITUATION GEOGRAPHIQUE.....	
3. CLIMATOLOGIE	
4. DEMOGRAPHIE.....	
5. EVOLUTION DE LA POPULATION.....	2
6. BASE DE CALCUL.....	

CHAPITRE II.

1. EVALUATION DES BESOINS EN EAU POTABLE.....	4
1.1. LES BESOINS EN EAU POUR LE MOYEN TERME.....	
1.2. BESOINS EN EAU POUR LE LONG TERME.....	7
1.3. PERTES ET MARGES.....	9
1.4. INVENTAIRES DES RESSOURCES DISPONIBLES.....	10

CHAPITRE III.

ADDUCTION.

1. CHOIX DU TRACE.....	11
2. TYPE D'ADDUCTION.....	
A. ADDUCTION PAR REFOULEMENT.....	13
1. DETERMINATION DU DIAMETRE ECONOMIQUE.....	
B. CHOIX DES POMPES.....	22

CHAPITRE IV.

RESERVOIRS.

1. UTILITE.....	26
2. EMPLACEMENT.....	
3. CAPACITE.....	
4. DIMENSIONNEMENT.....	30
5. EQUIPEMENTS.....	

CHAPITRE V.

DISTRIBUTION.

1. ETUDE DES PROBLEMES POSES PAR LA VARIATION DES DEBITS...	33
2. DIMENSIONNEMENT DU RESEAU DE DISTRIBUTION.....	34

.../...

2.1.METHODE DE CALCUL.....	40
3.RESEAU MAILLE.....	
3.1.METHODE DE CALCUL.....	40
3.2.PRINCIPE DE LA METHODE.....	
4.DIMENSIONNEMENT DES CONDUITES DE DISTRIBUTIONS ZONE I,II.....	44
4.1.CALCUL DU DIAMETRE DE LA CONDUITE DE DISTRIBUTION ZONE I.....	
4.2.CALCUL DE LA CONDUITE DE DISTRIBUTION ZONE II.....	52
5.EQUIPEMENT DU RESEAU DE DISTRIBUTION.....	56
<u>CHAPITRE VI.</u>	
PROTECTION DES CONDUITES CONTRE LE COUP DE BELIER.	
1.GENERALITES.....	65
2.MOYENS DE PROTECTION.....	66
2.1.ETUDE DU RESERVOIR D'AIR.....	
2.2.CALCUL DU RESERVOIR D'AIR.....	
2.3.PRINCIPE DE CALCUL.....	68
PROTECTION DES CONDUITES CONTRE LA CORROSION.	
1. PROTECTION CATHODIQUE.....	
<u>CHAPITRE VII</u>	
POSE DES CONDUITES.....	83

2ème Partie.

ASSAINISSEMENT.

CHAPITRE I. GENERALITES.

PAGE.

1.1.DEFINITION.....	86
1.2.PRINCIPE DE CONSTRUCTION DU RESEAU D'ASSAINISSEMENT.....	
1.3.FONCTIONNEMENT DU RESEAU.....	

CHAPITRE II. ETUDE.

2.1.TYPE D'EAU A EVACUER.....	87
2.2. CALCUL DU RESEAU.....	
2.2.1.EAUX PLUVIALES.....	
2.2.2.EAUX USEES.....	89
CHAPITRE III. PLAN DE CALCUL DU RESEAU D'ASSAINISSEMENT.....	90
3.1.CONCLUSION.....	92
CHAPITRE IV. ELEMENT CONSTITUTIFS DU RESEAU.....	93
4.1.OUVRAGES PRINCIPAUX.....	
4.2.OUVRAGES ANNEXES.....	
4.3.DIMENSIONNEMENT DU DEVERSOIR.....	

CHAPITRE V. POSE DE CANALISATION .

5.1.EMPLACEMENT.....	96
5.2.EXECUTION DE LA TRANCHEE.....	
5.3.POSE DE LA CANALISATION.....	
5.4.REMBLEMENT DES TRANCHES.....	
5.5.NETTOYAGE DU RESEAU D'EGOUT.....	

T A B L E A U D E S P L A N C H E S

PLANCHE N° I - Plan d'Urbanisme

PLANCHE N° II - Profil en long : Forage-Réservoir

PLANCHE N° III - Calcul du réseau maillé

PLANCHE N° IV - Schéma du réseau de distribution zone II.

PLANCHE N° V - Equipement du réseau de distribution.

PLANCHE N° VI - Traversée de route et chemin de Fer.

PLANCHE N° VII - Collecteurs principaux.

PLANCHE N° VIII- Calcul du réseau d'assainissement.

PLANCHE N° IX,X- Profils en long des collecteurs principaux.

CHAPITRE I1. INTRODUCTION :

La présente étude a pour intérêt et pour tout principe l'alimentation en eau potable de la ville de Hassi Bahbah dans la Wilaya de Djelfa.

La méthodologie adoptée repose sur les étapes suivantes :

- Calcul du réseau d'adduction
- Dimensionnement et calcul du réseau de distribution.

2. SITUATION GEOGRAPHIQUE.

La ville de Hassi-Bahbah se trouve dans la zone Sud des Hauts plateaux et occupe une position, par rapport à l'axe routier Alger-Ouargla (Nationale 1).

La ville se trouve dans une dépression naturelle, à mi-chemin entre les villes de Djelfa et Ain-Oussera.

3. CLIMATOLOGIE.

Les caractéristiques principales de la climatologie de la ville sont les suivantes :

- Situation : zone semi-aride
- pluviométrie : réduite, particulièrement en saison haute (Juin à Octobre)
- Amplitudes : accusent des écarts importants, surtout en saison haute (+ 35; 4° C).
- Vents dominants : Sud-Ouest; Sud-Est, de Mars à Octobre

Ces vents dominants ont créé un phénomène naturel, celui de l'érosion éolienne et de l'ensablement des rares terres arables se prêtant à la culture maraîchère.

Il convient de signaler que la région de Hassi-Bahbah est le passage obligé des transhumants vers le Nord, pour les populations d'éleveurs vivant dans la zone agro-pastorale, délimitée dans le quadrilatère-Hassi-Bahbah-Hassi-El-Euch-El-Nesrane.

Compte tenu de la démographie assez élevée dans la région et des constructions anarchiques dues à un mouvement de populations important, les besoins en eau potable demeureront forts, au même titre qu'une demande nouvelle, celle de la zone industrielle de création récente, avec des unités consommatrices d'eau.

.../...

A noter, que, nonobstant les données climatologiques citées ci-dessus, l'influence du Chott du Zharez est assez importante, au point d'induire une véritable action de protection contre la salinité remontant par capillarité et menaçant les rares terres mises en exploitation.

La ville de Hassi-Majbah dispose de ressources en eau minérales-type thermal-exploitées sous forme de puits artésiens.

4. DEMOGRAPHIE.

D'après les renseignements recueillis à la S.E.T.H.Y.A.L. d'Alger, en 1980 la ville occupait une superficie de 185 ha et comptait 15645 habitants.

Vu le découpage de la ville en zone, on constate que la densité est variable malgré la predominance des constructions sans étage.

5. EVOLUTION DE LA POPULATION.

Le taux d'accroissement est de 3,5 à 3,6 % on adopte 3,5 % pour les 10 à 30 années à venir cette tendance sera conservée pour l'immediat

Le recensement antérieur à donné.

ANNEE	POPULATION	CONSIDERATION
1966	5665	-le village sans agglomérations secondaire
1977	14063	y compris toute la commune.
1980	15645	enquête (C.R.D.A.P.)

6. BASE DE CALCUL.

L'évolution de la population est calculée selon la formule des intérêts composés :

$$P = P_0 (1 + \gamma)^t$$

.../...

-3-

P = Population future, dans notre cas en l'an 2010

P₀ = Population actuelle (1984).

t = Nombre d'années séparent les deux horizons

α = Taux d'accroissement National = 3,5 %

Le calcul de la population de l'année 1984-2010 est porté dans le tableau suivant.

ANNEE	1984	1985	1990	1995	2000	2005	2010
POPULATION	17953	18581	22068	26209	31129	36971	43912
AUGMENTATION	628	3487	1133	1920	5842	6941	

.../...

CHAPITRE II

1. Evaluation des besoins en eau potable.

Nous envisageons les besoins en eau potable pour deux horizons.

* Le moyen terme c'est à l'an 1995

* Le long terme c'est à l'an 2010

1.1. Les besoins en eau prévus pour le moyen terme.

- Besoins domestiques.

Population (hab)	Consommation moyenne journalière (L/j/hab)	Consommation Moy. journalière (m3/j)
26209	150	3931,35

- Besoins sanitaires.

Etablissement	Nombre de lits	Dotation (L/j/lit)	Consommation moyenne journalière (m3/j)
Hôpital	240	700	160

- Besoins municipaux (les bouches de lavage, Appareils publics, etc...).

Vu que nous ne disposons pas de renseignement concernant les équipements municipaux et administratifs nous prenons une donnée de 5 m³/an/hab.

$$Q = \frac{5 \times 26209}{365} = 359,0274 \text{ m}^3/\text{j}$$

$$Q = 359,03 \text{ m}^3/\text{j}$$

- Besoins scolaires.

Etablissement	Nombre d'élèves	Totation (l/j/élève)	Consommation moyenne journalière (m ³ /j)
8 écoles	3800	70	266
1 collège	600	70	42
			$\sum = 308 \text{ m}^3/\text{j}$

- 6 -

- Besoins divers.

Désignations	Superficie m ²	Dotation L/j/m ²	Consommation moyenne journalière (m ³ /j)
Unité de SONACOME	2000	5	10
Unité ONACO	2000	5	10
Mosquée	-	-	10
Fabrique de parpaing	-	6 m ³ /h	144
			$\sum = 174 \text{ L3/j}$

- Récapitulation des besoins du moyen terme.

Type de besoins	Domes- tiques	Sco- laires	Sanitaires	Munici- paux	Divers	Total
Consommation moyenne journalière (m ³ /j)	3931,35	308,00	160,00	359,03	174,00	4932,28 m ³ /j

2.2. Besoins prévus pour le long terme (l'an 2010).

- Besoins domestiques.

Population (hab)	Dotation moyenne journalière (l/j/h)	Consommation moyenne journa- lière (l/j)
43912	200	8782,40

- Besoins sanitaires.

On prévoit 3000 l/j pour un centre éventuel car l'existant ne suffit pas.

Etablissement	Nombre de lits	Dotation moyenne journalière (l/j/lit)	Consommation moyenne journalière (m3/j)
Hôpital	240	700	160

- Besoins municipaux.

Nous prévoyons une dotation de 10 m3/an/hab.

$$Q = \frac{10 \times 43912}{365} = 1203,0685 \text{ m3/j}$$

$$Q = 1203,07 \text{ m3/j}$$

- Besoins scolaires.

Etablissements	Nombre d'élèves	Dotation 2/j/élève	C.H.J m3/j
1 collège	600	70	42
8 écoles	3800	70	266
Construction éventuelle de 2 lycées	1600	70	112
$\Sigma = 420 \text{ m}^3/\text{j}$			

- Besoins divers.

Désignations	Superficie m ²	Dotation 2/j/m ²	Consommation moyenne journalière (m ³ /j)
Unité SONACOME	2000	5	10
Unité OIIACO	2000	5	10
Fabrique de parpaing		6 m ³ /h	144
Mosquée	-	-	10
$\Sigma = 174 \text{ m}^3/\text{j}$			

- Somme des besoins pour le long terme.

Type de besoins	Domes-tique	Sco-laire	San-i-taire	Munici-paux	Divers	Total
Consommation M-j (m ³ /j)	8782,4	420	163	1203,07	174	10916,47

1-3. Pertes et marges.

quelque soit l'état du réseau il y a toujours les fuites au niveau des joints, des robinets qui se ferment mal, etc....

Pour cela nous devons prendre en considération des pertes probables qui seront évaluées à 30% de la consommation moyenne journalière, pour éviter d'avoir à remanier le réseau plus tôt que prévu.

Horizons	Consommation m ³ /j	Majoration 30% m ³ /j	Débit total		
			m ³ /j	m ³ /h	Consom-mation l/s
1995	4932,38	1479,71	6412,09	267,17	74,21
2010	10916,47	3274,91	14191,41	591,31	164,25

1-4. Inventaire des ressources disponibles.

4.1. La ville de Hassi-Bah-Bah est dotée d'un forage qui se trouve hors de la ville.

Caractéristiques

- Pompe immergée
- Débit = 18 l/s
- Haut = 90 m
- Côte du plancher de la station de pompage = 885,20 m
- Diamètre intérieur du forage = 302 mm
- Position de la crête = -56 m au-dessous du plancher.

$$Q_F = \frac{18 \times 24 \times 3600}{1000} = 1555,20 \text{ m}^3/\text{j}$$

- L'eau provenant de ce forage est amenée par refoulement jusqu'au réservoir de stockage de 1000 m³, à savoir un réservoir surélevé qui dessert une partie de la ville située sur une colline.
- Le diamètre d'adduction est de Ø 200 mm, le matériau utilisé est l'amiante ciment. Le tracé est en bon état.
- L'ancien puits localisé en plein centre urbain à environ 250 m du côté Nord-Est de la Route Nationale 1, a un débit de 12 l/s et une profondeur de 18 m.

Vu sa situation les analyses effectuées ont révélé que l'eau de ce puits est polluée par les infiltrations des eaux usées.

4.2. Déficit.

- Déficit moyen terme (1995)

- * Besoin total = 6412,09 m³/j
= 74,21 l/s
- * Ressources disponibles = 1555,20 m³/j
= 18 l/s
- * Déficit = 4856,89 m³/j
= 56,21 l/s

- Déficit long terme (2010)

- * Besoin total = 14191,41 m³/j
= 164,25 l/s
- * Ressources disponibles = 1555,20 m³/j
= 18 l/s
- * Déficit = 12636,21 m³/j
= 146,25 l/s

CHAPITRE III

ADDUCTION

1. Choix du tracé.

- Le choix du tracé a été établi en tenant compte des conditions suivantes :

a - Le chemin le plus direct entre le lieu de captage et la retenue d'eau pour des raisons économiques des travaux.

b - Le tracé du profil aussi régulier que possible, et éviter les profils horizontaux.

c - Eviter les contre-pentes qui donnent naissance pendant l'exploitation à des emboîtements d'air et des cavitations. Ces inconvénients peuvent être évacuer au moyen de ventouses disposées en ces points hauts.

2. Type d'adduction.

- L'adduction se fera par refoulement des forages vers le réservoir de distribution.

3. Nombre de forages projetés.

- L'essai de débit effectué sur un forage réalisé à donné un débit : $Q = 40 \text{ l/s}$.

- $ND = - 83,24 \text{ m.}$

- Côte de terrain = $932,10 \text{ m.}$

Le débit total étant $Q_T = 146,25 \text{ l/s.}$

Connaissant le débit du premier forage réalisé : $Q_{f1} = 40 \text{ l/s.}$
Le déficit en débit est $Q_T - Q_{f1} = 146,25 \text{ l/s} - 40 = 106,25 \text{ l/s.}$

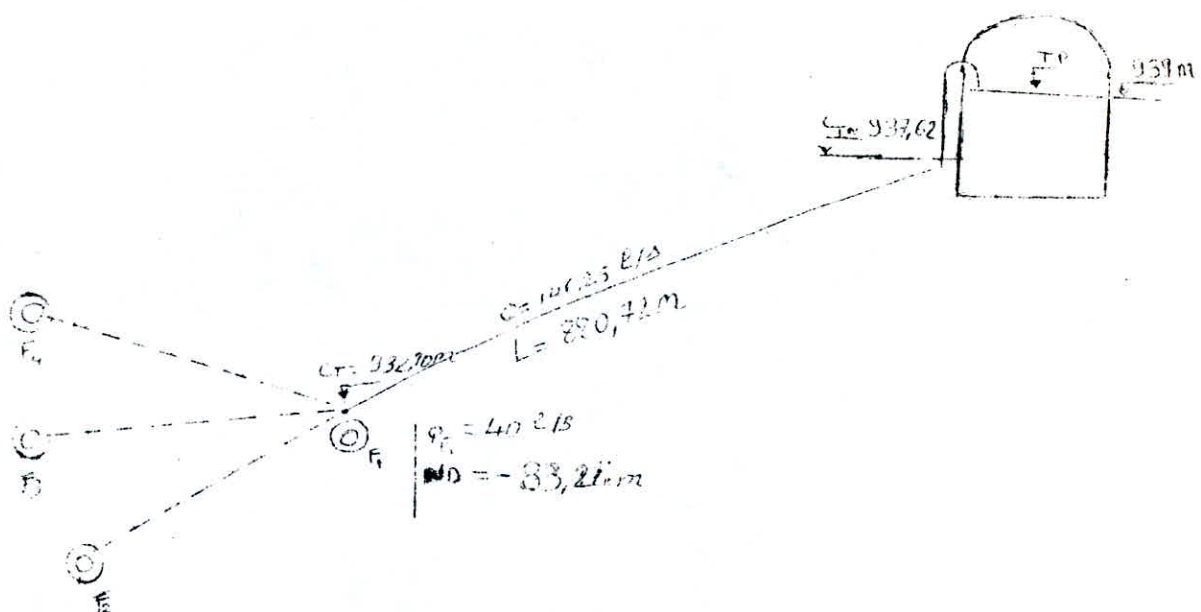
Le nombre de forages à réaliser sera :

$$n = \frac{106,25}{40} = 2,65$$

Soit $n = 3$

Ces forages seront réalisés sur le même champ de captage si les essais de débit sont concluants.

Schéma d'adduction.



A - Adduction par refoulement.

1 - Détermination du diamètre économique.

a) Détermination du diamètre de la conduite.

Le débit à véhiculer par celle-ci sera : $Q = 146,25 \text{ l/s} = 0,146 \text{ m}^3/\text{s}$.

Les paramètres qui interviennent dans le calcul sont :

- Le débit $Q = 0,146 \text{ m}^3/\text{s}$.

- La vitesse d'écoulement (v) comprise dans la limite: (0,3-1,5) m/s

- Le gradient de perte de charge J dépendant de la rugosité absolue et de la viscosité cinétique. Pour faire le calcul, nous nous fixons une vitesse d'écoulement quelconque.

De la formule de continuité $Q = vA$, nous tirons . . .

$$D \Rightarrow Q = vA \Rightarrow \frac{\pi D^2}{4}$$

$$D = \sqrt{\frac{4Q}{\pi v}} \quad . \quad D = \sqrt{\frac{4 \times 0,146}{3,14 \times 1,20}} = 0,393 \text{ m.}$$

Nous prenons un diamètre normalisé immédiatement supérieur $D = 400 \text{ mm.}$

$$v = \frac{Q}{A} = \frac{4Q}{\pi D^2} = \frac{4 \times 0,16}{3,14 \times (0,400)^2} = 1,162 \text{ m/s}$$

- Méthode classique.

- Détermination des pertes de charges dans la conduite par la formule de Darcy-Weisbach.

$$J = \frac{f \cdot v^2}{D \cdot g}$$

avec :

v : vitesse d'écoulement m/s

j : gradient de perte de charge

g : accélération de la pesanteur m/s²

D : diamètre de la conduite m

f : coefficient de frottement calculé par la formule de Colebrook.

$$\frac{1}{f} = 0,86 \ln \left(\frac{\epsilon}{3,71 D} + \frac{2,51}{Re \sqrt{j}} \right)$$

- La résolution de cette équation est faite par approximation successive, la première est donnée par le f_N Nikuradse.

$$f_N = (1,14 - 0,86 \ln \frac{\epsilon}{D})^{-2}$$

$$Re = \frac{vD}{\nu} \quad \begin{cases} \epsilon = 4 \cdot 10^{-4} \text{ m} \\ \nu = 1,14 \cdot 86 \cdot 10^{-6} \text{ m}^2/\text{s} \text{ pour } t = 15^\circ\text{C} \end{cases}$$

$$Re = \frac{1,16 \times 0,400}{1,1486 \cdot 10^{-6}} = 0,4039 \cdot 10^{+6} = 4,04 \cdot 10^5$$

$$\frac{\epsilon}{D} = \frac{4 \cdot 10^{-4}}{0,400} = 10 \cdot 10^{-4} = 0,001$$

$$f_N = 0,0334$$

$$f_C = 0,02037$$

$$\Delta h = \frac{f}{D} \cdot \frac{v^2}{2g} \cdot 1,15 Lg = 3,540 \text{ m.}$$

2. Calcul par la méthode de la fluidodynamique (G. Lafray)

$$\frac{\varepsilon}{D} = 0,001$$

$$Re = 4,04 \cdot 10^5$$

$$\varepsilon = 4 \cdot 10^{-4} \text{ m.}$$

$$A = \frac{D}{D_0} \quad \text{avec } D_0 = 1,539 \text{ pour un profil circulaire plein.}$$

$$\hat{A} = \frac{0,400}{1,539} = 0,2599 \approx 0,26 \text{ m.}$$

$A = 0,26 \text{ m}$ Nous avons supposé que le régime est turbulent rugueux : $d = 1$
 $\varepsilon = 0,4 \text{ m}$

L'abaque nous donne $\frac{2}{\sqrt{3}} = 2,466$

Vérification du régime.

$$R = \frac{q}{p_0} \cdot \frac{2}{\hat{A}} \cdot \frac{1}{d} = 0,827 \cdot \frac{0,146 \cdot 10^6}{0,26} \cdot \frac{1}{1,1486}$$

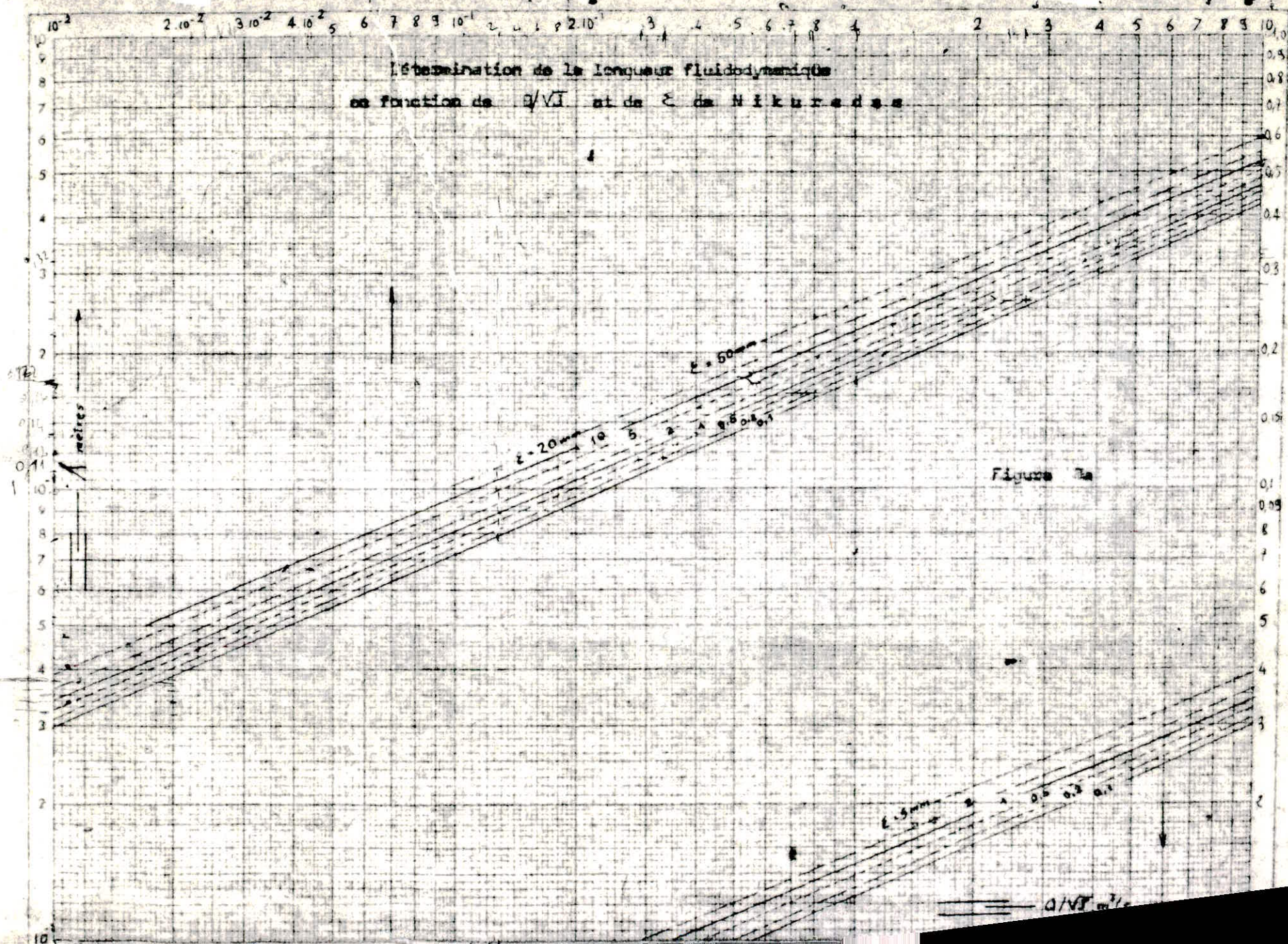
Abaque 170
 $R_j = 5,3$

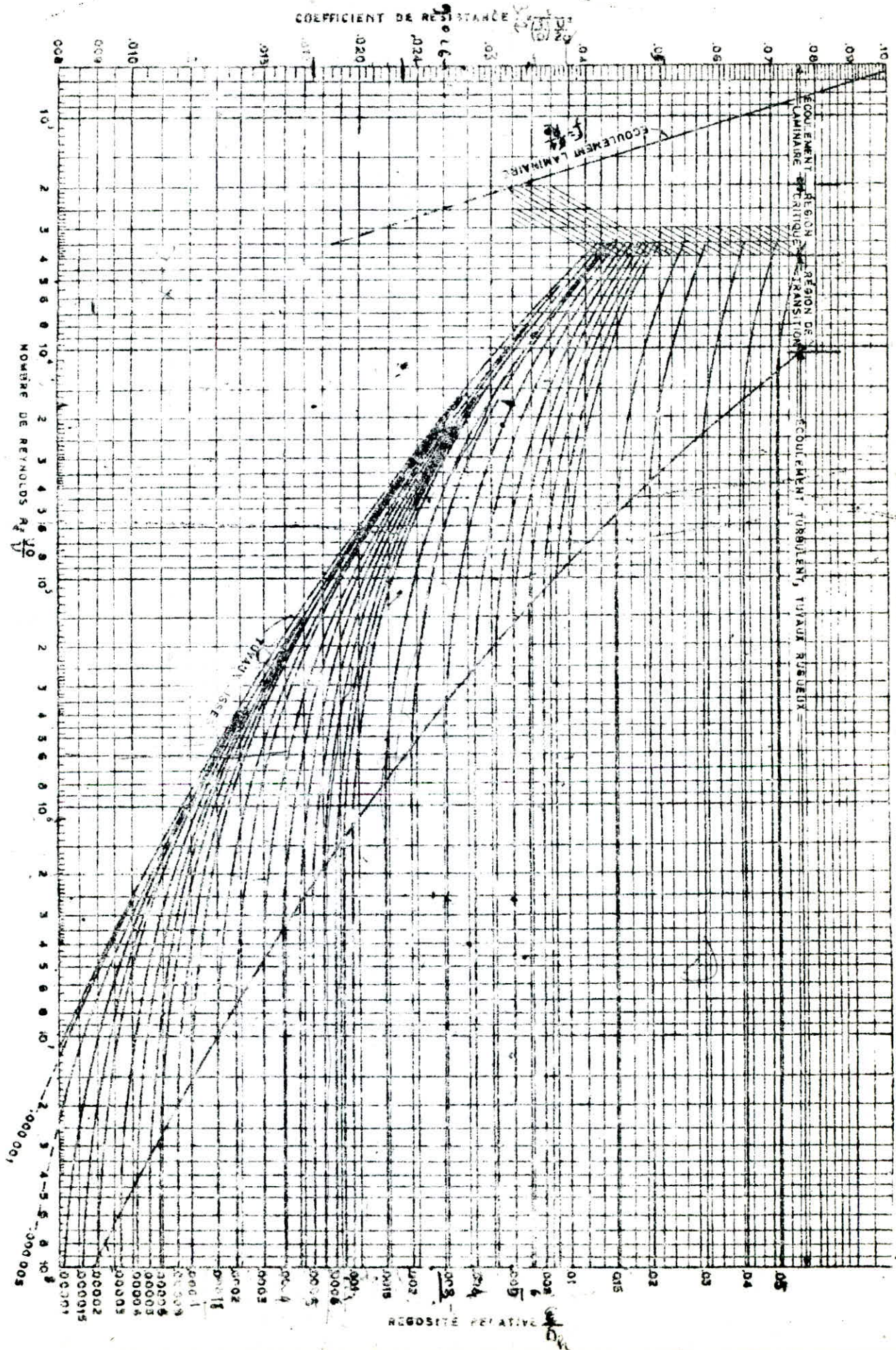
$$R = 4,043 \cdot 10^6$$

$$R_j = 5,3 = 1,038$$

$$\frac{\varepsilon}{D} = 0,002$$

Détermination de la longueur fluidodynamique
en fonction de δ/\sqrt{I} et de ϵ de Nikuradse





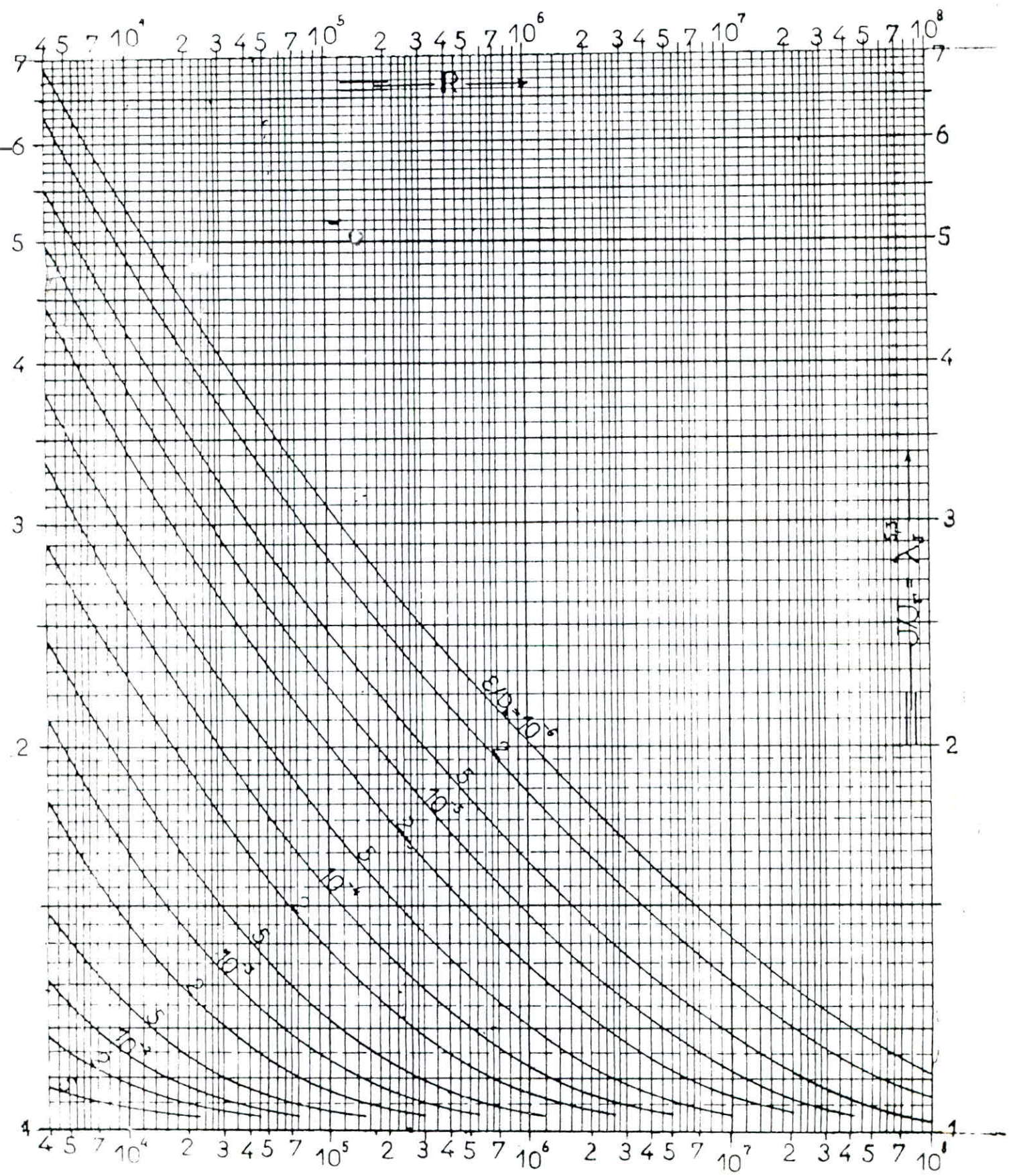
Exemple: $Re = 3 \times 10^5$; $\frac{E}{D} = 0,0002$; $\lambda = 0,0164$

$$\lambda_c = \frac{\lambda}{D}$$

$$N^5$$

Détermination du gradient J de la perte de charge
en régime de transition

17c
~~25~~

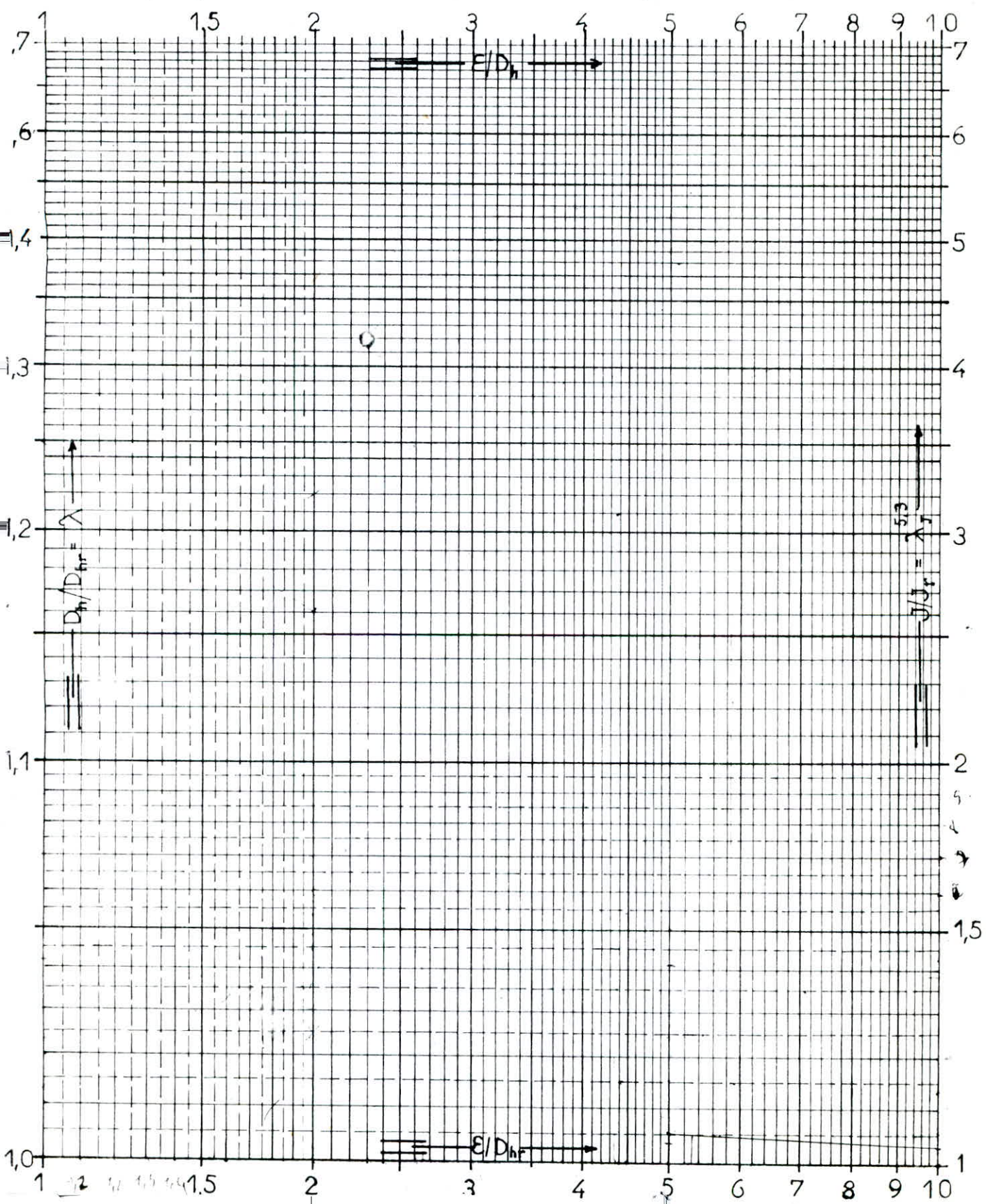


Facteurs de transition λ et $\lambda^{5,3}$

17_a

Réseau pour tracer les courbes, représentant:

$$\lambda = \frac{D}{D_r} = \frac{a}{a_r} \text{ en fonction de } \frac{\epsilon}{D_{hr}} \text{ et } \lambda^{5,3} = \frac{J}{J_r} \text{ en fonction de } \frac{\epsilon}{D_h}$$



$$J = J_R \cdot A_J^{5,3} = \left(\frac{0,146}{2,466} \right)^2 \cdot 1,035 = 0,0036$$

$$J = 0,0036$$

$$\Delta H = J \cdot L = 1,15 \cdot Lg \cdot J$$

$$\Delta H = 1,15 \cdot 880,72 \cdot 0,0036 = 3,64$$

$$\Delta H = 3,64 \text{ m.}$$

3/3- Détermination du diamètre économique de la conduite d'adduction.

Avant de passer au calcul du diamètre économique nous signalons que :

1^{ere} hypothèse : Le raccordement des différents forages se fera au niveau du forage F1 de 40 l/s.

2^{eme} hypothèse : Le déficit sera fourni à partir des 3 forages éventuels qui seront réalisés dans le même champ captant que le premier.

Dimensionnement de la conduite F1 crêpine.

Pour le calcul de ΔH et de la vitesse nous fixons un diamètre.

$$\epsilon = 4 \cdot 10^{-4} \text{ mm}$$

$$v = 1,1486 \cdot 10^{-6} \text{ m/s pour } t = 15^\circ\text{C.}$$

Tronçon	Longueur	Q l/s	D m	Δh (m)	v (m/s)
F1-Crépine	- 83,24	40	0,200	0,83	1,27
F1-2	880,72	146,25	-	-	-

$$\Delta h = J \cdot L.$$

$$v = Q/A = \frac{4Q}{\pi D^2}$$

Les $(F_1 - F_2)$; $(F_2 - F_3)$; $(F_3 - F_4)$ ne seront dimensionnées qu'ultérieurement.

Calcul du diamètre économique de $F_1 - R$

- Nous déterminons le diamètre d'après la formule de Bonin.

$$D = \sqrt{Q \text{ m}^3/\text{s}}$$

D : diamètre de la conduite en mètre

Q : Le débit de transit en m^3/s

$$Q = 146,25 \text{ l/s} = 0,14625 \text{ m}^3/\text{s}$$

$$Q = 0,146 \text{ m}^3/\text{s}$$

$$\frac{D}{S} = \sqrt{0,146} = 0,382 \text{ m.}$$

$$D = 0,400 \text{ m} = 400 \text{ mm}$$

Nous faisons l'étude des diamètres immédiatement inférieur et supérieur au diamètre 400 mm.

$$Lg = 880,72 \text{ m.}$$

$$Hmt = Hg + \Delta Ht$$

$$\begin{aligned} Hg &= (C_{Tp} + 0,5) - (C_T \text{ forage} - NDI) \\ &= (939 + 0,5) - (932,10 - 83,24) \end{aligned}$$

$$Hg = 90,64 \text{ m.}$$

Hmt = hauteur manométrique totale

$$\Delta Ht = \Delta Hg + \Delta Hs$$

ΔHt = Pertes de charges linéaires

ΔHs = Pertes de charges singulières estimées à 15% des pertes de charges linéaires.

A l'aide de la formule de Colebrook dont la première approximation est donnée pour $f_{Nikuradze}$ nous trouvons f relatif à chaque diamètre.

n° 5,3 Le facteur de correction^{du} gradient de perte de charge est égal à :

$$\alpha_{5,3} = \frac{f_c}{f_N} \quad J = \alpha_{5,3} \cdot J_N$$

et enfin $\Delta H_e = J \cdot L$.

$$\Delta H_S = 0,15 \Delta H_e$$

$$\Delta H_T = 1,15 \Delta H_e$$

d'où : $H_{MT} = H_g + \Delta H_T$

Sur le tableau N° figurent les valeurs de HMT.

Frais d'amortissements.

L'annuité est calculée par la formule :

$$A = \frac{i}{(1+i)^n - 1} + I$$

A = Annuité

n = 30 ans

I = 8% taux d'intérêt

$$A = \frac{0,08}{(0,08 + 1)^{30} - 1} + 0,08 = 0,08827$$

Calcul de H_{mt}

Tableau 1

ϕ (m)	V (m/s)	L (m)	R. 10 ⁵	fr	J _r	f _c	$\lambda_J^{5.3}$	J	ΔH_e (m)	ΔH_T (m)	H _{mt} (m)
0.300	2.06	880.72	5.40	0.021416	0.015456	0.021975	1.026116	0.015859	13.96	16.06	106.70
0.400	1.16	-/-	4.04	0.019945	0.003423	0.020785	1.042117	0.003567	3.14	3.61	94.25
0.500	0.74	-/-	3.22	0.018907	0.001056	0.020077	1.061883	0.001213	0.99	1.14	91.78

Frais d'ammortissement

Tableau 2

ϕ (mm)	Prix du m ^l DA/m	Longueur de la conduite (m)	Prix de la conduite (DA)	Ammortissement DA
300	158.16	880.72	139294.67	12295.54
400	230.79	- " -	203261.37	17941.88
500	333.96	- " -	2941125.25	25962.43

3 - Frais d'exploitation.

- Le refoulement est de 24 h/24.
- $Q = 0,146 \text{ m}^3/\text{s} \Rightarrow$ débit à refouler.
- P : Puissance de la pompe.

- η : Rendement de la pompe

$$\eta = 75 \%$$

$$P = \frac{g \cdot Q \cdot H_{\text{mt}}}{\eta} \quad (\text{Kw})$$

- Energie consommée : $E = P \cdot 24 \cdot 365 \text{ Kwh/an.}$

- Prix de l'énergie : $P_E = E \cdot e$

- e : Tarif de l'énergie

$e = 0,23 \text{ DA/Kwh}$ (prix communiqué par la SONELGАЗ).

Les calculs sont portés sur le tableau ci-après.

Tableau n° 3.

Frais d'exploitation

- 21 -

Tableau 3

ϕ (mm)	Hmt (m)	P (kw)	$E = P \cdot 24 \times 365$ kwh/an	Prix de l'énergie D _{éco} /an
300	106.702	203.559	1783176.80	410130.67
.. 400	94.253	179.809	1575126.80	362279.17
500	91.775	175.082	1533718.30	352755.21

Bilan

Tableau 4

Diamètre (mm)	300	400	500
Frais d'exploitation	410130.67	362279.17	352755.21
Frais d'amortissement	12295.54	17941.88	25962.43
Total	422426.21	380221.05	378717.64

Conclusion

Nous remarquons que le calcul technico-économique nous donne un diamètre économique

$$D_{éco} = 500 \text{ mm}$$

B - Choix des pompes.

Une pompe est destinée à éléver un débit donné à une hauteur bien déterminée.

Notre forage sera équipé d'un type de pompe normalisé qui répond aux caractéristiques de refoulement.

$$Q = 40 \text{ l/s} = 144 \text{ m}^3/\text{h}$$

$$H_{m\dot{e}} = H_g + \Delta H_T = 90,64 + \Delta H_T$$

La caractéristique de la conduite de refoulement est tracée selon les valeurs de débit et de $H_{m\dot{e}}$ correspondantes figurant dans le tableau N°5

La pompe choisie en fonction des caractéristiques

$$Q = 144 \text{ m}^3/\text{h}$$

$$H_{m\dot{e}} = 91,70 \text{ m.}$$

est le type : groupe électropompe immergé 9125 S.6
de $n = 75 \%$

$$N = 2900 \text{ tr/mn}$$

$$D_1 = 205 \text{ mm}$$

Le point "P" représente le point de fonctionnement désiré avec un débit $Q = 144 \text{ m}^3/\text{h}$ et $H_{m\dot{e}} = 91,70 \text{ m}$

P_{ab} = puissance absorbée. $n = 0,76$

$$P_{ab} = \frac{9,8 \cdot Q \cdot H_{m\dot{e}}}{n} = \frac{9,8 \cdot 144 \cdot 91,70}{0,76 \cdot 3600} = 46,89 \text{ KW}$$

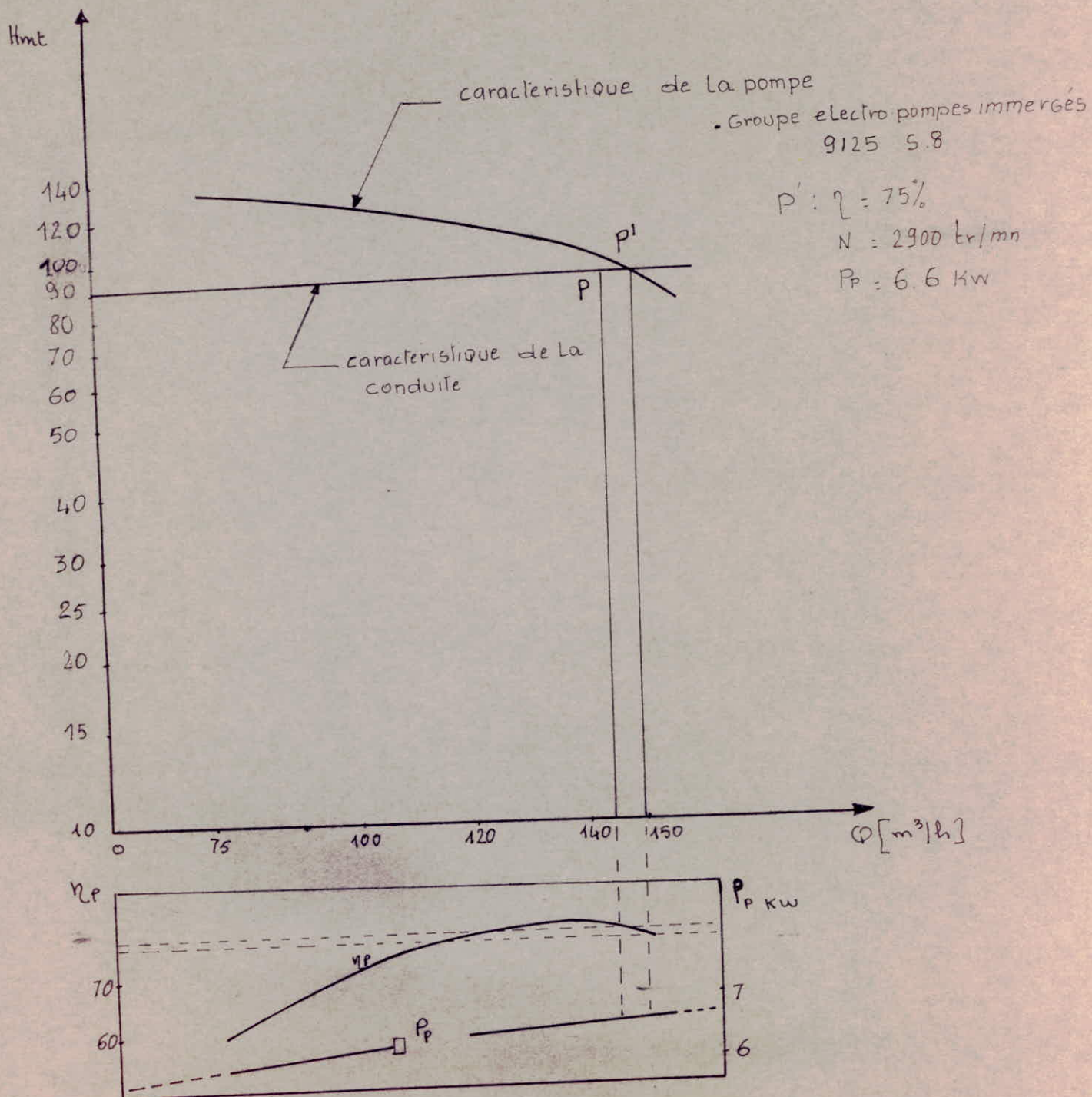
$$P_{ab} = 46,89 \text{ m.}$$

Tableau n°5

caractéristiques de la conduite de refoulement.

$Q \text{ m}^3/\text{s}$	$Q \text{ m}^3/\text{h}$	$V \text{ m/s}$	$R \cdot 10^5$	P_n	f_c	J	$L \text{ (m)}$	ΔH_{Forage}	ΔH_2	$\Delta H = \Delta H_1 + \Delta H_2$	$\Delta H_T = 1.15 \cdot \Delta H$	$H_{f_{\text{EJ}}}$	$H_m t$ [cm]
0.020	72.00	0.10	0.43	0.018907	0.025008	0.000255	80.72	↑	0.022	0.869	1.000	90.64	91.64
0.025	90.00	0.13	0.56	- //	0.023909	0.000041	- // -		0.036	0.883	1.010	- // -	91.65
0.030	108.00	0.15	0.65	- // -	0.023366	0.000054	- // -		0.047	0.894	1.030	- // -	91.67
0.035	126.00	0.17	0.74	- // -	0.029353	0.000067	- // -		0.059	0.906	1.040	- // -	91.68
Refoulement		0.200	0.87	0- // -	0.022447	0.000092	- // -						
0.040	144.00								0.08	0.927	1.060	- // -	91.70
F _i -crepine ($\phi 200$)		1.27	2.21	0.023781	0.024723	0.010472	93.24	0.846					
0.045	162.00	0.23	1.00	0.018907	0.022067	0.000119	880.72		0.105	0.951	1.090	- // -	91.73
0.051	182.00	0.25	1.08	- // -	0.021858	0.000139	- // -		0.123	0.969	1.110	- // -	91.75
0.061	220.00	0.31	1.34	- // -	0.021370	0.000210	- // -		0.185	1.030	1.230	- // -	91.87
0.066	240.00	0.34	1.48	- // -	0.021190	0.000250	- // -		0.220	1.066	1.380	- // -	92.02
0.088	320.00	0.44	1.92	- // -	0.020740	0.000409	- // -		0.361	1.207	1.388	- // -	92.09
0.115	414.00	0.58	2.52	- // -	0.020350	0.000698	- // -		0.615	1.461	1.681	- // -	92.32
0.125	450.00	0.64	2.78	- // -	0.020360	0.000851	- // -		0.749	1.596	1.835	- // -	92.47
0.138	500.00	0.70	3.04	- // -	0.020137	0.001000	- // -		0.880	1.727	1.986	- // -	92.63
0.144	520.00	0.73	3.17	- // -	0.020093	0.001090	- // -		0.959	1.806	2.077	- // -	92.72
0.146	525.60	0.74	3.22	- // -	0.020077	0.001213	- // -	↓	1.140	1.986	2.285	- // -	92.92

- 24 -



P: $Q = 144 \text{ m}^3/\text{h}$; $H_{m} = 91.70 \quad \eta = 76\%$
 $Q = 149 \text{ m}^3/\text{h}$; $H_{m} = 91.72 \quad \eta = 75\%$

La courbe (Q / H) passe un peu plus haut que le point P et coupe la courbe caractéristique de la conduite au point P' de débit : $Q = 149 \text{ m}^3/\text{h}$ et de $H_{ox} = 91,72 \text{ m}$.

$$P_{ab} = \frac{9,8 \cdot 149 \cdot 91,72}{0,85 \cdot 3600} = 49,60 \text{ KN}$$

$$P_{ab} = 49,60 \text{ KN.}$$

REMARQUE :

1 - Le point de fonctionnement (P) ne coïncide pas avec le point d'intersection (P') des deux courbes. Ceci est du à certaines pertes de charges imprévues dans les conduites causées par les accessoires, tel que clapet, etc....

2 - Du fait que la pompe est satisfaisante malgré la perte de charge dans le cas de la mise en fonctionnement des autres forages.

avec $Q_T = 146 \text{ L/s}$
 $L = 880,72 \text{ m.}$

CHAPITRE IV

LES RESERVOIRS

1. UTILITE.

Pour régulariser les débits, l'installation d'un réservoir de stockage est nécessaire. Celui-ci servira à stocker les eaux en excès pendant les heures de faible consommation et à les restituer aux heures de pointe.

Le réservoir joue le rôle de régulateur à la fois du débit et de la pression. Il assure une pression suffisante dans le réseau de distribution.

Il permet une marche uniforme des pompes (refoulement à une hauteur constante).

En cas de panne de courant électrique ou d'accident sur la conduite d'adduction, il assure la demande en eau de l'agglomération pendant la période nécessaire à la réparation de l'incident.

2. EMPLACEMENT DU RESERVOIR.

Le réservoir sera implanté à une altitude suffisamment élevée pour assurer une pression de service minimale. Dans notre cas cette côte nous a été imposé.

côte du terrain naturel	= 937,62 NGA
côte du trop plein	= 939 NGA

3. CAPACITE DU RESERVOIR.

Ayant opté pour une adduction continue, nous admettons une hypothèse pour le débit moyen de distribution :

$$\alpha = \frac{C}{24} \quad C : \text{étant le débit des forages}$$

La répartition de la consommation sur 24 heures a été calculé d'après Dupont Zone II.

Pour les calculs nous admettons pour la répartition de la consommation les coefficients suivants :

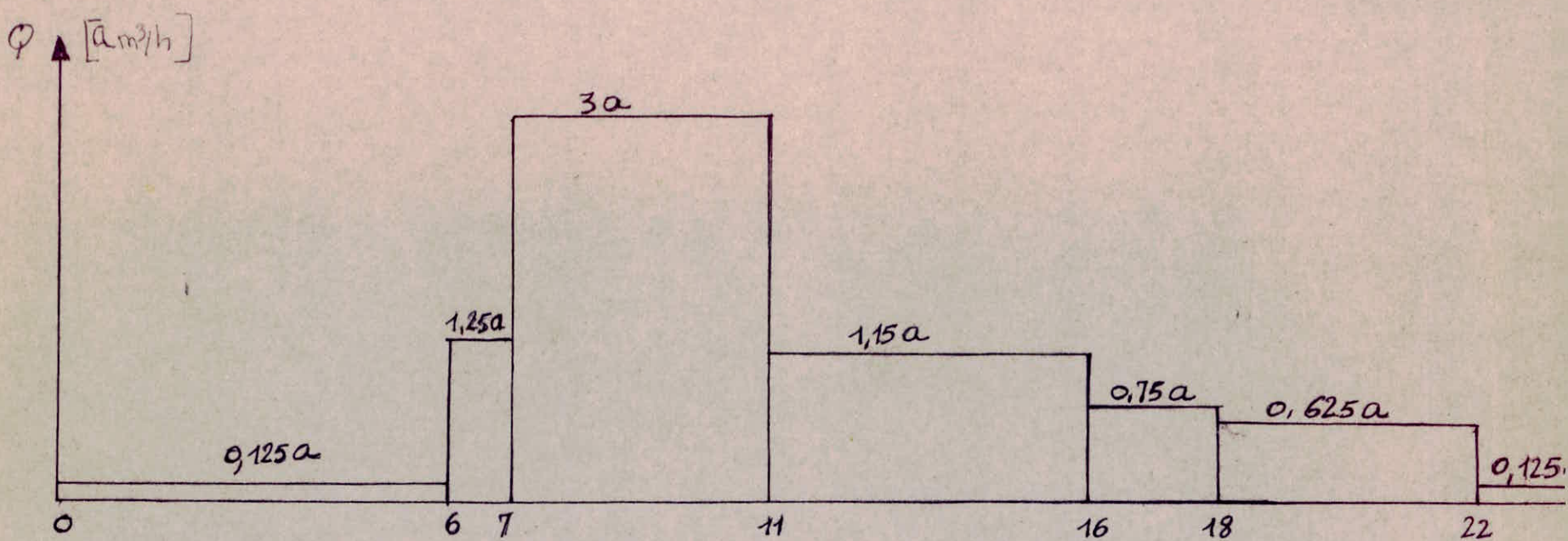
Les horaires	6-7	7-11	11-16	16-18	18-22	22-00
Durée (h)	1	4	5	2	4	3
Débit horaire (m ³ /h)	1,25a	3a	1,15a	0,75a	0,625a	0,125a

La consommation moyenne journalière estimée est de 14191,41 m³/j. Comme la ressource existante de 1555,2 m³/j ne peut combler cette demande, il nous faut un débit de 12636,21 m³/j.

$$a = \frac{C}{24} = \frac{12636,21}{24} = 526,50875 \text{ m}^3/\text{h}$$

$$a = 526,51 \text{ m}^3/\text{h}$$

En fonction des valeurs portées sur le tableau ci-dessus, nous établissons les calculs d'où il résulte le graphe N°1 ci-joint.



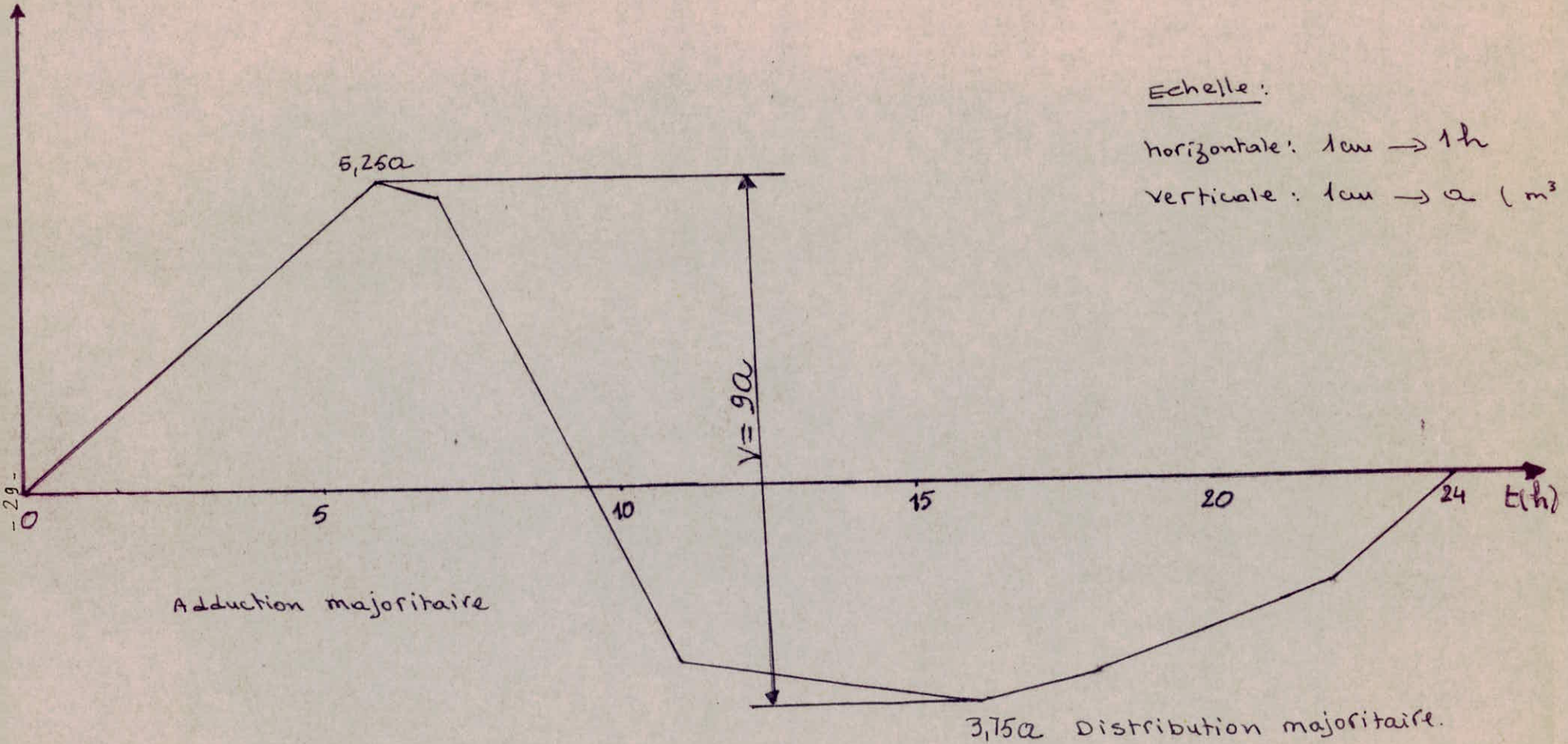
28 -

Adduction cumulative	$a \times 6 = 6a$						
Distribution cumulative	$0,125a \times 6 = 0,75a$	$0,75a$	$6a$	$7a$	$11a$	$16a$	$18a$
differences	$+5,25a$	$+0,75a$	$+5a$	$3a \times 4 = 12a$	$-3a$	$-3,75a$	$-3,25a$

η^{+}_{max}

η_{max}

Capacité théorique en adduction continue. [24^h/24]



Résultats donnés par le graphe :

$$V = / V^+ \max / + / V^- \max /$$

$$V = 9a = 9 \times 526,51 = 4738,59 \text{ m}^3$$

$$\text{nous prenons } V_{RT} = 5000 \text{ m}^3$$

Vu que la capacité est assez importante, nous supposons que la charge d'incendie y est comprise. Nous optons pour deux réservoirs de 2500 m³ chacun.

4. DIMENSIONNEMENT DES RESERVOIRS.

Les réservoirs seront circulaires, jumelés et semi-enterrés.

$$H = 5,5 \text{ m. (hauteur du réservoir)}$$

$$V_{RT} = A.H. = \frac{\pi D^2}{4} \cdot H$$

$$D = \sqrt{\frac{4 V_{RT}}{\pi H}} = \sqrt{\frac{4 \times 2500}{3,14 \times 5,5}} = 24,06 \text{ m.}$$

$$D = 25 \text{ m.}$$

5. EQUIPEMENT DES RESERVOIRS.

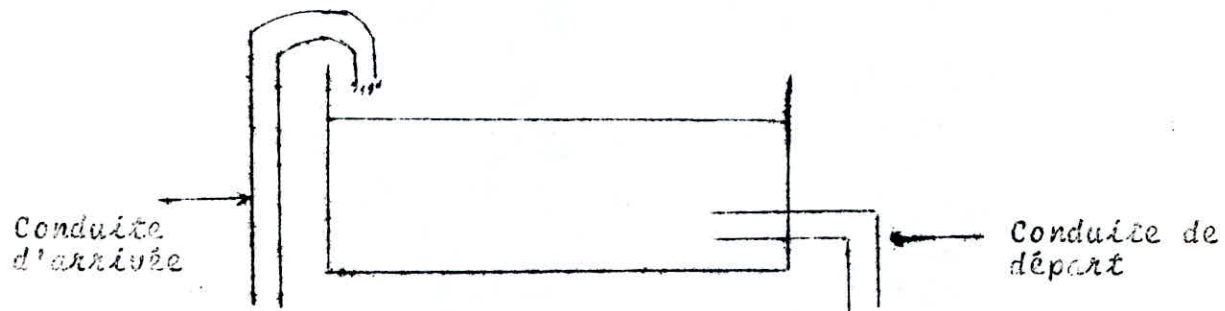
1. Fontainerie.

Chaque réservoir doit comprendre :

- Une conduite d'arrivée
- Une conduite de départ.
- Une conduite de trop plein.
- Une conduite de vidange.

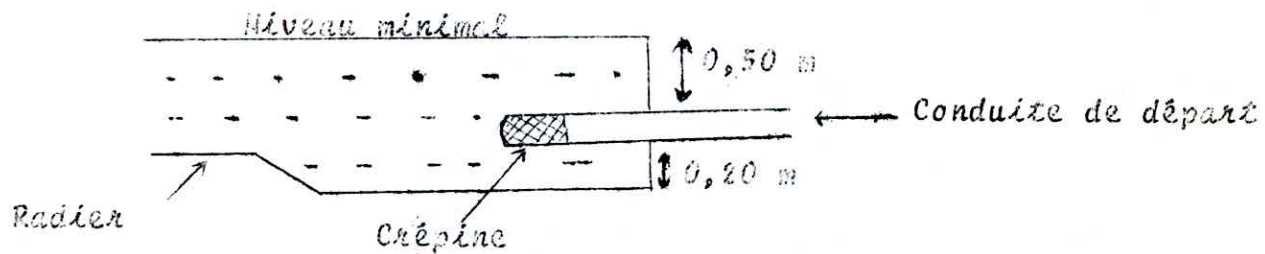
1.1. Arrivée (alimentation).

L'arrivée de la conduite de refoulement dans le réservoir est faite en siphon.



1.2. Départ (distribution).

La distribution sera disposée à l'opposé de l'arrivée pour faciliter le brassage de l'eau dans le réservoir. Cette conduite sera placée à 0,2 m du fond du réservoir pour éviter l'entraînement des dépôts pouvant se décanter. Nous prévoyons aussi un minimum au-dessus de la conduite pour le cas d'un abaissement de niveau d'eau dans le réservoir et cela pour éviter la pénétration d'air dans la conduite. Cette conduite de départ sera dotée d'un robinet-vanne permettant d'isoler le réservoir en cas de rupture sur le réseau de distribution.

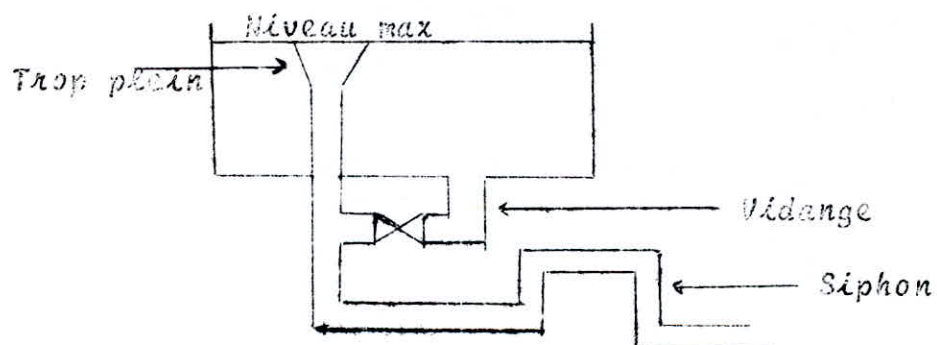


1.3. Trop plein.

En cas de défaillance du système d'arrêt des pompes, un trop plein doit pouvoir évacuer tout le débit arrivant au réservoir pour éviter le déversement de l'eau au-delà du niveau admis. La conduite du trop plein à son départ sera de forme conique. Un siphon sera mis en place pour le maintient en eau le tronçon du trop plein et par crainte d'une pollution ou pénétration d'insectes.

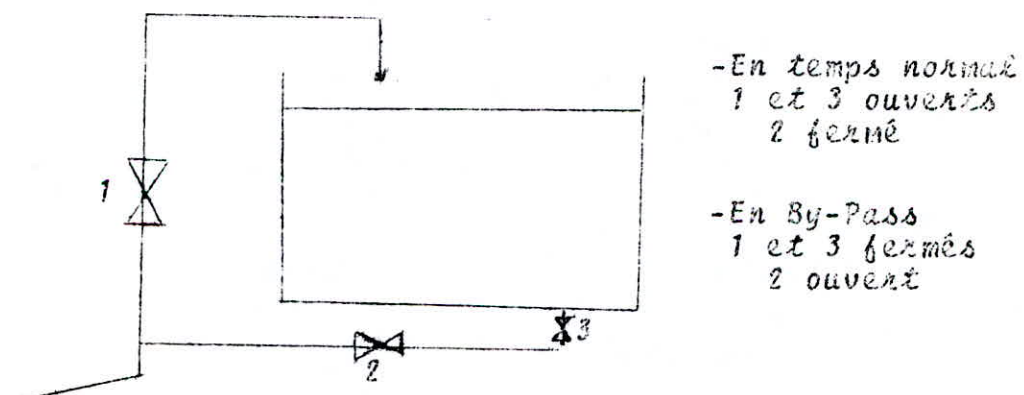
1.4. Vidange.

Cette conduite part du point bas du réservoir et se raccorde avec la conduite du trop plein. Elle comporte un robinet-vanne et un siphon servant de garde d'eau pour éviter les émanations gazeuses désagréables provenant de l'égout.



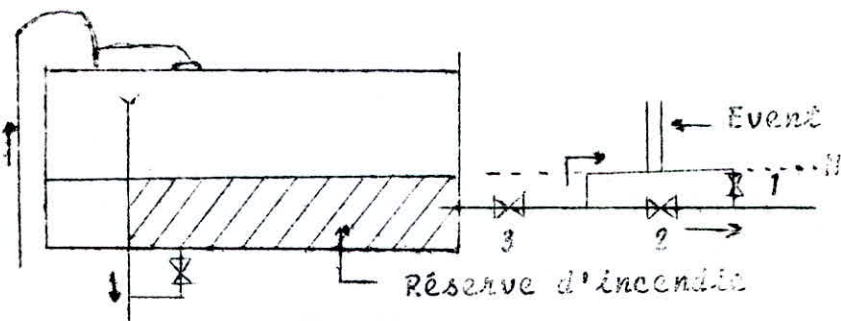
2. By-Pass entre adduction et distribution.

Une communication entre conduite d'adduction et de distribution est à prévoir en cas de réparation ou de nettoyage du réservoir.



3. Matérialisation de la réserve d'incendie.

Pour renouveler la réserve d'incendie et éviter qu'elle soit utilisée, et qu'elle ait un goût désagréable nous adoptons le système suivant :



Ce système consiste à prélever l'eau au voisinage du fond et à la faire transiter en service normal par un siphon muni d'un évent qui le désamorce dès que l'eau atteint le niveau ; pendant la marche normale les vannes 1 et 3 sont ouvertes, en cas de sinistre la vanne 2 sera ouverte et assurera la mise en service de la réserve d'incendie.

Généralement la vanne 3 est constamment ouverte, sauf en cas de réparation ou de nettoyage.

4. Entretien des réservoirs.

Pour assurer un bon entretien des réservoirs les dispositions suivantes seront prises :

- Isollement et vidange des cuves ainsi que des réparations éventuelles.
- Elimination des dépôts sur les parois.
- Désinfection à l'aide de produits chlorés.
- Remise en service.

C H A P I T R E V.

DISTRIBUTION.

1. Etude des problèmes posés par la variation des débits

1.1. L'alimentation en eau potable de la ville de Hassi-Bahbah fonctionne d'une façon intermittante. Celle-ci est due au réseau de distribution vétuste et à l'insuffisance des ressources actuelles. Dans le but de combler le manque d'eau, nous projetons quatre forages dont l'un vient d'être réalisé.

Compte tenu du recensement précédent et du taux d'accroissement de la population qui nous ont permis d'examiner le type d'habitations existantes et des zones d'extensions et vu l'emplacement des réservoirs le réseau de distribution de la ville est partagé en 2 zones.

Zone II : Comporte 17 mailles et sera alimentée pour le réservoir projeté de 2500 m³ chacun.

Zone I : C'est l'ancienne ville. Celle-ci comporte 3 mailles dont l'alimentation se fera par le réservoir surelevé (existant) se trouvant au centre ville.

1.2. Les variations de débit ont trait aux pointes journalières, mensuelles et saisonnières.

Le coefficient de l'irregularité de la consommation journalière est égal à :

$$Kj = \frac{\text{Consommation maximum journalière}}{\text{consommation moyenne journalière}}$$

Le coefficient de l'irregularité de la consommation horaire est égal à :

$$Ko = \frac{\text{Cons-Max horaire}}{\text{Cons-Moy horaire}}$$

Le coefficient de pointe horaire est le produit de deux coefficients précédents $Kp = Kj \times Ko$.

Dans notre cas :

$Kj = 1,5$: Compte tenu des pertes d'eau dans le réseau de distribution estimées à 15 % et d'une majoration de 30 %

$Ko = 2$: Compte tenu des variations horaires du débit.

$$Kp = Kj \times Ko = 1,5 \times 2 = 3$$

..../...

Les conduites principales partant des réservoirs et le réseau de distribution seront dimensionnés avec la consommation de pointe horaire.

1.3. Les conduites secondaires seront piquées sur les tronçons des mailles et constitueront des réseaux ramifiés les débits de soutirage se concentreront aux noeuds.

2. Dimensionnement du réseau de distributions.

Détermination des débits aux noeuds.

2.1. Méthode de calcul.

Pour déterminer le débit en charge noeud, nous délimitions la zone qu'il dessert la surface desservie par chaque noeud sera déterminée par la méthode des médiatrices.

En utilisant la densité correspondante, nous calculons le nombre d'habitants pour chaque noeud, d'où avec la consommation spécifique nous déduisons le volume d'eau journalier pour chaque noeud.

Le plan d'urbanisme Directeur (P.U.D.) nous a permis d'établir la configuration choisie du réseau projeté.

Formules utilisées :

Densité spécifique population = $\frac{d}{A}$ en (hab/ha)

surface

Débit spécifique = Cons. moy.j. ($\frac{\ell^3}{j/hab}$)

$\frac{m^3}{hab \cdot j}$.

Débit au noeud = $\frac{q_{s \text{ spécifique} \times m^3}}{24 \times 3600}$

Population = surface x densité

.../...

Calcul des débits aux noeuds.

Population = 4854 hab.

$$1. \text{ Densité} = P_2 = \frac{4854}{S_2} = \frac{4854}{62,4} = 78,06 \text{ hab/ha}$$

2. Consommation spécifique :

Consommation moy journalière = 1555,20 m³/j

$$q_s = \frac{\text{Cons. Moy.J.2}}{P_2} = \frac{1555,20}{4854} = 320,395 \text{ l/j/hab}$$

3. Consommation par noeud :

$$\text{noeud} : = \frac{q_s \times P_i}{24 \times 3600} \quad (\text{l/s})$$

Le calcul se fera pour chaque noeuds.

4. Le débit de pointe :

$$n_i = 3 \Rightarrow Q_{P_2} = Q_{\text{ni}}$$

$$Q_{\text{ni}} = 1555,20 \times 3 = 4665,6 \text{ m}^3/\text{j}$$

$$Q_{\text{ni}} = 194,4 \text{ m}^3/\text{h}$$

$$Q_{\text{ni}} = 0,054 \text{ m}^3/\text{s} = 54 \text{ l/s}$$

5. Débit soutiré.

$$Q_s = q_s n_i \times K_p$$

$$\sum \text{débits entrants} = \sum \text{débits sortants}$$

$$\Rightarrow \sum Q_s = 54 \text{ l/s.}$$

Voir tableau de calcul (tab. N° 2)

.../...

N° des nœuds	N° des mailles	Surface ha	densité' hab/ha	Population hab	Con.-specif. l/s/hab	debit au nœud. l/s	Coef. de Pointe K _p	debit soutiré l/s
a	A	3,092	58,86	182	320,395	0,675	3	2,02
b	A	2,781	"	164	"	0,608	"	1,82
c	A	8,665	"	510	"	1,891	"	5,67
d	A	6,656	"	392	"	1,453	"	4,36
e	A-B	4,332	"	255	"	0,946	"	2,84
f	A-B	5,25	"	309	"	1,146	"	3,44
g	A-B	7,032	"	414	"	1,535	"	4,60
h	A-B	6,875	"	405	"	1,510	"	4,53
i	B	4,125	"	243	"	0,901	"	2,70
j	B-C	9,881	"	582	"	2,158	"	6,47
k	B-C	9,140	"	538	"	1,995	"	5,980
l	C	3,465	"	204	"	0,756	"	2,27
m	C	5,759	"	339	"	1,257	"	3,77
n	C	5,385	"	317	"	1,176	"	3,53

$$\Sigma = 82,46 \text{ ha} ; \Sigma = 4854 \text{ hab}$$

$$\begin{aligned}\Sigma &= 53,97 \\ &\approx 54 \text{ l/s}\end{aligned}$$

ZONE II.

Calcul des débits aux noeuds.

Population en 2010 = 39059 hab.

$$1) \text{ densité} = \frac{P_1}{S_1} = \frac{39059}{373,91} \approx 104,42 \text{ hab/ha.}$$

2) Consommation spécifique.

Consommation moyenne journalière est égale à :

12635,21 l/j

$$\mathcal{Q}_s = \frac{\text{Cons. Moy. J}_1}{P_1} = \frac{12635,21}{39059} = 323,52 \text{ l/j/hab}$$

3) Consommation par noeud.

$$\mathcal{Q}_{\text{noeud}} = \frac{\mathcal{Q}_s \times \pi}{24 \times 3650} \text{ en (l/s)}$$

Le calcul se fera pour chaque noeud.

4) Le débit de pointe.

$K_p = 3$

$$\text{Cons. Moy. J.} = \mathcal{Q} = 12635,21$$

$$\mathcal{Q}_{p1} = \mathcal{Q} \times K_p = 12635,21 \times 3 = 37905,63 \text{ m}^3/\text{j}$$

$$\mathcal{Q}_p = \frac{37905,63}{21} = 1871,5232 \text{ l/s/h.}$$

$$\mathcal{Q}_p = \frac{1871,5232 \times 1000}{3600} = 519,77 \text{ l/s.}$$

5) Débit soutiré.

$$\mathcal{Q}_s = \mathcal{Q}_{\text{noeud}}$$

$$\sum \mathcal{Q}_s = 130,76 \Rightarrow \sum \mathcal{Q}_{\text{entrants}} = \sum \mathcal{Q}_{\text{sortants.}}$$

(Voir tableau N° 2)

.../...

Les résultats des débits aux nœuds et soutirés sont portés

Sur les tableaux dressés ci-dessous:

N° des nœuds	N° des mailles	Surface [ha]	densité hab/ha	Popula- tion [hab]	cons- spéciifi- el/s/ha	débit aux nœuds [l/s]	coéff de pointe kp	Débits soutirés [l/s]
1	I, II	2.968	82.42	244	323.52	0.917	3.00	2.750
2	I	2.000	-" -	165	-" -	0.618	-" -	1.850
3	I	2.562	-" -	211	-" -	0.794	-" -	2.380
4	I, III	7.250	-" -	598	-" -	2.240	-" -	6.720
5	I, II, III	8.125	-" -	670	-" -	2.510	-" -	7.530
6	II, III, IV	9.250	-" -	763	-" -	2.857	-" -	8.570
7	III, IV, VII	6.875	-" -	567	-" -	2.123	-" -	6.370
8	III	5.062	-" -	417	-" -	1.561	-" -	4.680
9	VII, VIII	12.562	-" -	1035	-" -	3.879	-" -	11.640
10	VII, IV, VI	14.531	-" -	1198	-" -	4.481	-" -	13.440
11	VI, VII, VIII	12.437	-" -	1025	-" -	3.840	-" -	11.520
12	VI	7.000	-" -	577	-" -	2.160	-" -	6.470
13	VI	6.250	-" -	515	-" -	1.930	-" -	5.800
14	V, VI	9.625	-" -	793	-" -	2.973	-" -	8.920
15	VI, V, IV	15.750	-" -	1298	-" -	4.860	-" -	14.580
16	II, V, IV	12.156	-" -	1002	-" -	3.750	-" -	11.260
17	V	13.437	-" -	1107	-" -	4.150	-" -	12.450
18	V, II	9.687	-" -	799	-" -	2.990	-" -	8.970
19	II	7.125	-" -	588	-" -	2.201	-" -	6.600
20	II	3.187	-" -	263	-" -	0.985	-" -	2.950
21	VII, X	8.250	-" -	680	-" -	2.546	-" -	7.630
22	VIII, IX, X	14.250	-" -	1174	-" -	4.396	-" -	13.180
23	VIII, IX	8.125	-" -	670	-" -	2.510	-" -	7.530

N° des nœuds	N° des mailles	Surfaces ha	densité hab/ha.	Population hab	cons.-specif. €/j/ha	débits aux nœuds €/s	coef de Pointe Kp	débits sortants €/s.
24	<u>VIII</u>	3,650	82,42	01	323,52	1,227	3	3,37
25	<u>IX</u>	4,125	"	304	"	1,273	"	3,82
26	<u>X</u> ; <u>VIII</u>	9,260	"	763	"	2,857	"	8,57
26a	<u>X</u> ; <u>XI</u>	8,618	"	711	"	2,662	"	7,98
27	<u>XI</u> ; <u>VIII</u>	5,164	"	425	"	1,591	"	4,77
28	<u>XI</u> , <u>XII</u>	10,183	"	839	"	3,141	"	9,42
29	<u>XI</u> , <u>XII</u>	7,210	"	594	"	2,224	"	6,67
30	<u>XII</u> , <u>XIII</u> , <u>XIV</u>	5,562	"	458	"	1,715	"	5,15
31	<u>XII</u> ; <u>XIV</u>	6,250	"	515	"	1,928	"	5,78
32	<u>XIII</u>	9,718	"	801	"	2,99	"	8,97
33	<u>XIII</u>	8,500	"	700	"	2,625	"	7,87
34	<u>XIII</u> ; <u>XIV</u> , <u>XV</u>	20,505	"	1690	"	6,328	"	18,97
35	<u>XIV</u> ; <u>XV</u>	19,718	"	1625	"	6,080	"	18,24
36	<u>XIV</u>	14,375	"	1185	"	4,43	"	13,28
37	<u>XIV</u>	13,218	"	1089	"	4,081	"	12,24
38	<u>XIV</u> , <u>XV</u> , <u>XVI</u>	14,500	"	1195	"	4,474	"	13,42
39	<u>XVI</u> ; <u>XV</u>	14,906	"	1228	"	4,622	"	13,86
40	<u>XVI</u>	8,750	"	721	"	2,700	"	8,10
41	<u>XVI</u> , <u>XIV</u>	9,965	"	821	"	3,080	"	9,24
42	<u>XVII</u> ; <u>XVIII</u>	19,437	"	1602	"	5,998	"	17,98
43	<u>XVII</u> ; <u>XVIII</u>	8,030	"	662	"	2,480	"	7,44
44	<u>XVIII</u> , <u>XIX</u>	13,800	"	1137	"	4,261	"	12,78
45	<u>XVIII</u> ; <u>XIX</u>	15,950	"	1315	"	4,924	"	14,77
46	<u>XIX</u>	18,812	"	1551	"	5,808	"	17,42
47	<u>XIX</u>	5,250	"	432	"	1,621	"	4,86

$$\Sigma = 473,92 \text{ ha.}$$

$$\Sigma = 39058 \text{ hab}$$

$$\Sigma = 438,76$$

€/s

3. RESEAU MAILLE.

3.1. Méthode de calcul.

Selon la méthode d'EMERSON-CROSS qui repose sur les lois de KIRCHHOFF, le calcul du réseau maille se fait par approximation successive.

1er. Loi des noeuds.

En chaque noeud, la somme des débits entrants est égale à la somme des débits sortants.

2ème loi des mailles.

Le long d'un parcours orienté et formé la somme algébrique des pertes de charge est nulle.

3.2. Principe de la méthode.

Il consiste à se fixer une répartition des débits, un sens d'écoulement pour chaque maille afin de satisfaire la première loi et à calculer la perte de charge le long de chaque tronçon de la maille.

a) En application de la formule de DARCY-WEISBACH pour les pertes de charge singulières

$$\Delta P = f \frac{L e}{D h} \frac{V^2}{2 g} \quad L e = L \times 1,15 \quad L e = L + C,15 L$$

où :

L : longueur géométrique

L_e : longueur équivalente

f : coefficient de frottement

D_e = D (conduite pleine) = diamètre de la conduite

V : vitesse d'écoulement

L'équation de continuité nous donne :

$$Q = V A \Rightarrow V = \frac{Q}{A}$$

où :

Q : débit en m³/s

A : section de la conduite en m²
par conséquent :

$$\Delta H = f \cdot \frac{L e}{D h} \frac{Q^2}{2 g} = \frac{\Delta P}{Q^2} = f \cdot \frac{L e}{D \cdot A^2 \cdot 2 g}$$

.../...

b) En introduisant le concept de la perte débitaire ΔH_Q qui est la perte de charge provoquée par le passage d'un débit unitaire :

$$\Delta H_Q = f \frac{Le}{D} \frac{\rho Q^2}{2g} \text{ en S.I. } (m^{-5} \cdot s^2)$$

c) Le gradient de perte de charge débitaire

$$J_Q = \frac{\Delta H_Q}{Le} = \frac{f}{2g} \frac{Q^2}{D^2}$$

Pour un profil circulaire et avec $\pi = 3,14$ et $g = 9,81 m/s^2$

$$J_Q = 3,2316 \times \frac{f}{D^5} \quad m^{-5} \cdot s^2$$

Pour un régime turbulent rugueux, la perte de charge le long de la conduite est :

$$\Delta H = J_Q \cdot Q^2 \cdot Le = \Delta H_Q \cdot Q^2$$

$$\Delta H_Q = J_Q \cdot Le = r$$

$$\Delta H = r Q^2$$

d) Calcul de r :

$$r = \Delta H_Q = f \cdot \frac{Le}{D} \frac{Q^2}{2g} = f \cdot \frac{Le}{D} \frac{Q^2}{2\pi D^2} = f \cdot \frac{Le}{D^5} \frac{\pi Q^2}{2g}$$

$$r = 0,0828 \frac{f \cdot Le}{D^5}$$

e) Calcul du coefficient de frottement.

Le coefficient f est calculé à l'aide de la formule de COLESROOK en prenant comme première approximation la valeur de f_n calculée par NIBURADZE.

$$f_n = (1,14 - 0,86 \ln \frac{\sum}{D})^{-2}$$

$$\Rightarrow f_c = \left[\frac{1,86 \ln \left(\frac{\sum}{D} + 2,51 \right)}{3,7 D \operatorname{Re} V_{en}} \right]^{-2}$$

Le calcul est fait sur calculatrice programmable T.I.50

Nous procédons par approximations successives jusqu'à ce que nous trouvons la valeur exacte de f_c avec laquelle nous calculons les pertes de charge finales.

Calcul du débit correctif.

$$\Sigma \Delta H = r Q^2$$

D'après la 2ème loi cette égalité doit être nulle dans chaque circuit fermé.

Soit : Q_0 : le débit supposé en 1er approximation

Q_1 : le débit corrigé

$\Delta \varphi_0$: terme correctif

Pour chaque conduite nous aurons

$$\varphi_1 = Q_0 + \Delta \varphi_0$$

$$\Delta H = r \varphi_1^2$$

$$\Delta H = r (Q_0 + \Delta \varphi_0)^2$$

$$\Delta H = r (\varphi_0^2 + \Delta\varphi_0^2 + 2 \varphi_0 \times \Delta\varphi_0)$$

φ_0 est négligeable par rapport à φ_0 et à $2 \varphi_0 \times \Delta\varphi_0$
d'où nous obtenons :

$$\Delta H = r (\varphi_0^2 + 2 \varphi_0 \times \Delta\varphi_0)$$

$$\text{donc : } \Delta\varphi_0 = \frac{\Delta H - r\varphi_0^2}{2r\varphi_0}$$

or pour le circuit fermé :

$$\sum \Delta H = \sum \varphi_1^2 = \sum r(\varphi_0^2 + 2 \varphi_0 \times \Delta\varphi_0 + \Delta\varphi_0^2) = 0$$

$$\sum \Delta H = \sum (r\varphi_0^2 + 2r\varphi_0 \times \Delta\varphi_0) = 0$$

d'où :

$$\Delta\varphi_0 = \frac{\sum r\varphi_0^2}{2 \sum r\varphi_0} \quad (\text{A}^2/\text{s})$$

Le débit initial, affecté de son signe, doit être corrigé par la valeur trouvée de $\Delta\varphi_0$, prise avec son signe.

Si dans ce cas, la 2ème loi n'est pas vérifiée il faudra à corriger de nouveau les débits à l'aide d'une nouvelle valeur $\Delta\varphi_1$ qui sera calculées, de la même manière, déjà exposée.

Nous n'arrêtons les calculs qu'une fois les valeurs suivantes seront trouvées.

$\Delta\varphi < 11/\text{s}$: débit correctif et

$\Delta H < 0,5 \text{ m.}$: perte de charge.

Ce calcul n'est valable que dans le cas des tronçons se trouvant dans une seule maille, mais la présence de plusieurs mailles adjacentes se présente du fait que notre réseau se compose de 18 mailles pour une zone et de 3 mailles pour l'autre.

Dans ce cas, les corrections à apporter à la valeur affectée en première répartition des débits, sont en réalité composée de deux corrections :

a - la correction propre à la maille prise avec son signe.

b - La correction de la maille adjacente prise avec le signe inverse, afin de trouver le même débit dans le tronçon commun aux deux mailles adjacentes.

.../...

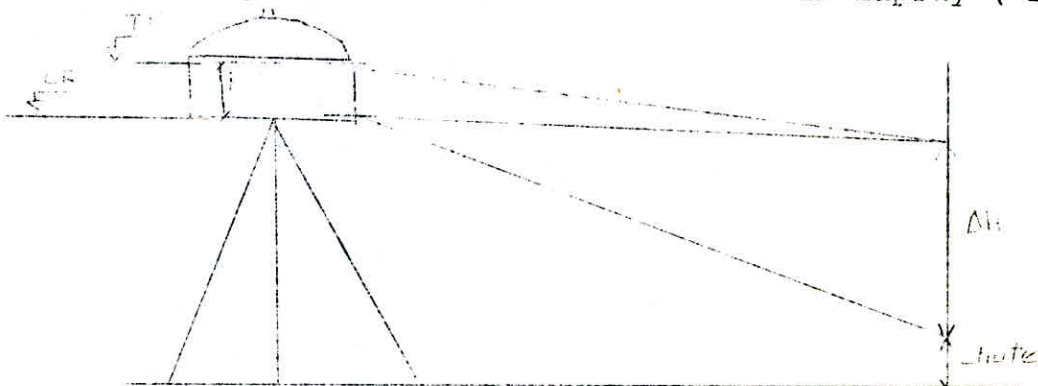
Pour trouver le débit avec lequel nous corrigons la maille considérée, nous faisons la somme algébrique de chaque tronçon.

Les résultats de calculs sont portés sur des tableaux.

4. Dimensionnement des conduites de distribution: Zénith

4.1. Calcul du diamètre de la conduite de distribution.

Conduite de distribution principale venant du réservoir sera calculée par la méthode de Monsieur D'ZAK-Lapray (L.F.D.)



Calcul du diamètre avec une vitesse égale à 1 m/s

$$Q = VA = \frac{\pi D^2}{4} V \Rightarrow D = \sqrt{\frac{4 Q}{\pi V}} = \sqrt{\frac{4 \times 0,054}{3,14 \times 1}} = 0,262 \text{ m}$$

on prend $D = 0,250 \text{ m}$

$V = 250 \text{ mm}$

$$V = \frac{Q}{A} = \frac{0,054 \times 4}{3,14 \times (0,250)^2} = 1,10 \text{ m/s}$$

Vérification du régime :

$$\Lambda = \frac{D}{D_0} \text{ avec } D_0 = 1,539 \text{ (conduit circulaire pleine)}$$

$$\Lambda = \frac{0,250}{1,539} = 0,1624 \text{ et}$$

on suppose que le régime est turbulent rugueux avec $\lambda = 1$

$$\varepsilon = 0,1 \cdot 10^{-3} = 0,1 \text{ mm} \text{ (cas d'une conduite neuve),}$$

$$D = 1,16 \cdot 10^{-6} \text{ à une température de } 15^\circ \text{ C.}$$

.../...

Caractéristiques de la rivière.				1 ^{re} Approximation				1 ^{re} Correction.			
N° de l'ordre du cours d'eau	Nom des cours d'eau	Traversée	D	L ₀	j ₀	A H ₀	$\frac{\Delta H_0}{P_0}$	C.P.A	C.M.A	Total	P ₁ e/3.
A	a-b	356,50	0,100	-0,32	0,0005	-0,02	66,60	0,38	-	0,38	0,06
	b-c	471,50	0,100	-2,14	0,0024	-1,17	547,60	"	-	0,38	-1,76
	c-d	510,00	0,125	-7,81	0,0097	-4,98	638,09	"	-	0,38	-7,43
	d-e	339,25	0,150	-12,17	0,0088	-2,99	246,40	"	-	0,38	-11,79
	e-g	396,75	0,150	+11,98	0,0085	3,39	283,69	"	0,31	0,63	12,63
	B g-h	368,00	0,125	7,38	0,0087	3,21	435,23	"	0,31	0,63	8,07
	h-a	383,25	0,100	1,70	0,0015	0,60	356,74	"	-	0,38	2,08
				$\Delta q = 0,38$	$\Sigma = -1,95$	$\Sigma = 2574,39$					
B	b-i	368,00	0,125	-7,38	0,0087	-3,21	435,23	-0,31	-0,38	-0,63	-8,07
	A g-e	396,75	0,150	-11,98	0,0085	-3,39	283,69	"	-0,38	-0,63	-12,63
	e-f	224,25	0,250	+26,99	0,0027	0,62	23,09	"	-	-0,31	26,68
	f-k	511,75	0,200	+23,15	0,0067	3,46	149,74	"	-	-0,31	22,81
	e-k-i	448,50	0,150	+12,15	0,0088	3,95	325,22	"	0,60	0,29	12,44
	i-j	218,50	0,100	+1,55	0,0013	0,28	184,79	"	-	-0,31	1,24
	c-h	741,75	0,100	-1,15	0,0007	-0,53	468,55	"	-	-0,31	-1,44
				$\Delta q = -0,31$	$\Sigma = 1,17$	$\Sigma = 1870,34$					
C	B j-k	448,50	0,150	-12,15	0,0088	-3,95	325,22	-0,60	0,31	-0,29	-12,44
	k-l	580,00	0,100	5,44	0,0159	9,23	1697,50	"	-	-0,60	4,84
	l-m	759,00	0,100	3,17	0,0054	4,12	1299,74	"	-	-0,60	2,57
	m-n	333,50	0,100	-0,60	0,0002	-0,06	112,44	"	-	-0,60	-1,20
	n-j	437,00	0,100	-4,13	0,0091	-4,01	972,75	"	-	-0,60	-4,72
				$\Delta q = -0,60$	$\Sigma = 5,31$	$\Sigma = 4407,66$					

			2° Approximation				2° Correction.			
N° de branche	N° de branche alimentée	tronçon	Q_1 l/s.	\dot{V}_1	ΔH_1 m	$\frac{\Delta H_1}{Q_1}$	C.P.A	C.M.A	Total	Q_2 l/s
A	a - b	0,06	0,000	0,009	15,99	- 0,08	-	-	- 0,08	- 0,02
	b - c	- 1,76	0,0016	- 0,79	451,75	"	-	-	- 0,08	- 1,84
	c - d	- 7,43	0,0088	- 4,51	607,23	"	-	-	- 0,08	- 7,51
	d - e	- 11,79	0,0082	- 2,81	238,73	"	-	-	- 0,08	- 11,87
	e - g	12,67	0,0095	3,80	299,93	"	- 0,04	- 0,12	12,55	
	g - h	8,07	0,0104	3,83	475,65	"	- 0,04	- 0,12	7,95	
	h - a	2,08	0,0023	0,90	435,07	"	-	-	- 0,08	2,00
	$\Delta Q_1 = -0,08 ; \Sigma = 0,42 ; \Sigma = 2524,40$				"					
B	h - g	- 8,07	0,0104	- 3,83	475,65	0,04	0,08	0,12	- 7,95	
	g - e	- 12,67	0,0093	- 3,80	299,93	"	0,08	0,12	- 12,55	
	e - f	26,68	0,0027	0,60	22,83	"	—	0,04	26,72	
	f - k	22,84	0,0065	3,37	147,75	"	-	0,04	22,88	
	k - j	12,44	0,0092	4,14	332,93	"	0,04	0,08	12,52	
	j - i	1,24	0,0008	0,18	148,54	"	-	0,04	1,28	
	i - h	- 1,46	0,0011	- 0,86	591,61	"	-	0,04	- 1,42	
	$\Delta Q_1 = 0,04 ; \Sigma = - 0,19 ; \Sigma = 2019,28$									
C	j - k	- 12,44	0,0092	- 4,14	332,93	- 0,04	- 0,04	- 0,08	- 12,52	
	k - l	4,84	0,0126	7,31	1511,34	"	—	- 0,04	4,80	
	l - m	2,57	0,0035	2,71	1056,12	"	-	- 0,04	2,53	
	m - n	- 1,20	0,0007	- 0,26	219,59	"	-	- 0,04	- 1,24	
	n - j	- 4,73	0,0120	- 5,26	1113,00	"	-	- 0,04	- 4,7	
	$\Delta Q_1 = 0,04 ; \Sigma = 0,35 ; \Sigma = 4233,01$									

			3° Approximation				3° Correction.				
N° de la maille	N° de la maille adjacente	tronçon	φ_2 l13	δ_2	ΔH_2 m	$\frac{\Delta H_2}{\varphi_2}$	CRA	CNA	Total	φ_3	
A	A	a - b	-0,02	0,000	-0,000	(= 2,50 ⁴)	7,38	0,00	-	0,00	-0,02
		b - c	-1,84	0,0018	-0,86	471,93	"	-	0,00	-1,84	
		c - d	-7,51	0,0090	-4,60	613,73	"	-	0,00	-7,51	
		d - e	-11,87	0,0084	-2,85	240,36	"	-	0,00	-11,87	
	B	e - g	12,55	0,0093	3,72	297,11	"	0,02	0,02	12,57	
	B	g - h	7,95	0,0101	3,72	468,62	"	0,02	0,02	7,97	
		h - a	2,00	0,0022	0,83	418,58	"	-	0,00	2,00	
$\sum \Delta q = 0,00$			$\Sigma = -0,03$				$\Sigma = 2517,73$				
B	A	h - g	-7,95	0,0101	-3,72	468,62	-0,02	0,00	-0,02	-7,97	
	A	g - e	-12,55	0,0093	-3,72	297,11	"	0,00	-0,02	-12,57	
	C	e - f	26,72	0,0027	0,61	22,86	"	-	-0,02	26,70	
		f - k	22,88	0,0066	3,38	148,00	"	-	-0,02	22,86	
		k - j	12,52	0,0093	4,19	335,06	"	0,00	-0,02	12,50	
	C	j - i	1,28	0,00080	0,19	153,22	"	-	-0,02	1,26	
		i - h	-1,42	0,0011	-0,81	573,73	"	-	-0,02	-1,44	
$\Delta q = -0,02$			$\Sigma = 0,11$				2000,64				
C	B	j - k	-12,52	0,0093	-4,19	335,06	0,00	0,02	0,02	-12,50	
	C	k - l	4,80	0,0124	7,19	1498,93	"	-	0,00	4,80	
		l - m	2,53	0,0034	2,63	1039,87	"	-	0,00	2,53	
	m - n	-1,24	0,0068	-0,28	226,73	"	-	0,00	-0,00	-1,24	
	n - j	-4,77	0,0122	-5,35	1922,36	"	-	0,00	-0,00	-4,77	
$\Delta q = 0,00$			$\Sigma = -0,004$				$\Sigma = 4222,97$				

$$\left\{ \begin{array}{l} K_2 = \frac{V_D}{Q} = \frac{1,10 \times 0,250}{0,2394 \cdot 10^6} = 0,0016 \\ \Rightarrow 1,1486 \cdot 10^{-5} = 2,394 \cdot 10^{-5} \\ \frac{\xi}{\gamma_2} = \frac{4 \cdot 10^{-4}}{0,250} = 0,0016 \end{array} \right.$$

Sur le diagramme de HOOTON le régime est en transition.

On trouve à

$$\begin{cases} \Delta = 0,1624 \text{ m} \\ \xi = 0,6 \text{ mm} \end{cases} \Rightarrow \frac{\xi}{\Delta} = 0,722$$

$$J_T = \left(\frac{Q}{\Delta} \right)^2 = \left(\frac{0,050}{0,722} \right)^2 = 0,00552$$

de l'équation 17 c nous tirons $\lambda_J^{5,3}$ en fonction du R et de $\xi/\Delta = 0,0016$

$$\xi/R = 0,0016 \quad \left| \quad \Rightarrow \lambda_J^{5,3} = 1,038 \right.$$

$$R = 2,394 \cdot 10^5 \quad \left| \quad \Rightarrow \lambda_J^{5,3} = 1,038 \right.$$

$$\begin{matrix} \frac{\partial}{\partial \Delta} \lambda_J^{5,3} = 0 & \Rightarrow \lambda_J^{5,3} = 0,00552 \approx 1,038 \\ \Delta = 0,1624 \text{ m} & \end{matrix}$$

$$\Delta h = J \cdot \Delta e$$

$$h_0 = h_g + 0,15 \Delta e = 1,15 \Delta e.$$

$$\Delta h = 1,15 J \cdot \Delta e$$

Distance chateau d'eau point F = 10 m

Hauteur de la tour = côté du jardin = côté au sol.
= 521,50 - 200 = 15,5 m.

Côte au point F = 010,3 m

Côte trop plein du chateau d'eau = 925 m

Hauteur d'eau = 7,5 m

$$\Delta h = 60 + 15,5 \text{ m}$$

$$\Delta h = 1,15 \times 0,00552 \times 75,5 = 0,503 \text{ m}$$

Vérification par la méthode classique.

$$\psi = 0,054 \text{ m}^3/\text{s}$$

$$D = 250 \text{ mm}$$

$$v = 1,10 \text{ m/s}$$

$$n = 2,394 \cdot 10^5$$

$$\frac{\xi}{\gamma} = 0,0016$$

Pour le régime en transition on utilise le coefficient de frottement de COLEBROOK-MILES dont le ξ est donné par la formule de MIKURAZE.

- 48 -

$$f_n = (1,14 - 0,06 \ln \frac{\xi}{\sqrt{F}})^{-2}$$

$$f_n = (1,14 - 0,06 \ln 0,0016)^{-2} = 0,022434.$$

$$f_c = \left[(0,06 \ln (\frac{\xi/3 + 2,51}{3,7} \frac{1}{n \sqrt{F}}) \right]^{-2}$$

$$f_c = 0,02343255$$

$$\Delta h = \frac{f_c}{D} \frac{V^2}{2g} \quad \text{et} \quad \Delta h = 1,15 \cdot \frac{f_c}{D} \frac{V^2}{2g} =$$

$$\Delta h = 0,5024 \text{ m}$$

$$\Delta H_T = 0,502 \text{ m.}$$

Calcul de la pression au sol :

Pour la détermination de la pression au sol, nous calculons la côte piezométrique au point de bifurcation des conduites de distribution et de recoulement du réservoir.

Côte crepines du réservoir = 921,50 m.

$$\Delta H_T = 0,502$$

$$C_{TF} = C_{CR} - \Delta H_T$$

$$= 921,50 - 0,502 = 920,998 \text{ m}$$

$$C_T = 921 \text{ m :}$$

Côte piezométrique aval :

$$C_{pk} = 921 - 3,30 = 917,62 \text{ m}$$

La pression au point T :

$$P_T = C_T \text{ aval} - C_T \text{ av l}$$

$$= 917,62 - 902,30 = 15,42 \text{ m}$$

$$\underline{P_T = 15,42 \text{ m}}$$

.../...

N° Maille	TRONCON	ALTITUDE [m]		pertes de charges [m]	côtes piezométriques		Pressions [m]
		Amont	Aval		Amont	Aval	
A	e-d	900,00	892,00	2,85	920,39	917,54	25,54
	d-c	892,00	880,00	4,60	917,54	912,94	32,94
	c-b	880,00	882,50	0,86	912,94	912,08	23,58
	b-a	882,50	885,20	0,00	912,08	912,08	26,88
	e-g	900,00	891,70	3,72	920,39	916,67	24,97
	g-h	891,70	889,40	3,72	916,67	912,95	23,55
	h-a	889,40	885,20	0,83	912,95	912,12	26,92
B	f-k	910,30	902,20	3,38	921,00	917,62	15,42
	k-j	902,20	890,49	4,19	917,62	913,43	22,94
	j-i	890,49	889,60	0,19	913,43	913,24	23,64
	f-e	910,30	900,00	0,61	921,00	920,39	20,39
	e-g	900,00	891,70	3,72	920,39	916,67	24,97
	g-h	891,70	889,40	3,72	916,67	912,95	23,55
	h-i	889,40	889,60	0,81	912,95	912,14	22,54
C	k-l	902,20	885,00	7,19	917,62	910,43	25,43
	l-m	885,00	887,20	2,63	910,43	907,80	20,60
	m-n	887,20	887,10	0,28	907,80	908,08	20,98
	h-j	902,20	890,49	4,19	917,62	913,43	22,94
	j-n	890,49	887,20	5,35	913,43	908,08	20,88

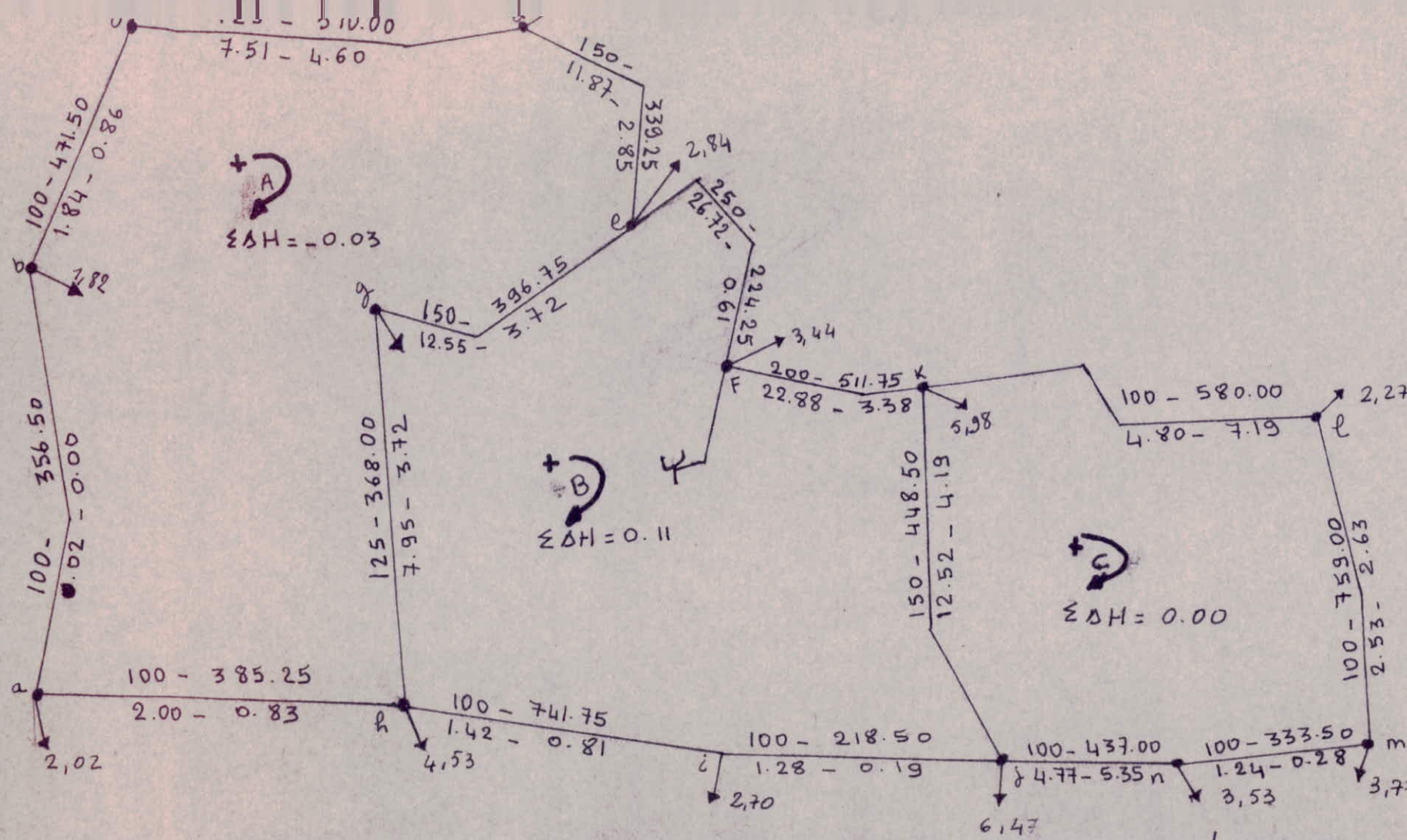
TABLEAU DES VITESSES : Zone I

- caractéristiques des conduites

N° Maille	N° M. Adjacente	Conduite	L (m)	D (m)	Débit : $[10^{-3} \text{m}^3/\text{s}]$	V [m/s]
A		a - b	356.50	0.100	0.02	0.003
		b - c	471.50	0.100	1.84	0.234
		c - d	510.00	0.125	7.51	0.612
		d - e	339.25	0.150	11.87	0.672
B	B	e - g	396.75	0.150	12.57	0.711
	B	g - h	368.00	0.125	7.97	0.649
		h - a	385.25	0.100	2.00	0.254
B	A	h - g	368.00	0.125	7.97	0.649
	A	g - e	396.75	0.150	12.57	0.711
		e - f	224.25	0.250	26.70	0.541
		f - k	511.75	0.200	22.86	0.728
	C	k - j	448.50	0.150	12.50	0.707
		j - i	218.50	0.100	1.26	0.160
		i - h	741.75	0.100	1.44	0.183
C	B	j - k	448.50	0.150	12.50	0.707
		k - l	580.00	0.100	4.80	0.611
		l - m	759.00	0.100	2.53	0.322
		m - n	333.50	0.100	1.24	0.157
		n - j	437.00	0.100	4.77	0.600

Schéma du réseau de distribution - Zone I

- 15 -



LEGENDE

$$a \bullet D(\text{mm}) - L(\text{m}) \bullet b$$

$$a \bullet Q(\text{l/s}) - \Delta H(\text{m}) \bullet b$$

a: Numéro du noeud

A: Numéro de la maille

a \rightarrow : Débit soutiré

4.2. Calcul de la conduite de distribution.

Calcul du diamètre de la conduite principale reliant le réservoir au point de bifurcation des conduites de distribution et de la perte de charge le long de cette conduite.

1- Méthode classique :

Dans le cas d'une régime en transition, on utilise le coefficient de frottement de COLEBROOK dont la première valeur est donnée par le f NIKURADSE.

$$\text{fc} = \left[\left(-0,86 \ln \left(\frac{\varepsilon/D}{3,7} + \frac{2,51}{Re} \right) \right)^{-2} \right]$$

$$\varepsilon = 4,10^{-4} \text{ m}$$

$\rightarrow = 1,1486 \cdot 10^{-6}$ à une température de 15°C.

$$Q = VA = \frac{\pi D^2}{4} v$$

$$D = \sqrt{\frac{4 Q}{\pi v}}$$

$$Q = 438,76 \text{ l/s} = 0,43876 \text{ m}^3/\text{s}$$

nous fixons une vitesse égale à 1 m/s. Comprise dans l'intervalle suivant : $v = (0,3 - 1,5) \text{ m/s}$

$$D = \sqrt{\frac{4 \cdot 0,43876}{3,14 \times 1}} = 0,7639 \text{ m.}$$

nous prenons $D = 750 \text{ mm}$

$$A = \frac{\pi D^2}{4}$$

$$v = \frac{Q}{A} = \frac{4 \cdot Q}{3,14 \cdot D^2} = \frac{4 \cdot 0,43876}{3,14 \cdot (0,75)^2} = 0,933 \text{ m/s}$$

$$R = \frac{C,953 \times 0,750}{1,1486 \cdot 10^{-6}} = 0,342 \cdot 10^5 = 3,42 \cdot 10^5$$

$$\frac{\varepsilon}{D} = \frac{0,14}{750} = 0,00018$$

... / ...

$$dn = (1,14 - 0,86 \ln \frac{\xi}{D})^2 \pm (1,14 - 0,86 \ln \frac{0,14}{750})^2$$

fn = 0,01721.

$$fc = \left[(-0,86 \ln \frac{\xi / dn}{-3,7} + \frac{2,51}{D \sqrt{fn}}) \right]^2$$

fc = 0,01801.

$$\Delta H = \frac{fc}{D} \frac{V^2}{2g} \quad Le = \frac{fc}{D} \pi \frac{V^2}{2g} \approx 1,15 Lg$$

Lg = 2750,92 m

V = 0,99 m/s

$$\text{d'où } \Delta H = \frac{0,01801}{0,750} \pi \frac{0,99^2}{2} \approx 1,15 \times 2750,92$$

$\Delta H = 3,79 \text{ m}$

2- Méthode de Monsieur G. LIPPMAY (L.P.D.)

L = 2750,92 m

D = 0,750 m

V = 0,99 m/s

$$\approx 4,10 \cdot \frac{4}{10} \text{ m} = 0,4 \text{ m}$$

$\varphi = 0,4387 \text{ m}^3/\text{s}$

profil circulaire plein, de périmètre de forme $\xi = 1$

$$\xi = 1 \cdot \frac{1}{0,75} \text{ m} \Rightarrow ab. Do = 1,539$$

$$\text{et } A = \frac{D}{Do} = \frac{0,75}{1,539} \approx 0,487$$

Détermination φ / V_{Jr} .

$$\xi = 0,4 \text{ m} = ab. \quad ab = \frac{2}{V_{Jr}} = 13,02$$

$$\varphi = 0,487$$

$$Jr = \frac{Q2}{13,02^2} = \left(\frac{0,4387}{13,02} \right)^2 = \left(\frac{0,4387}{13,02} \right)^2 = 0,00113$$

.../...

Vérification du régime.

$$Re = \frac{4 Q}{\rho A} = 0,03 \cdot \frac{1,430}{0,407} \times \frac{1}{1,1406 \cdot 10^{-6}} = 0,648 \cdot 10^5$$

$$Re = 6,48 \cdot 10^5$$

$$\frac{\varepsilon}{Dh} = 0,00053$$

\Rightarrow Diagramme de Moody \Rightarrow
Régime en transition

on écrit : $J = \lambda J^{5,3} \cdot \beta$

$$Re = 6,48 \cdot 10^5 \quad \Rightarrow 17^\circ C \quad \frac{\varepsilon/Dh}{Dh} = 5 \cdot 10^{-4} \Rightarrow \lambda J^{5,3} = 1,051$$

$$\frac{\varepsilon}{Dh} = 0,00053 \quad \Rightarrow \lambda J^{5,3} = 1,03$$

$$\lambda_J^{5,3} = 1,051 \quad \Rightarrow ab. 17^\circ C \Rightarrow \lambda_J^{5,3} = 1,05$$

$$\lambda_J^{5,3} = 1,03 \quad \beta = \lambda_J^{5,3} \cdot \pi J_r = 0,00113 \times 1,05 = 0,00118$$

$$\text{d'où } \Delta H = J \times 1,15 \times 2750,92 = 3,75 \text{ m}$$

3. Calcul de la pression au sol :

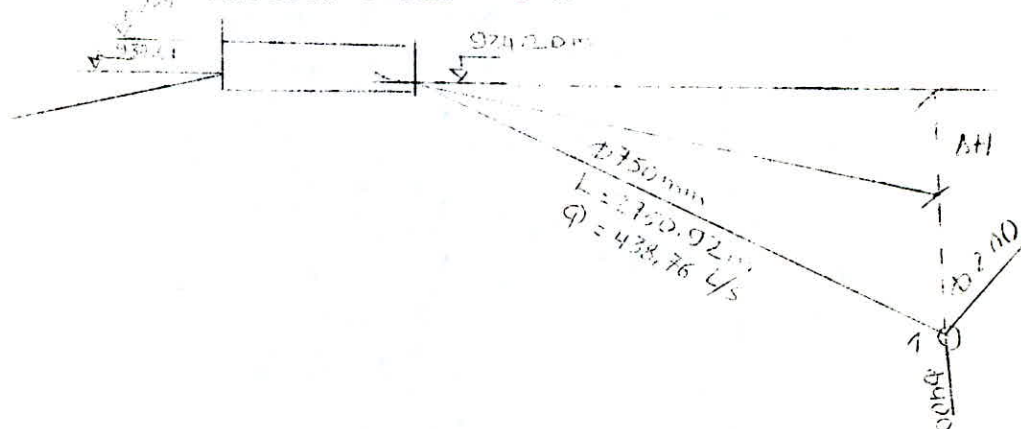
Le procédé de calcul est le même que celui de la zone I cité à la page 148.

- Côte crête = 934,20 m

- Côte trop plein = 939,00 m

- Côte de terrain naturel = 937,62 m

Hauteur d'eau = 5 m



Programme du calcul du réseau maillé
et de ΔH sur calculatrice programmable TI-59

LRN

000	2nd LBL	042	01	084	RCL	126	2nd LBL
001	A	043	2nd x	085	06	127	B
002	2nd St flag	044	÷	086	X	128	RCL
003	08	045	RCL	087	8	129	09
004	RCL	046	05	088	X	130	R/S
005	03	047	√x	089	RCL	131	÷
006	÷	048	+	090	01	132	RCL
007	RCL	049	RCL	091	x ²	133	11
008	00	050	03	092	÷	134	R/S
009	=	051	÷	093	2nd π	135	÷
010	2nd Log	052	3	094	x ²	136	2
011	X	053	•	095	÷	137	=
012	2	054	÷	096	g	138	+/-
013	+/-	055	÷	097	•	139	STO
014	+	056	RCL	098	8	140	12
015	1	057	00	099	÷	141	RCL
016	•	058	=	100	RCL	142	09
017	1	059	2nd Log	101	00	143	+/-
018	4	060	X	102	y ^x	144	SUM
019	=	061	2	103	5	145	09
020	x ²	062	+/-	104	=	146	RCL
021	1/x	063	=	105	STO	147	11
022	STO	064	x ²	106	07	148	+/-
023	05	065	1/x	107	R/S	149	SUM
024	2nd LBL	066	STO	108	X	150	11
025	=	067	06	109	RCL	151	RCL
026	2	068	—	110	02	152	12
027	.	069	RCL	111	=	153	R/S
028	5	070	05	112	STO		
029	1	071	=	113	08		
030	X	072	2nd x	114	SUM		
031	RCL	073	inv	115	09		
032	00	074	2nd x>t	116	R/S		
033	X	075	x ²	117	÷		
034	2nd π	076	RCL	118	RCL		
035	X	077	06	119	01		
036	RCL	078	STO	120	=		
037	04	079	05	121	STO		
038	÷	080	GTO	122	10		
039	4	081	=	123	SUM		
040	÷	082	2nd LBL	124	11		
041	RCL	083	x ²	125	R/S		

① stockage :

- Φ → 100 m
 - Q → (01) m³/s avec sign
 - L → (02) m avec sign
 - E → (03) m
 - Δ → (04) m²/s
 - Precision x \pm t
- ② A → J_i
 R/S → ΔH_i
 R/S → ΔH_i/Q_i
- Réptir : n transçons
 B → $\sum \Delta H$
 R/S → $\sum \Delta H$
 R/S → Δq (m^3/s)

$$\Delta H = 3,79 \text{ m.}$$

$$- Cp_1 = 934,20 - 3,79 = 930,41 \text{ m}$$

$$- Cp_2 = Cp_1 - \Delta H_{1-2}.$$

$$Cp_2 = 930,41 - 0,68 = 929,73 \text{ m}$$

$$P_1 = Cp_2 - C_{T2} = 929,73 - 890,96 = 38,77 \text{ m}$$

Le calcul de pression du réseau sont portés sur le tableau II° 6

Nous remarquons que les pressions aux niveaux des tronçons : 35-38 ; 42-41 ; 39-38 ; 41-38 sont faibles. Ces tronçons passent à proximité des espaces verts (et non à côté des liens d'habitations). Pour cela se n'est pas nécessaire de placer des suppresseurs.

4. Conclusion sur le réseau de distribution :

Le réseau de distribution doit assurer à chaque instant avec une pression acceptable, les débits minimums instantanés et les besoins du service d'incendie.

En cas d'incendie, pour que le réseau de distribution assure à lui seul la desserte de la localité, il faut qu'il dispose en temps d'une réserve de 120 m³ et que la capacité de transport des canalisations atteigne au moins 17 l/s sous une pression de 1 bar (10 m).

5. EQUIPEMENT DU RESEAU DE DISTRIBUTION.

5.1. Type de canalisation.

Le réseau de distribution sera constitué de conduites en amiante ciment, et ce pour les avantages qu'ils présentent.

- Disponibilité sur le marché National.
- Ce type de matériau supporte une pression de 5 à 25 bars.
- Présente une excellente résistance à la corrosion.

.../...

Calcul des Pressions : Zone II

N° des Mailles	N° Des Tronçons	Altitudes, [m]		Pertes de charge [m]	côtes piezométriques [m]		Pressions [m]
		Amont	Aval		Amont	Aval	
I	1-2	890.24	890.96	0.68	930.41	929.73	38.77
	2-3	890.96	894.22	0.56	929.73	929.17	34.95
	3-4	894.22	894.80	1.73	927.17	925.44	30.64
	4-5	890.94	890.23	0.25	930.41	930.16	30.93
	5-4	890.23	894.80	2.73	930.16	927.43	32.63
II	1-5	890.94	890.23	0.25	930.41	930.16	30.93
	5-6	890.23	887.24	0.87	930.16	929.29	42.05
	6-16	887.24	885.60	0.69	929.29	928.60	43.00
	16-18	885.60	897.50	0.36	928.60	928.24	30.74
	19-18	889.20	897.50	0.62	928.73	928.11	30.61
	20-19	889.50	889.20	1.08	929.81	928.73	39.53
	1-20	890.94	889.50	0.60	930.41	929.81	40.31
III	5-4	890.23	894.80	2.73	930.16	927.43	32.63
	4-8	894.80	897.00	1.32	927.43	926.11	29.11
	7-8	886.60	897.00	2.35	928.28	925.93	28.93
	6-7	887.24	886.60	1.01	929.29	928.28	41.68
	5-6	890.23	887.24	0.87	930.16	929.29	42.05
IV	6-7	887.24	886.60	1.01	929.29	928.28	41.68
	7-10	886.60	884.42	2.30	928.28	925.98	41.56
	15-20	884.44	884.42	1.93	927.73	925.80	41.38
	16-15	885.60	884.44	0.87	928.60	927.73	43.29
	6-16	887.24	885.60	0.69	929.29	928.60	43.00

calcul des Pressions : Zone II

N° Des Mailles	N° Des tranches	Altitudes, [m]		P. d. c [m]	côtes piezométriques [m]		Pressions [m]
		Amont	Aval		Amont	Aval	
IV	16-18	885.60	897.50	0.36	928.60	928.24	30.74
	18-17	897.50	900.00	0.56	928.24	927.68	27.68
	17-14	900.00	883.92	1.66	927.68	926.02	42.10
	15-14	884.44	883.92	1.63	927.73	926.10	42.18
	16-15	885.60	884.44	0.87	928.60	927.73	43.29
V	15-10	884.44	884.42	1.93	927.73	925.80	41.38
	10-11	884.42	881.29	3.54	925.80	922.26	40.97
	12-11	882.01	881.29	2.70	924.83	922.13	40.84
	13-12	883.77	882.01	0.66	925.49	924.63	42.82
	14-13	883.92	883.77	0.61	926.10	925.49	41.72
	15-14	884.44	883.92	1.63	927.73	926.10	42.18
VI	7-8	886.60	897.00	2.37	928.28	925.93	28.93
	8-9	897.00	876.60	1.26	925.93	924.67	48.07
	9-11	876.60	881.29	2.02	924.67	922.65	41.36
	10-11	884.42	881.29	3.54	925.98	922.44	41.15
	7-10	886.60	884.42	2.30	928.28	925.98	41.56
VII	9-11	876.60	881.29	2.02	924.67	922.65	41.36
	11-23	881.29	879.80	1.31	922.65	921.34	41.54
	23-22	879.80	883.20	1.75	921.34	919.59	36.39
	21-22	873.50	883.20	1.98	921.73	919.75	36.55
	9-21	876.60	873.50	2.94	924.67	921.73	48.93

Calcul des Pressions : Zone II

N° Des Mailles	N° Des Trançons	Altitudes, [m]		P.d.c [m]	côtes. prézométriques [m]		Pressions [m]
		Amont	Aval		Amont	Aval	
IX	23-22	879.80	883.20	1.75	921.34	919.59	36.39
	23-24	879.80	899.95	1.08	921.34	920.26	20.31
	24-25	899.95	905.80	0.64	920.26	919.62	13.82
	25-26	905.80	885.10	1.83	919.62	917.79	32.69
	22-26	883.20	885.10	1.80	919.59	917.79	32.69
X	21-22	873.50	883.20	1.98	921.73	919.75	36.55
	22-26	883.20	885.10	1.80	919.75	917.79	32.69
	26-26a	885.10	881.20	0.88	917.79	916.91	35.71
	27-26a	870.50	881.20	2.79	919.86	917.07	35.87
	21-27	873.50	870.50	1.87	921.73	919.86	49.36
XI	27-26a	870.50	881.20	2.79	919.86	917.07	35.87
	27-29	870.50	875.80	5.01	917.07	912.06	36.26
	28-29	876.04	875.80	0.51	915.35	914.84	39.04
	26a-28	881.20	876.04	1.73	917.07	915.35	39.30
XII	29-30	875.80	884.20	2.67	914.84	912.17	27.97
	31-30	886.75	884.20	0.92	913.08	912.16	27.96
	28-31	876.04	886.75	2.27	915.35	913.08	26.33
	28-29	876.04	875.90	0.51	915.35	914.84	39.04
XIII	30-32	884.20	873.43	2.33	912.16	909.83	36.40
	32-33	873.43	876.57	1.19	909.83	908.64	32.07
	33-34	876.57	892.57	2.99	908.64	905.65	13.08
	30-34	884.20	892.57	6.47	912.16	905.69	13.12

Calcul des Pressions : Zone II

N° des Mailles	N° Des tronçons	Altitudes, (m)		P. d. C [m]	côtes piezométriques [m]		Pressions [m]
		Amont	Aval		Amont	Aval	
XIV	30-34	884.20	872.57	6.47	912.16	905.69	13.12
	34-35	892.57	890.29	2.86	905.69	902.83	12.54
	35-38	890.29	889.70	2.24	902.83	900.59	10.89
	41-38	891.97	889.70	17.81	918.71	900.90	11.20
	42-41	891.28	891.97	0.16	918.87	918.71	26.74
	42-37	891.28	890.20	2.38	918.87	916.49	26.29
	37-36	890.20	885.53	1.87	916.49	914.62	29.09
	36-31	885.53	886.75	1.54	914.62	913.08	26.33
	31-30	886.75	884.20	0.92	913.08	912.16	27.96
XV	34-35	892.57	890.29	2.86	905.69	902.83	12.54
	35-38	890.29	889.70	2.24	902.83	900.59	10.89
	39-38	890.40	889.70	2.63	903.08	900.45	10.75
	34-39	892.57	890.40	2.61	905.69	903.08	12.68
XVI	39-38	890.40	889.70	2.63	903.08	900.45	10.75
	40-39	893.52	890.40	11.98	915.94	905.96	13.56
	41-40	891.97	893.52	2.77	918.71	915.94	22.42
	41-38	891.97	889.70	17.81	918.71	900.90	11.20

Calcul des Pressions : Zone II

N° des failles	N° des tronçons	Altitudes, [m]		P. d. c. [m]	côtes piezométriques		Pressions [m]
		Amont	Aval		Amont	Aval	
XVII	42-37	891.28	890.20	2.38	918.87	916.49	26.29
	43-42	884.10	891.28	2.05	920.92	918.87	27.59
	43-37	884.10	890.20	4.45	920.92	916.47	26.27
VIII	43-42	884.10	891.28	2.05	920.92	918.87	27.59
	43a-43	883.92	884.10	1.13	919.79	920.92	36.82
	43a-44	883.92	886.13	0.73	919.79	919.06	32.93
	44-45	886.13	892.21	2.32	919.06	916.74	24.53
	45-42	892.21	891.28	0.13	916.74	916.61	25.33
IX	44-45	886.13	892.21	2.32	919.06	916.74	24.53
	45-46	892.21	896.63	2.15	916.74	914.59	17.96
	47-46	903.40	896.63	1.70	916.28	914.58	17.95
	44-47	886.13	903.40	2.78	919.06	916.28	12.88

- Leur légèreté relative réduit le coût du transport.
- Ils se prêtent bien à l'exécution des travaux accessoires car il est facile à scier, à fileter et à tourner.
- Les tuyaux en amiante-ciment sont exécutés sous 4 à 5 m de longueurs et de 0,04 à 0,800 m de diamètres.

Les conduites en amiante-ciment comportent des pièces spéciales analogues à celles des conduites en acier.

5.2. Appareils de sectionnement : Robinets - Vannes (R-V)

Ils permettent d'isoler les divers tronçons du réseau afin de procéder à des répartitions. Ils régularisent ainsi les débits. La manœuvre de ces robinets est faite sur un trottoir au moyen d'une clef volant.

Ils sont placés généralement dans les regards en maçonnerie de brique ou de ciment.

5.3. Bouches d'incendie.

Les bouches et poteaux d'incendie sont raccordés sur les conduites capables d'assurer un débit de 17 l/s avec une pression au sol de 10 m d'eau leur espacement, doit être de 200 à 300 mètres suivant l'importance de l'agglomération et des équipements. Leur diamètre est de 100 mm.

Nous remarquons aussi que certaines bouches d'incendie sont équipées pour servir aussi à l'arrosage et au lavage.

5.4. Ventouses.

Nous prévoyons des ventouses au droit de chaque point haut, pour éliminer les cantonnements d'air capables de détériorer la canalisation en provoquant des perturbations dans l'écoulement. L'air en s'accumulant aux points hauts, forme des pâches d'air susceptibles de produire de violents coups de belier.

Les ventouses utilisées dans notre projet sont à boules qui au remplissage restent en position basse pour laisser l'orifice d'évacuation d'air complètement dégagé, à l'arrivée et à la remontée de l'eau.

.../...

5.5. Décharges.

Elles sont disposées aux points bas du tracé pour permettre la vidange des conduites. Ce robinet doit être disposé dans un regard en maçonnerie qui sera toujours accessible. L'eau sera évacuée dans un réseau d'assainissement où dans un réseau d'irrigation.

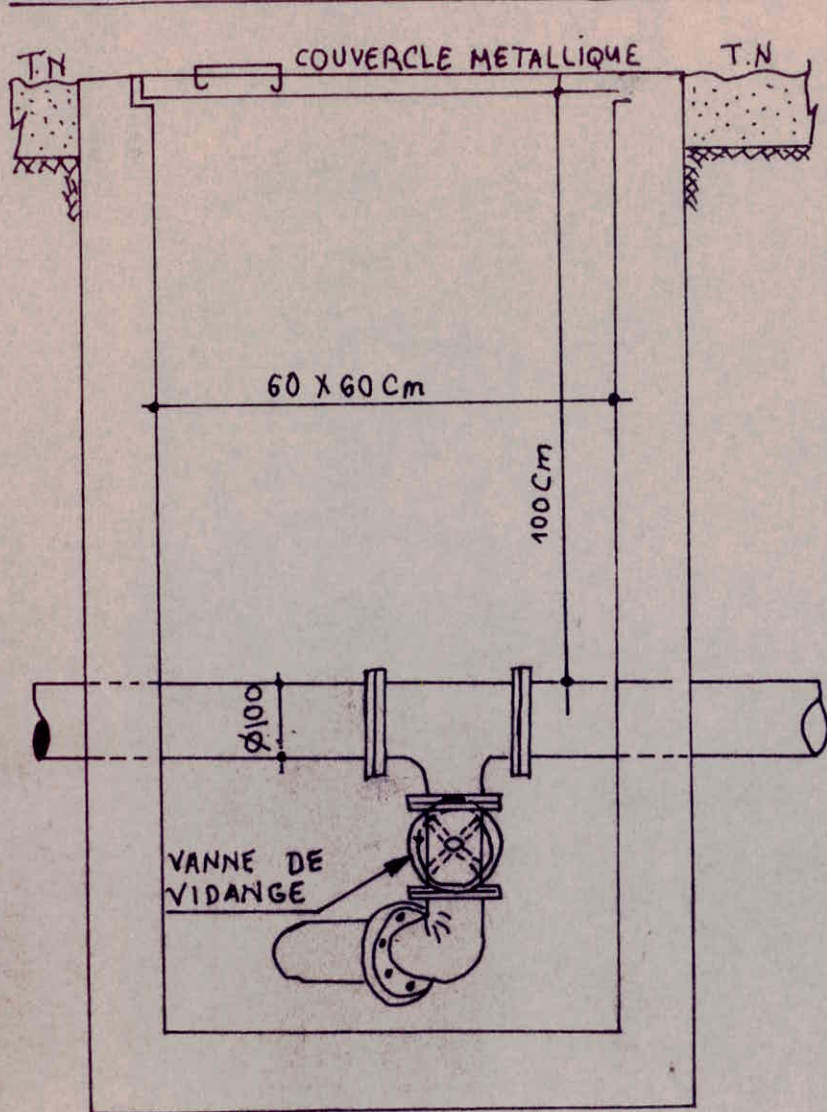
5.6. Tes.

Les tés sont placés à chaque noeud du fait qu'à ce niveau les diamètres sont différents.

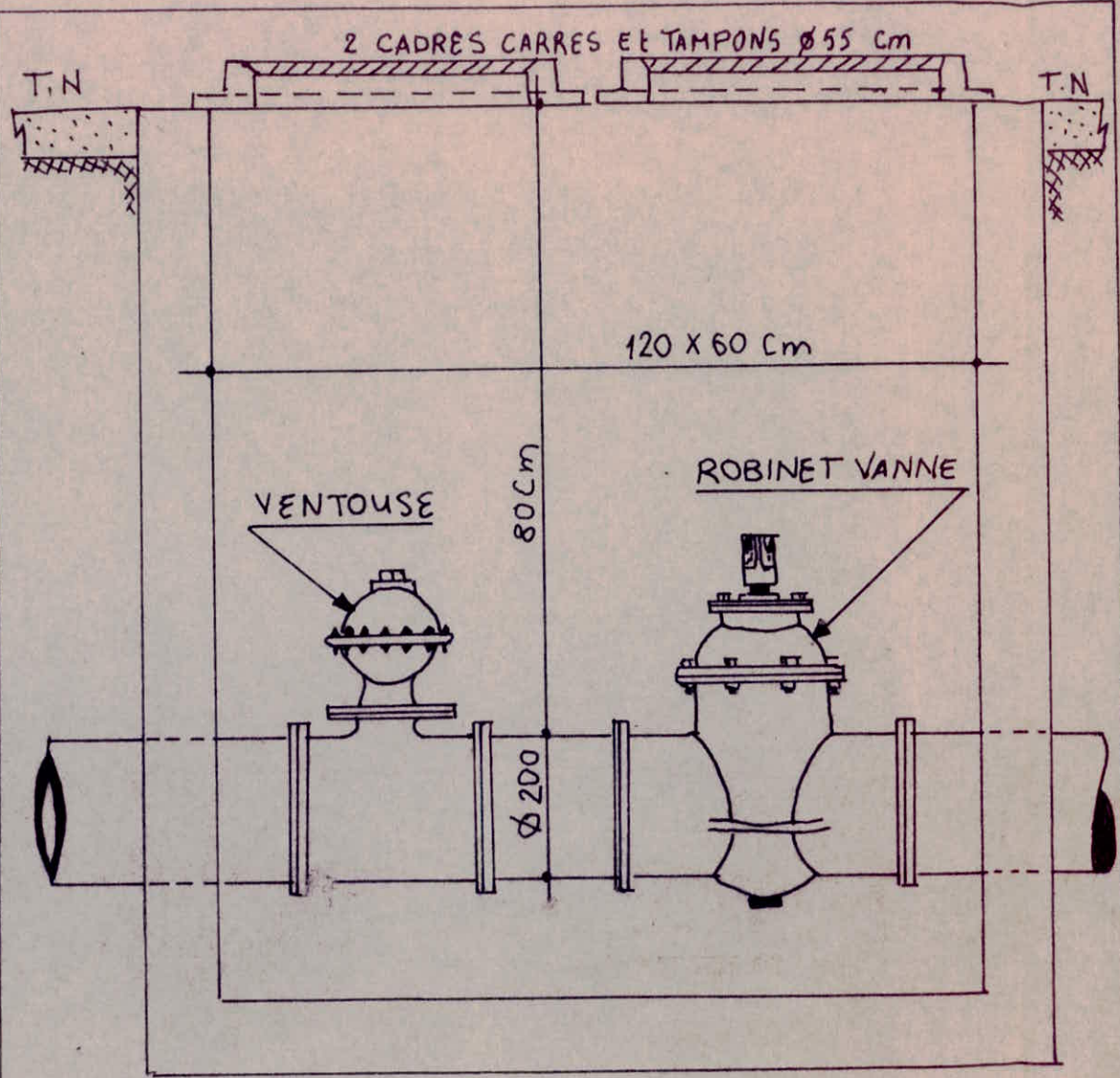
5.7. Clapets.

Ils servent à assurer le passage de l'eau dans un seul sens (dans le sens d'écoulement) et empêcher le retour en sens inverse.

Les accessoires sont schématiser sur la planche n° V.



REGARD VIDANGE



REGARD VENTOUSE + R.V

CHAPITRE VI

Protection des conduites contre le coup de bêlier

1. Généralités.

Le coup de bêlier est un phénomène oscillatoire qui se produit à la suite de succession d'ondes de surpression ou de dépression alternées dues à une modification rapide du régime d'écoulement dans la conduite.

Ces oscillations parcourent la canalisation d'une extrémité à une autre en un mouvement d'aller et retour périodique.

Les causes les plus fréquentes sont :

- L'arrêt brusque des groupes alimentant la conduite
- Le démarrage des pompes
- Fermeture d'une vanne.

2.1. Etude du réservoir d'air.

Pour protéger l'installation du coup de bâlier c'est-à-dire contre la dépression et la surpression maximale nous faisons le calcul d'un réservoir d'air, après le choix arbitraire du volume d'air dans le réservoir en régime normal et le dispositif d'étranglement. Nous trouvons les valeurs de dépression et surpression.

Le dispositif d'étranglement s'avère plus efficace en présentant une perte de charge très importante au retour qu'à l'allée de la masse d'eau.

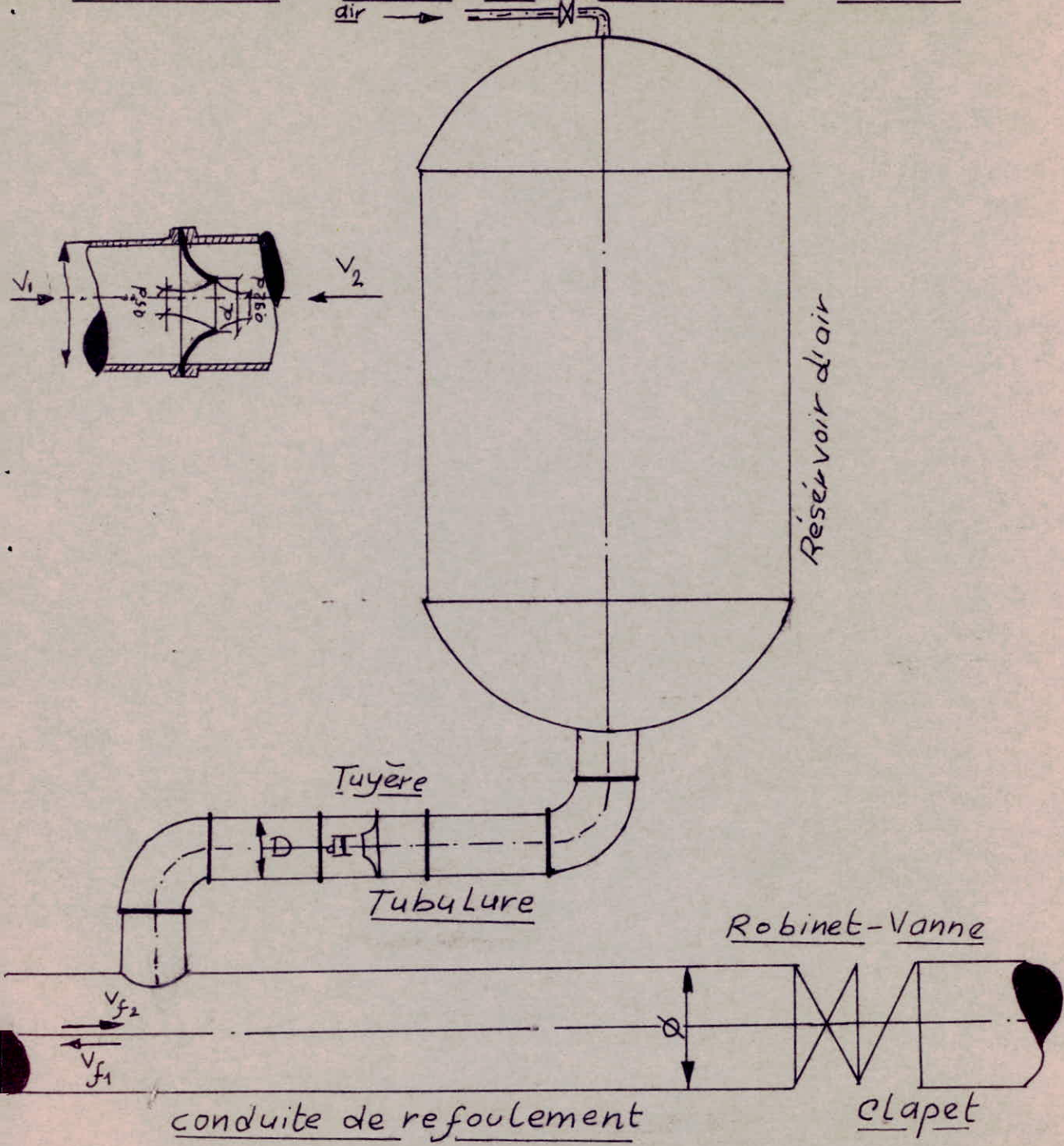
Un tuyau permet donc d'avoir une perte de charge théorique 4 fois plus au retour qu'à l'allée, par conséquent elle entraîne un amortissement rapide des oscillations ainsi qu'une réduction de volume d'air dans la cloche.

2.2. Calcul du réservoir d'air.

Le calcul de ce réservoir se fait par tatonnement ce qui permet la construction de l'épure de Bergeron. De cette épure nous tirons les valeurs max. de la surpression et de la dépression.

En partant de " U_0 " arbitraires et de " V_f " vitesse finale choisie, nous calculons la pression qui doit correspondre sur le graphe à la vitesse choisie sinon le calcul sera refait jusqu'à ce que pression et vitesse coïncident sur le graphe.

Schéma d'un réservoir d'air



- Chap -

2.3. Principe de calcul.

Caractéristiques de la conduite.

$$D = 500 \text{ mm}$$

$$L = 880,72 \text{ m}$$

$$Q = 0,146 \text{ m}^3/\text{s} = 525,6 \text{ m}^3/\text{h}$$

$$V_0 = 0,74 \text{ m/s}$$
$$= 4 \cdot 10^{-4} \text{ m}$$

$$H_Q = CT P_R - CT P_J = 939 - 932,10 = 6,9 \text{ m}$$

$$H = 1,14 \text{ m}$$

Vitesse de l'onde (Celerité)

D'après la formule d'Allievi nous avons

$$a = \frac{9900}{\sqrt{48,3 + \frac{KD}{e}}}$$

D : diamètre de la conduite

e : épaisseur de la conduite = 4,5 mm

K : coefficient dépendant du matériau

K : 0,5 pour l'acier

$$a = \frac{9900}{\sqrt{48,3 + \frac{0,5 \cdot 0,5}{0,0045}}} = 971,45 \text{ m/s}$$

$$a = 971,45 \text{ m/s}$$

$$e \text{ minimale} = 3 D = 3 \cdot 0,5 = 1,5 \text{ mm.}$$

Valeur maximale du coup de bâlier sans système anti-bâlier.

$$b = \frac{V_0}{g}$$

- 69 -

$$b = \frac{971,45 + 0,74}{9,8} = 73,2796 \text{ m}$$

$$b = 73,28 \text{ m}$$

a) Valeur de la surpression.

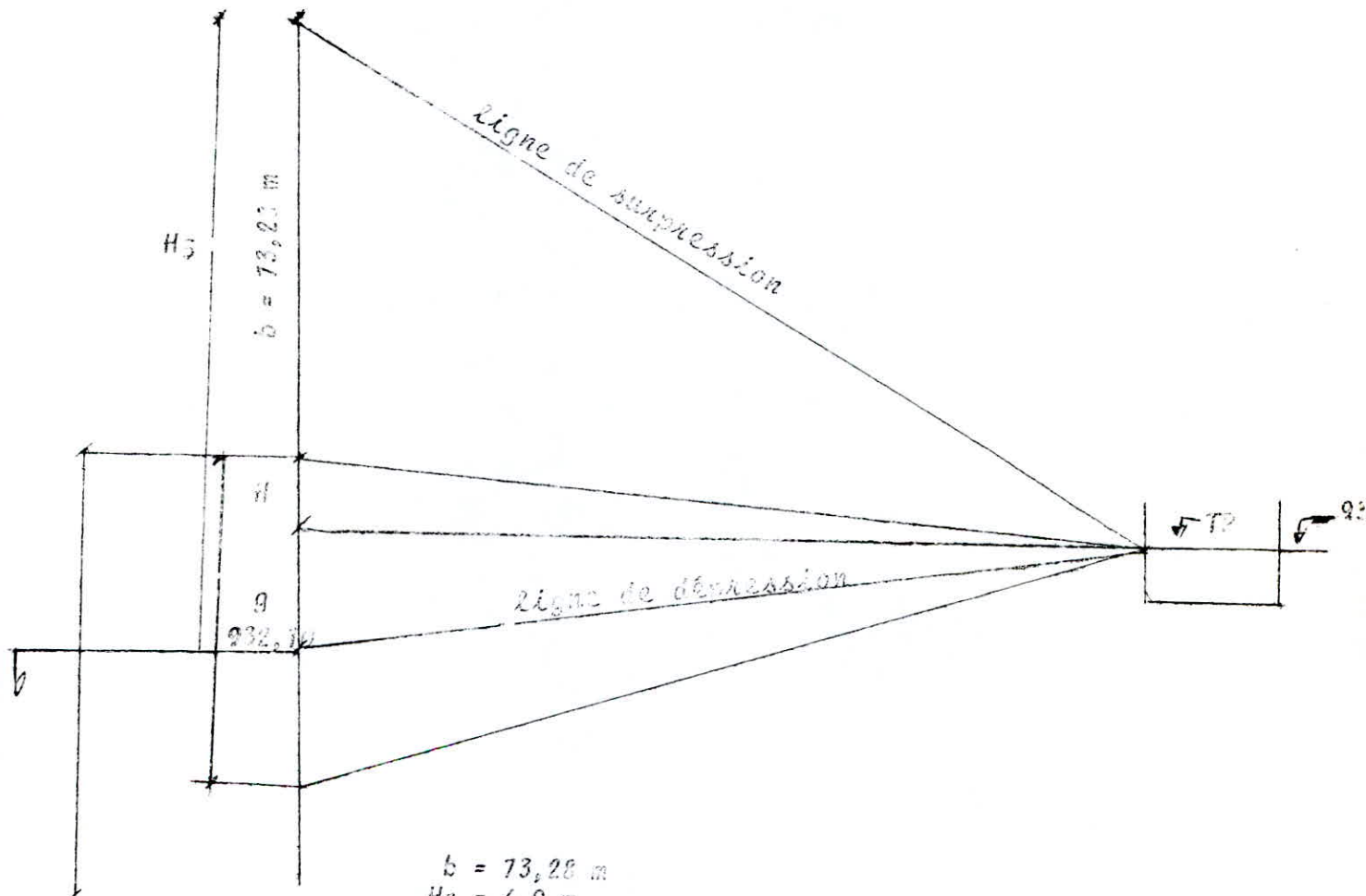
$$H_S + b + H = 6,9 + 73,28 + 1,14 = 81,32 \text{ m}$$

b) Valeur de la dépression.

$$H_g + l \cdot H - b = 6,9 + 1,14 - 73,28 = - 66,33 \text{ m}$$

c) La pression en service de la conduite est de :

$$10 \text{ bars} = 100 \text{ m.}$$



$$\begin{aligned}b &= 73,28 \text{ m} \\H_g &= 6,9 \text{ m} \\l &= 1,14 \text{ m} \\l_S &= 81,35 \text{ m} \\l_d &= 65,24 \text{ m}\end{aligned}$$

Remarque :

- - -

- La pression maximale au niveau du point de jonction est de 31,32 m.

- Le tracé est soumis à une dépression de (- 66,38 m) sur toute la longueur. Pour cela nous prenons des mesures anti-bélier contre la dépression.

Nous prévoyons une ventouse pour l'évacuation d'air et un clapet de rentrée d'air, car d'une part il ne s'agit pas d'une suppression et d'autre part le réservoir d'air n'intervient pas pour les conduites se trouvant dans les forages.

- diamètre de la conduite : $\phi = 500 \text{ mm}$

- Section : $A = \frac{\pi D^2}{4} = \frac{\pi (0,5)^2}{4} = 0,1964 \text{ m}^2$.

- $V_0 = \frac{Q}{A} = \frac{0,146}{0,1964} = 0,74 \text{ m/s}$

- Volume de la conduite

$$\text{Volume} = L \cdot A = 880,72 \times 0,1964 = 172,97 \text{ m}^3$$

- vitesse =

$$a = \frac{9900}{48,3 + \frac{K_D}{e}} = 971,45 \text{ m/s}$$

- Intervalle de temps :

$$\text{Temps d'allé et retour de l'onde} : T = \frac{2 L}{a}$$

$$T = \frac{2 \times 880,72}{971,45} = 1,81 \text{ seconde}$$

$$\frac{L}{a} = 0,905 \text{ s.}$$

- Le max du coup de bâlier :

$$b = \frac{\alpha V_0}{g} = 73,28 \text{ m d'eau.}$$

- Nous prenons un volume d'air arbitraire en régime normal
 $V_0 = 1 \text{ m}^3.$

Nous disposons d'une tuyère de diamètre "d" incorporée dans une tubulure de diamètre D. Le coefficient de débit à la montée de l'eau dans la tuyère sera de : 0,92

- Perte de charge à la montée de l'eau.

$$D = \frac{\phi}{2} = \frac{500}{2} = 250 \text{ mm}$$

$$d' = 0,92 d.$$

$$K = \frac{\eta_i}{\eta_f} = \frac{\phi^2}{(0,92d)^2} = \frac{II (d')^2}{4} \cdot v_+ = \frac{II \phi^2}{4} \cdot v_+$$

$$15 < K < 20.$$

$$\frac{v_+}{v_f} = \frac{(500)^2}{(0,92 \cdot d)^2} = 19 \quad d = \frac{(500)^2}{19 \cdot (0,92)^2} = 124,68$$

$$d = 125 \text{ mm}$$

Dans ce cas K sera alors :

$$K = \frac{\phi^2}{(0,92 \cdot d)^2} = \frac{(500)^2}{(0,92 \cdot 125)^2} = 18,90$$

Ainsi :

$$\frac{v_7}{v_6} = \frac{\phi^2}{d^4} = \frac{\phi^2}{(0.92d)^2} = K \quad v_I = 18,9 \text{ m/s.}$$

- déterminations de m et c.

$$\text{Par ailleurs } m = \frac{d^2}{\phi}$$

$$m = \frac{(0.92 \cdot 0,125)^2}{(0,250)^2} = 0,2316 = 0,21$$

En fonction de "m" nous trouvons la valeur de "c" sur l'abaque (Dupont zone II Page 21).

c : coefficient de P. d. c. dans une tuyère
c = 0,63.

- d'où la perte de charge à la montée.

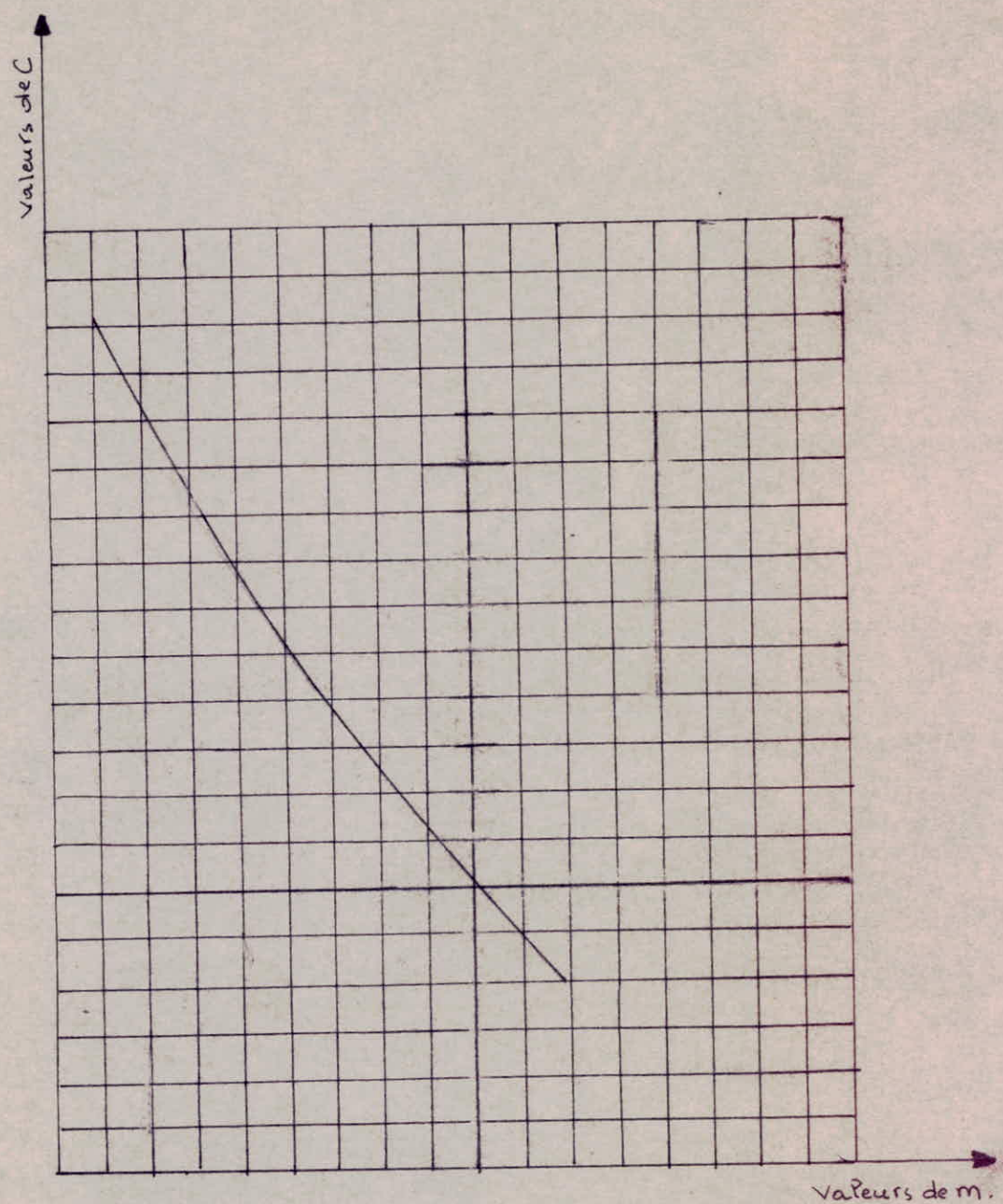
$$\Delta H_I = \frac{v_I^2}{2g} \cdot c = \frac{v_I^2 \cdot 0,63}{2 \cdot 9,8} = 0,0321 v_I^2.$$

$$\Delta H_I = 0,0321 v_I^2$$

- Perte de charge à la descente.

$$\frac{v_2}{v_6} = K^2 = \frac{\pi \phi^2}{0,5 \frac{\pi d^2}{2}} = \frac{\phi^2}{v_6^2} = \frac{2 \phi^2}{d^2}$$

0,5 : coefficient de contraction.



Coefficient de perte de charge -C-
dans une tuyère

- 44 -

$$k^1 = \frac{v_2}{v_6} = \frac{2 \cdot (500)^2}{(125)^2} = 32$$

$$\underline{v_2 = 32 v_6}$$

$$m^1 = \frac{\frac{a^2}{2}}{\frac{\phi^2}{2}}$$

$$m^1 = \frac{0.5 \cdot (125)^2}{(250)^2} = 0,125$$

Le graphique donne : $c' = 0,79$

d'où $H_2 = \frac{v_2^2}{2g} \cdot c' = \frac{v_2^2 \cdot 0,79}{2 \cdot 9,8} = 0,0403 v_2^2$

$$\underline{H_2 = 0,0403 v_2^2}$$

$$z_0 = H_A + 10 = 6,9 + 10 = 16,9 \text{ m}$$

- La nouvelle pression (Z) dans le réservoir d'air sera exprimée par la loi de poisson.

$$- Z = \frac{u_0^{1,4} (z_0 + s_0)}{v_0^{1,4}}$$

z_0 = pression absolue exprimée en colonne d'eau (si nous négligeons la hauteur de l'eau dans le réservoir d'air au-dessus de l'axe de la conduite).

u_0 = Volume d'air en m^3 .

s_0 = Perte de charge dans la conduite en régime normal de fonctionnement.

$$v_{mi} = \frac{v_0 + v_{fi}}{2}$$

v_{mi} : vitesse moyenne

v_f : vitesse finale choisie

$$v = v_0 + \Delta v$$

$$\Delta v = A \cdot T \cdot v_m$$

A : section (m^2)

T : intervalle de temps en (s)

Δv : variation du volume d'air - (m^3)

- Pour les volumes s'ajoutent ou se retranchent suivant la montée ou la descente de l'eau.

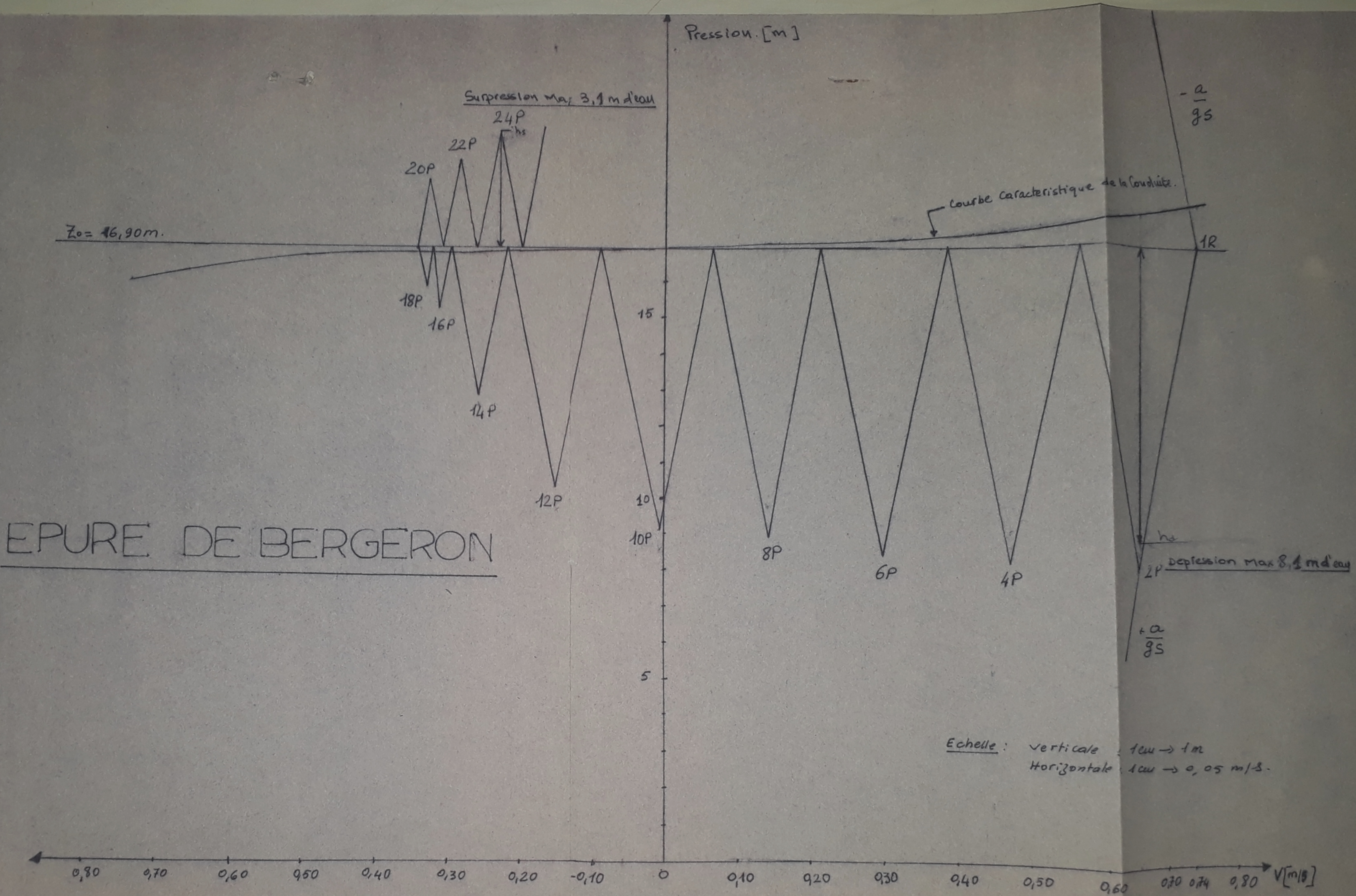
- Détermination de la pente.

$$c_p = \frac{a}{g \cdot s}$$

$$c_p = \frac{971,45}{9,8} = 99$$

$$\frac{a}{v} = \frac{\text{pression}}{\text{vitesse}} = \frac{99}{T} \text{ m/s}$$

intervalle de temps	Variation du volume d'air $\Delta U = 5 \cdot V_m \cdot Q$ $\Delta U = 0.196 \cdot 1.81 \cdot V_m$	Volume d'air $U = U_0 + \Delta U$ $U_0 = 1 \text{ m}^3$	Pression dans le réservoir d'air $Z = \frac{(20 + 5)}{U^{1/4}} \cdot U_0^{1/4}$	vitesse de la chute Montée: $V_1 = 18.9 V_f$ descend: $V_2 = 32 V_f$	P.d.c. de la tuyère $\Delta h_1 = 0.0321 \cdot V_1^2$ $\Delta h_2 = 0.0403 \cdot V_2^2$	Pression de la conduite avec p.d.c. Montée: $Z - \Delta h_1$ descend: $Z + \Delta h_2$	perte de charge de refoulement. S	Pression de la conduite sans p.d.c. Montée: $Z - \Delta h_1 - S$ descend: $Z + \Delta h_2 + S$	vitesse due sur le graphique V_f	Désignation du point.	vitesse moyenne V_m .	vitesse finale choisie V_f
0	0.00	$U_0 = 1.000$	18.040	—	—	18.040	1.140	16.900	$V_0 = 0.740$	1R	—	—
2θ	0.247	1.247	13.753	12.285	4.844	8.909	0.875	8.034	0.650	2P	0.695	0.650
3θ	0.199	1.446	11.178	8.882	2.533	8.645	0.425	8.220	0.470	4P	0.560	0.470
4θ	0.137	1.583	9.847	6.048	1.174	8.673	0.200	8.473	0.300	6P	0.385	0.300
4θ	0.079	1.662	9.198	2.740	0.241	8.957	0.050	8.907	0.145	8P	0.222	0.145
5θ	0.023	1.685	9.022	-0.416	0.173	9.184	0.00	9.184	-0.013	10P	0.066	-0.013
6θ	-0.029	1.656	9.244	-4.160	0.991	10.235	0.075	10.310	-0.155	12P	-0.084	-0.155
7θ	-0.074	1.582	9.855	-8.416	2.854	12.709	0.150	12.859	-0.263	14P	-0.209	-0.263
8θ	-0.103	1.479	10.829	-10.176	4.173	15.002	0.200	15.202	-0.318	16P	-0.290	-0.318
9θ	-0.116	1.363	12.140	-10.720	4.631	15.351	0.275	15.626	-0.335	18P	-0.326	-0.335
10θ	-0.118	1.245	13.780	10.656	4.576	18.356	0.270	18.626	-0.333	20P	-0.334	-0.333
11θ	-0.110	1.135	15.685	9.280	3.470	19.329	0.174	19.320	-0.29	22P	-0.311	-0.290
12θ	-0.093	1.042	17.679	7.520	2.279	19.958	0.100	20.058	-0.235	24P	-0.262	-0.235



- Résultats du diagramme

Surpression max = 3,7 m d'eau

Dépression max = 3,7 m d'eau

Nous prévoyons un volume mort au cours de la construction dans le réservoir d'air pour que l'air ne passe pas dans la conduite.

H2 : Pour le démontage, il suffit de disposer d'un robinet vanne manœuvré lentement pour atténuer le coup de bâlier.

Dans notre cas la caractéristique de la conduite est sous forme de parabole, donc nous procédons à vanne fermée.
(quand la caractéristique de la conduite est plate le coup de bâlier est très faible).

PROTECTION DES CONDUITES CONTRE LA CORROSION

1. GÉNÉRALITÉS.

La corrosion des canalisations en acier est caractérisée soit par :

- Une attaque du métal due à la nature agressive du sol (corrosion chimique).
- L'influence des installations électriques à courant continu, situées au voisinage des réseaux d'alimentation en eau potable. (corrosion électrochimique).

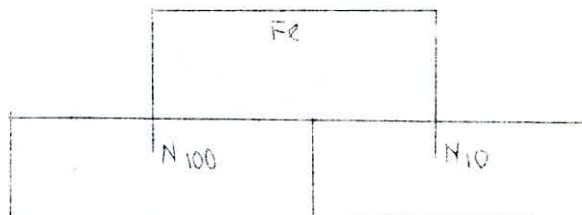
2. Corrosion par formation de pile.

Dans ce cas la corrosion se présente sous deux aspects.

- coupes galvaniques: piles constituées de métaux différents
- deux métaux à potentiels d'équilibre de différents reliefs électriquement et plongés dans un électrolyte formant une pile.

L'acier se corrode parce qu'il a un potentiel plus négatif (anode) et le cuivre (cathode) se trouve protégé, pile de concentration ou pile géologique.

- quand on plonge deux électrodes de même métal dans un électrolyte à concentrations différentes, on déduit une pile de concentration.



Pile de concentration.

- Le sol en raison de son humidité relative qui y règne constitue un électrolyte présentant une conductibilité plus ou moins grande. Aussi il a été constaté que les terrains argileux marécageux, humides et peu aérés sont anodiques et que les terrains calcaires, sableux secs et bien aérés sont cathodiques.

3. Corrosion sous-l'influence d'une installation électrique extérieure.

Cette corrosion se produit sous-l'actions des courants vagabonds émis par des sources électriques de courant continu, ces sources sont situées généralement à proximité des canalisations.

4. Protection contre la corrosion.

Une bonne protection d'un réseau en acier consistera à un enrobage des tuyaux d'une enveloppe isolante.

et d'assurer au droit des joints une parfaite continuité de l'enrobage

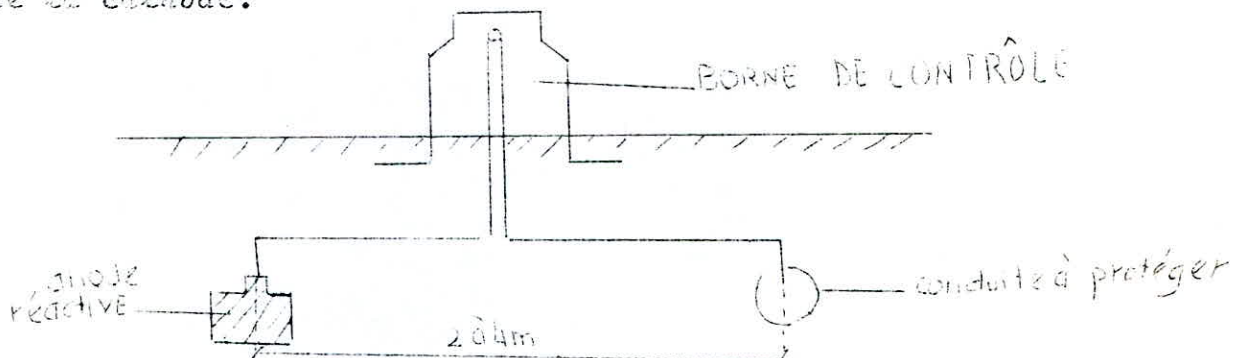
4.1. Protection cathodique.

En plus des dispositions qu'il faut prendre en vue d'éviter les cas de corrosion déjà citées on doit procéder nécessairement à une protection cathodique, elle consiste à :

- à constituer, avec un métal plus électro-négatif que le fer, une pile où le fer jouera le rôle de cathode.
- à relier la conduite d'une part à une source d'énergie électrique extérieure et d'autre part à une anode enfouie dans le sol : destinée à se corroder.

a. Protection cathodique par anode réactive.

Il suffit de relier de place en place la conduite à une pièce de métal plus électro-négatif que le fer zinc ou magnésium de façon à former des piles où la conduite d'acier jouera le rôle de la cathode.



Ce procédé consiste à enfouir dans le sol des anodes réactives cylindriques de 15 à 30 Kg à environ 4,00 m de la conduite à laquelle elles sont reliées. Pour l'efficacité de la protection., les anodes seront entourées d'une bouillie à base d'argile colloïdale.

Ce procédé est préféré pour le cas des petits réseaux car il ne nécessite pas un nombre important d'anodes et nous dispens de la surveillance pour illustrer ceci, nous donnons les deux relations qui calculent la masse et le nombre d'anodes qu'il faut pour cette protection.

- La masse nécessaire d'anode à dissoudre pour une certaine durée de passage de courant est donnée par la loi de Faraday :

$$m = \frac{I \times t \times M}{F \cdot V}$$

I : intensité du courant A)

M : masse atomique du métal de l'anode g)

t : temps de passage du courant (s)

V : valeur du métal de l'anode

F : 1 Faraday : 96500 coulombs

m : masse dissoute de l'anode g

- le nombre d'anodes nécessaires pour la protection est donné par la relation suivante :

$$n = \frac{s \times i}{I}$$

s : surface de la canalisation à protéger m²

i : densité de courant m.A/m²

I : courant probable de l'anode mA

Les valeurs de I et i dépendent principalement de la résistivité du sol.

5) Protection cathodique par soutirage de courant.

Le procédé consiste à partir d'une source électrique de courant continu à relier les conduites à la borne négative de cette source, la borne positive est une anode métallique (vieux rail, par exemple) enterrée à une certaine distance (une centaine de mètre environ).

Le courant en partant de l'anode traverse le sol et est capté par la canalisation et retourne à la source de courant.

* Protection des conduites au niveau des points hauts et bas.

- au niveau des points hauts :

Il arrive souvent qu'on situe l'air dans les conduites. Il peut pénétrer au moment de la mise en service ou d'une réparation du réseau. Cet air en s'accumulant généralement au niveau des points hauts, perturbe l'écoulement, il peut même entraîner des ruptures. Pour remédier à cela on prévoit des ventouses.

- au niveau des points bas :

tout comme les crêtes au niveau du réseau les points bas représentent aussi des points de défaillance. Pour cela on prévoit des décharges en vue de vidange en cas de nécessité.

CONCLUSION :

Avant de procéder à la protection cathodique prévue sur un réseau de canalisation souterrains en acier, il faut effectuer des travaux accessoires peu coûteux et simples qui sont essentiellement.

- L'état des revêtements intérieurs et extérieurs de la conduite doit-être convenable.

- Stockage, transport et pose de conduites dans les tranchées de manière convenable.

- assurer la continuité électrique au niveau de joints et robinets sauf exception désirée (isolement des branches).

CHAPITRE VII

POSE DES CONDUITES

Pose en tranchée.

Dans ce présent projet la pose des conduites s'effectue dans une tranchée assez large pour faciliter la disposition des tuyaux.

La largeur de la tranchée est de 0,70 m pour les petits diamètres ; elle est plus grande pour les diamètres supérieurs à 150 mm.

Cette largeur est calculée en fonction du diamètre de la conduite en prenant soin de laisser un espace de 0,30 m de chaque côté.

$$E = D + 2 \cdot 0,30 = D + 0,60.$$

Le lit de pose est constitué uniquement de sable d'épaisseur de 0,20 m lorsque le terrain ne présente pas de risque d'affaissement^d aux variations de charges, ou de roches susceptibles d'endommager les conduites, dans le cas contraire, il est convenable de disposer soit d'un lit de sable assez important soit d'une dalle en béton.

L'épaisseur du lit est de (0,15 + 0,20) m.

Celui-ci peut être recouvert par :

- du gravier dans le terrain ordinaire
- par de la pierre tassée qui servira de drains dans un terrain imperméable ou rocheux.
- Par un lit de béton maigre dans les parties rocheuses.

La profondeur doit être suffisante et constante afin de protéger les conduites contre les variations de températures, les risques d'écrasement sous l'effet des surcharges et des pressions extérieures. Pour cela il est utile de procéder à une couverture épaisse de 1,20 m de sable. Si les charges sont élevées, les efforts correspondants sont repris au moyen d'une dalle en béton armé.

Traversée de route.

La pose des conduites se fera dans des gaines dont le diamètre est supérieur à celui de la conduite à introduire, dans le but de protéger la canalisation des chocs de vibration et d'évacuer les fuites éventuelles hors de la chaussée.

Epreuve sur canalisations en place.

Quand la conduite est en fond de fouille, elle est remplie d'eau en vue de l'éprouver à la pression. Cette opération s'effectue à l'aide d'une pompe d'épreuve dont la durée d'épreuve est d'au moins 30 minutes.

L'étanchéité de la canalisation et des joints est obtenue qu'une fois la pression d'épreuve est atteinte.

Pose dans le lit de rivière.

Dans notre cas, il s'agit d'une courte traversée. Nous utilisons des tuyaux rigides assemblés à l'air libre. La conduite est descendue avec précautions grâce à des engins de levage. Il est indispensable d'opérer en eau calme et d'éviter des manœuvres pouvant causer des dommages.

Le matériau utilisé est l'acier car il s'y prête mieux pour ce type de traversée.

Remblai de la tranchée.

Pour la pose en tranchée, nous procérons au remblayage par couches successives ~~arrosées~~ et bien tassées. En vue d'éviter la corrosion de la canalisation, du gravier naturel sera mis en place par couches successives. Le remblaiement se poursuit ainsi jusqu'à 0,30 m au-dessus de la génératrice supérieure. Il est achevé avec du tout-venant.

ASSAINISSEMENT .

CHAPITRE II . 1.Généralités :

1.1. Définition: L'assainissement des agglomérations a pour objet l'évacuation, sans stagnation des eaux usées et des eaux pluviales dans les conditions satisfaisantes pour la santé Public et les lieux d'habitations.

De ce fait, nous proposons la rénovation du réseau d'assainissement vétuste de la ville de Hassi-Bahbah.

1.2. Principe de construction du réseau d'assainissement.

L'agglomération urbaine est divisée en bassins d'apports partiels, chacun des bassins est drainé par une égout en système unitaire (faisant la collecte des eaux domestiques et pluviales) qui déversera dans le collecteur principal pour notre présente étude, nous projetons la réalisation de trois collecteurs principaux (CP-B₁, CP-B₂ - CP-B₃)

1.3. Fonctionnement du réseau.

Le réseau d'assainissement doit dans la mesure du possible être auto-cureur; Pour cela il faut que :

- Les sables soient automatiquement entraînés pour des débits pluviaux atteints assez fréquemment.
- Les vases fermeutescibles soient également entraînés pour les débits moyens des eaux usées.

Les conditions d'auto-curage minimum : 0,3 m/s pour 1/_{10⁹}

.../...

CHAPITRE II. ETUDE DU RESEAU D'ASSAINISSEMENT.

2.1. Type d'eau à évacuer.

La ville de Hassi-Bahbah ne disposant pas d'industrie, les seules eaux à évacuer seront donc :

- les eaux pluviales ou de ruissellement
- les eaux usées d'origine domestique
- * les eaux de ruissellement comprennent les eaux de pluies
- * les eaux de lavage, et les eaux de drainage
- * les eaux usées d'origine domestiques comprennent les eaux ménagères et les eaux vannes.

2.2. Calcul du réseau .

2.2.1. Eaux pluviales.

Le calcul des eaux pluviales est effectué selon la méthode rationnelle qui consiste à estimer les débits à partir d'un découpage du bassin versant en sous-bassins, telles que l'eau tombant sur le secteur arrive au collecteur respectif.

Si on considère une averses d'intensité constante i , sur un secteur de superficie A , ayant un coefficient de ruissellement pondéré C ; Le débit résultant du ruissellement exprimé par la relation :

$$Q = C.I.A. \quad (l/s)$$

C : Coefficient de ruissellement qui varie selon la pente, la nature, et la densité de la surface à drainer.

I : Intensité des précipitations(1/s/ha)

A : Surface du bassin d'apport (ha)

Intensité de la pluie :

- données pluviométriques de Hassi-Bahbah :

\bar{P}_{24} (p) : Pluie moyenne annuelle de 24 h : 305 mm

Cv : Coefficient de variation des pluies , max annuel de 24 h : 0,45

b : Exposant climatique $b = 0,28$.

.../...

-37-

Propabilité de non dépassement $p = 1 - \frac{1}{T} = 1 - \frac{1}{10} = 1 - 0,1 = 0,9$

Pluie max annuelle de 24 h de probabilité p :

$$P_{24}(p) = \frac{1}{a} \left[\ln \left(\frac{-\ln 0,582 + p}{1,582} \right) + X_0 \right] \text{Formule de}$$

GUMBEL. $\frac{1}{a} = 0,8799 \times Cv \Rightarrow \frac{1}{a} = 14,25$

$$X_0 = \bar{P}_{24}(1-1,1098 \cdot Cv) \Rightarrow X_0 = 18,04$$

$$P_{24}(p) = 14,25 \left[-\ln \left(\frac{-\ln 0,582 + 0,9}{1,582} \right) + 18,04 \right]$$

$$P_{24}(P) = 20,24.$$

$$\text{1- } i(t, P) = \frac{P_{24}(P)}{24} \left(\frac{t}{24} \right)^{b-1} \quad t \text{ en heures} \\ i = \text{mm/h}$$

$$\text{2- } i(t, F) = a(F) \cdot t^{b(F)}$$

A l'aide du programme établie sur H.P - 25 nous aurons les coefficients suivants :

$$a(F) = 2,675$$

$$b(F) = -0,72$$

$$\text{d'où } i(F, t) = 2,675 t^{-0,72}$$

Pour une série de durée et pour une période de retour de 10 ans, on établit le tableau n° 1, suivant :

Tableau n° 1.

t min	I mm/min	I l/s/ha
15	0,38	63
25	0,26	43
30	0,23	38
60	0,14	23

.../...

Nos calculs ont été menés à deux durées de pluie 15 et 25 mn, le dimensionnement du réseau a été effectué pour une période de retour de 10 ans

$$\begin{array}{ll} t = 15 \text{ mn} & I = 63 \text{ l/s/ha au Nord-Est} \\ t = 25 \text{ mn} & I = 43 \text{ l/s/ha Sud-Ouest} \end{array}$$

2.2.2. Eaux usées.

En se basant sur les résultats relatifs aux consommations totales journalières d'eau potable (voir chapitre A.E.P.) et en respectant les délimitations des bassins, nous procéderons au calcul suivant :

$$Q_C = 164,25 \text{ l/s} = 14191,41 \text{ m}^3/\text{j}$$

or 80 % de la consommation d'eau potable seront rejetées nous aurons donc :

$$Q_r = \frac{164,25 \times 80}{100} = 131,40 \text{ l/s}$$

Nous prenons en compte le coefficient de pointe égal à $K_p = 3$.

Le débit de pointe sera :

$$Q_p = 131,40 \times 3 = 394,20 \text{ l/s.}$$

Calcul du débit spécifique :

$$q_{sp} = \frac{Q_p}{\sum L} \text{ (l/s/m)}$$

$\sum L$: longueur totale des tronçons (m)

En multipliant le débit spécifique par chaque longueur du tronçon, on trouve le débit des eaux usées correspondant.

$$Q_{eu} = q_{sp} \times L \text{ (l/s)}$$

.../...

CHAPITRE III. PLAN DE CALCUL DU RESEAU D'ASSAINISSEMENT.

Tous les calculs concernant le dimensionnement du réseau d'assainissement sont dressés sur le tableau n° I de 28 colonnes.

- Colonnes de 1-8 -représentent les données de bases du calcul du réseau.
 - Colonne 1 - numération des collecteurs
 - Colonne 2 - Numération des tronçons du collecteur
 - Colonne 3 - Surface du bassin d'apport exprimée en ha
 - Colonne 4 - Coefficient de ruissellement de chaque bassin d'apport, celui-ci dépend de la nature et de la densité de la surface à drainer.
- Colonne 5 - donne la surface\$ réduites en ha qui est égale au produit de la surface d'apport pour le coefficient de ruissellement.
- Colonne 6 - Surfaces réduites cumulées
- Colonne 7 - longueurs de chaque tronçon
- Colonne 8 - longueurs cumulées.
- Colonnes 9 - 14 - Représentent l'intensité de pluie et les débits des eaux usées et pluviales
- Colonne 9 - l'intensité de pluie qui est de 63 l/s/ha au Nord et de 43 l/s/ha au Sud-Ouest.
- Colonne 10 - Don les débits des eaux pluviales.

$$Q = C \cdot I \cdot A$$

A = Surface du bassin en ha

I = Intensité

C = Coefficient de ruissellement

- Colonne 11 - Nous donne les débits cumulés des eaux pluviales (l/s)

- Colonne 12 - Les débits des eaux usées (l/s)

$$Q_{EU} = Q_{SP} \cdot L$$

.../...

- Colonne 13 - débits cumulés des eaux usées en (l/s).
- Colonne 14 - c'est le débit total qui est la somme des eaux usées et des eaux pluviales cumulées.
- Colonne 15 à 20 - Représentent les côtes du terrain et des côtes de la génératrice supérieure de la conduite ainsi que les diamètres des canalisations
- Colonnes 15 - 16 - montrent les côtes amont et aval du terrain.
- Colonne 17 - 18 - donnent les côtes respectives amont et aval du radier.
- Colonne 19 - représente la pente du radier qui est la différence des côtes amont et aval du radier que divise la longueur du collecteur respectif.
- Colonne 20 - Ayant la pente et le débit et en moyennant l'annexe de MANING Strickler (pour les canalisations circulaires), nous déterminons le diamètre correspondant en (mm).
- Colonnes 21 à 27 - Représentent les débits et les vitesses de pleines sections, les hauteurs de remplissage, le rapport des diamètres des vitesses, ainsi que les vitesses d'autocourrage.
- Colonne 21 - 22 - Connaissant les valeurs de la pente et du débit que nous projettions sur le diamètre de la canalisation figurant sur l'annexe de MANNING Strickler, nous déterminons alors la valeur du débit de pleine section. Qps en m³/s et la valeur de la vitesse de pleine section Vps en (m/s).

.../...

- Colonne 23 - Elle correspond au rapport du débit d'eau usée et celui du débit de plein section.
- Colonne 24 - 25.- Après avoir déterminé le rapport des débits, nous pouvons lire directement sur l'annexe (ouvrages circulaires) le rapport des hauteurs de remplissage et le rapport des vitesses.
- Colonne 26 - C'est le produit du diamètre et de r_H
- Colonne 27 - Elle correspond à la vitesse d'eau pour le débit 0 et est égale au produit de la vitesse en pleine section et du rapport de vitesse.
- Colonne 28 - Elle exprime la vitesse de l'eau pour 1 du débit à plein section; c'est la T_0 vitesse d'auto-curage qui est égale au produit de la vitesse à pleine section par 0,6.

3.1. Conclusion.

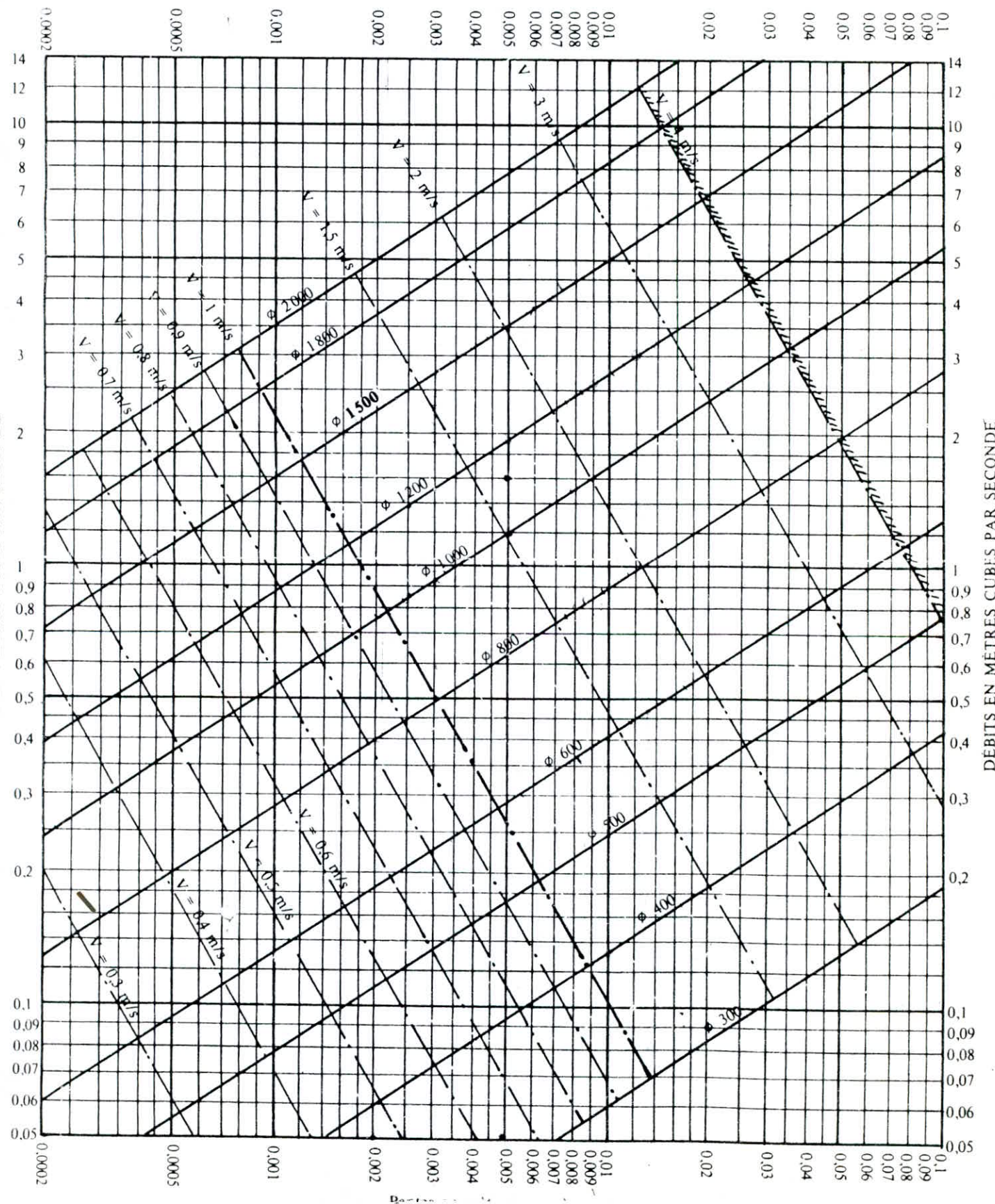
On obtient des diamètres qui varient entre 400 mm et 1500 mm, en remarquant que la condition d'auto-curage est satisfaite.

.../...

ANNEXE VII

RÉSEAUX PLUVIAUX EN SYSTÈME UNITAIRE OU SÉPARATIF

(Canalisations circulaires – Formule de Bazin)

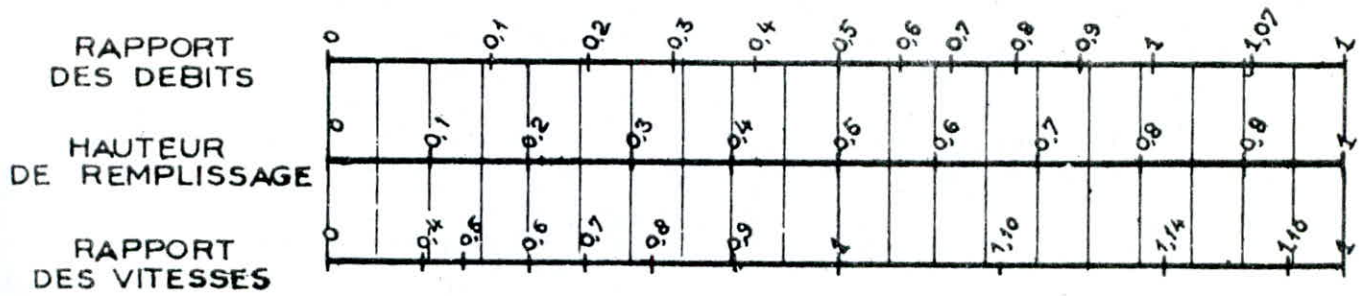


ANNEXE X

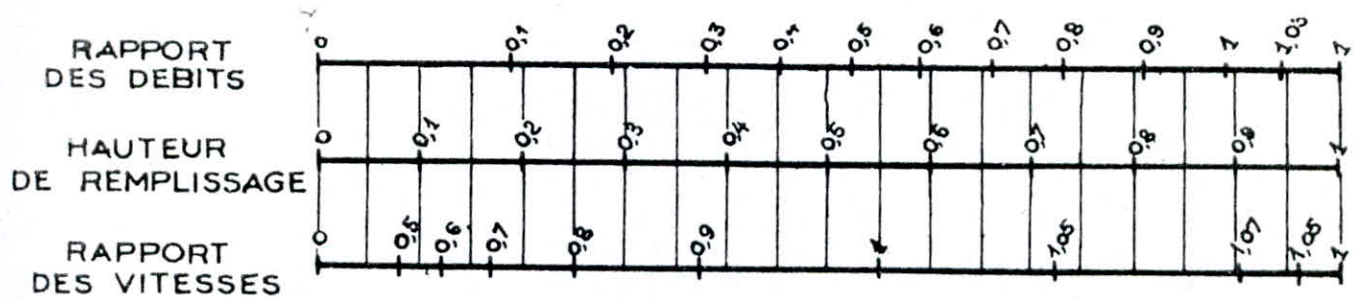
VARIATIONS DES DÉBITS ET DES VITESSES EN FONCTION DE LA HAUTEUR DE REMPLISSAGE

(d'après la formule de Bazin)

a) Ouvrages circulaires



b) Ouvrages ovoïdes normalisés



Exemple - Pour un ouvrage circulaire rempli aux $3/10$, le débit est les $2/10$ du débit à pleine section et la vitesse de l'eau est les $78/100$ de la vitesse correspondant au débit à pleine section

CHAPITRE IV : Eléments constitutifs du réseau.

Les éléments constitutifs du réseau d'égout se subdivisent en :

- ouvrages principaux
- ouvrages annexes.

4.1. Ouvrages principaux.

Pour notre étude, nous avons opté pour des tuyaux cylindriques en béton à joints de caoutchouc d'épaisseur, longueur (2 à 3) m.

4.2. Ouvrages annexes.

Pour les ouvrages annexes de notre réseau, se sont les regards de visite, (voir fig n° a), installés à chaque jonction, dans les parties droites, et en pentes régulières tous les 80 m au maximum. *chaque changement de direction.*

Des déversoirs d'orages qui sont destinés à laisser passer en direction d'un exutoire naturel, une fraction du débit d'orage, pour éviter à l'aval des collecteurs de grands diamètres ou à double canalisation, ou ils sont placés près d'une station d'épuration, cette dernière ne peut, d'une manière générale, recevoir que le triple ou au maximum le quadruple du débit de temps-sec. Il est donc ordinairement, inutile de faire transiter jusqu'aux stations des débits d'orage destinés à être rejetés au préalable, au milieu naturel.

4.3. Dimensionnement du déversoir d'orage n° 1.

Egout collecteur principal en direction du déversoir 1 des eaux pluviales.

$\varnothing 1500 - I = 0.005 \text{ mm}$ Coefficient de rugosité de laparoi

- Débit de temps de pluie : 2920 l/s
- Débit de temps sec : 114 l/s.

a) débit s'en allant vers le point B_{3/5}

$$\frac{0}{5} B_3 = 114 \times 2 + 460,4 + 24,59 = 713,07 \text{ l/s}; 460,4 \text{ l/s débit des eaux pluviales}$$

24,59 l/s : débit des eaux usées du collecteur $\frac{B_2}{4} - \frac{B_3}{5}$ s'en

s'en allant vers B₂ :

$$Q_d = 2920 - 713 = 2207 \text{ l/s.}$$

.../...

b) calcul du niveau d'eau dans le tuyau d'arrivée Ø 1500

$$Q_{ps} = 3500 \text{ l/s} \text{ (débit plein section)}$$

- pour débit de temps défini:

$$\frac{Q_T}{Q_{ps}} = \frac{2920}{3500} = 0,83 \quad r_H = 0,70 \text{ rapport des hauteurs}$$

$$H_T = 1500 \times 0,70 = 1050 \text{ mm.}$$

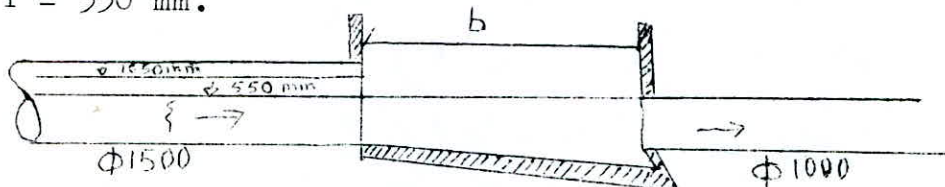
- pour débit de temps sec et eaux pluviales du collecteur aval.

$$\frac{Q_T}{Q_{ps}} = \frac{713}{1200} = 0,58 \quad r_H = 0,55$$

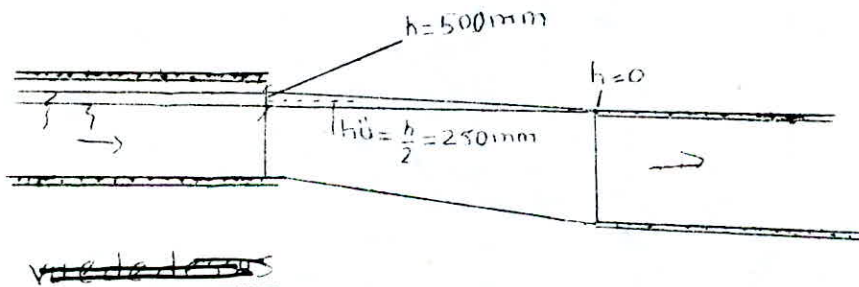
$$H_T = 0,55 \times 1000 = 550 \text{ mm}$$

Hauteur du seuil de déversoir :

$$H_T = 550 \text{ mm.}$$



Coupé transversale



$$h = 1050 - 550 = 500 \text{ mm}$$

... / ...

Le débit de déversoir est donné par :

$$Q_d = \mu \cdot b \cdot h \sqrt{2g} h \quad (\text{m}^3/\text{s})$$

μ = f(hauteur du seuil, charge d'eau, forme de la crête) il est calculer par la formule de BAZIN suivante :

$$\mu = (0,45 + \frac{0,003}{h}) \left[1 + 0,755 \left(\frac{h}{h+Z} \right)^2 \right]$$

Z : hauteur de la pelle : $0,2 \leq Z \leq 2 \text{ m}$

h = 0,5 m charge en m

b = largeur de la lame déversante en m

g = accélération de la pesenteur $9,81 \text{ m/s}^2$

$$Q_d = \mu \cdot l \cdot h \cdot \sqrt{2g} \cdot h$$

$$\mu = 0,456 \approx 0,46$$

$$Z = 0,5 \text{ m}$$

$$b = \frac{Q_d}{\mu \cdot h \cdot \sqrt{2g} \cdot h} = \frac{2,2}{0,46 \cdot 0,5 \sqrt{2} \times 9,81 \cdot 0,5}$$

$$b = 3,05 \text{ m}$$

La formule de BAZIN n'est applicable que dans les limites suivantes

$$0,08 \leq h \leq 0,7 \text{ m} \Rightarrow \text{remplie}$$

$$L \geq 4 \cdot h \Rightarrow \text{remplie}$$

$$0,2 \leq Z \leq 2 \text{ m} \Rightarrow \text{remplie.}$$

.../...

CHAPITRE V - Pose de canalisation.

5.1. Emplacement.

Dans les rues de moins de 15 m de largeur, les égoûts sont placés dans l'axe de la chaussée, dans les rues plus larges, la pose d'égoût sous chaque trottoir s'avère indispensable.

5.2. Exécution de la tranchée.

La largeur de la tranchée doit être égale au minimum 0,60 m ou au diamètre extérieur de la canalisation augmenté de 0,50 m, si le terrain est mauvais, la pose se fait dans une tranchée de 6 m de profondeur, cela aussi pour satisfaire l'écoulement gravitaire.

5.3. Pose des canalisations.

Les tuyaux doivent être posés à partir de l'aval. L'emboîtement s'il existe doit être dirigé vers l'amont le calage provisoire des tuyaux doit s'effectuer à l'aide de coins en bois ou de mottes de terre tassées.

5.4. Remblaiement des tranchées.

Un premier remblaiement doit-être effectué jusqu'à une hauteur de 0,15 m au dessus de la génératrice supérieure de la canalisation, il doit être réalisé à la main avec des déblais expurgés des éléments susceptibles de porter atteinte aux tuyaux, ou avec du sable, ou du gravier.

Ce remblai doit-être soigneusement damé à la main, la deuxième étape de remblaiement est effectuée à l'aide d'engins mécaniques, la terre utilisée dans ce cas ne doit contenir ni blocs de roches, ni débits végétaux ou animaux.

5.5. Nettoyage du réseau d'égout.

Des nettoyages périodiques doivent être effectués sur les tronçons de canalisation.

Ce nettoyage peut s'effectuer au moyen de l'eau sous très forte pression de 40 à 100 bars selon le cas.

Nous utilisons alors des engins comportant une citerne à eau, une pompe entraînée par un moteur électrique et à l'extrémité de tuyau de refoulement de la pompe une tête comportant un nombre de jets variables selon le travail à effectuer.

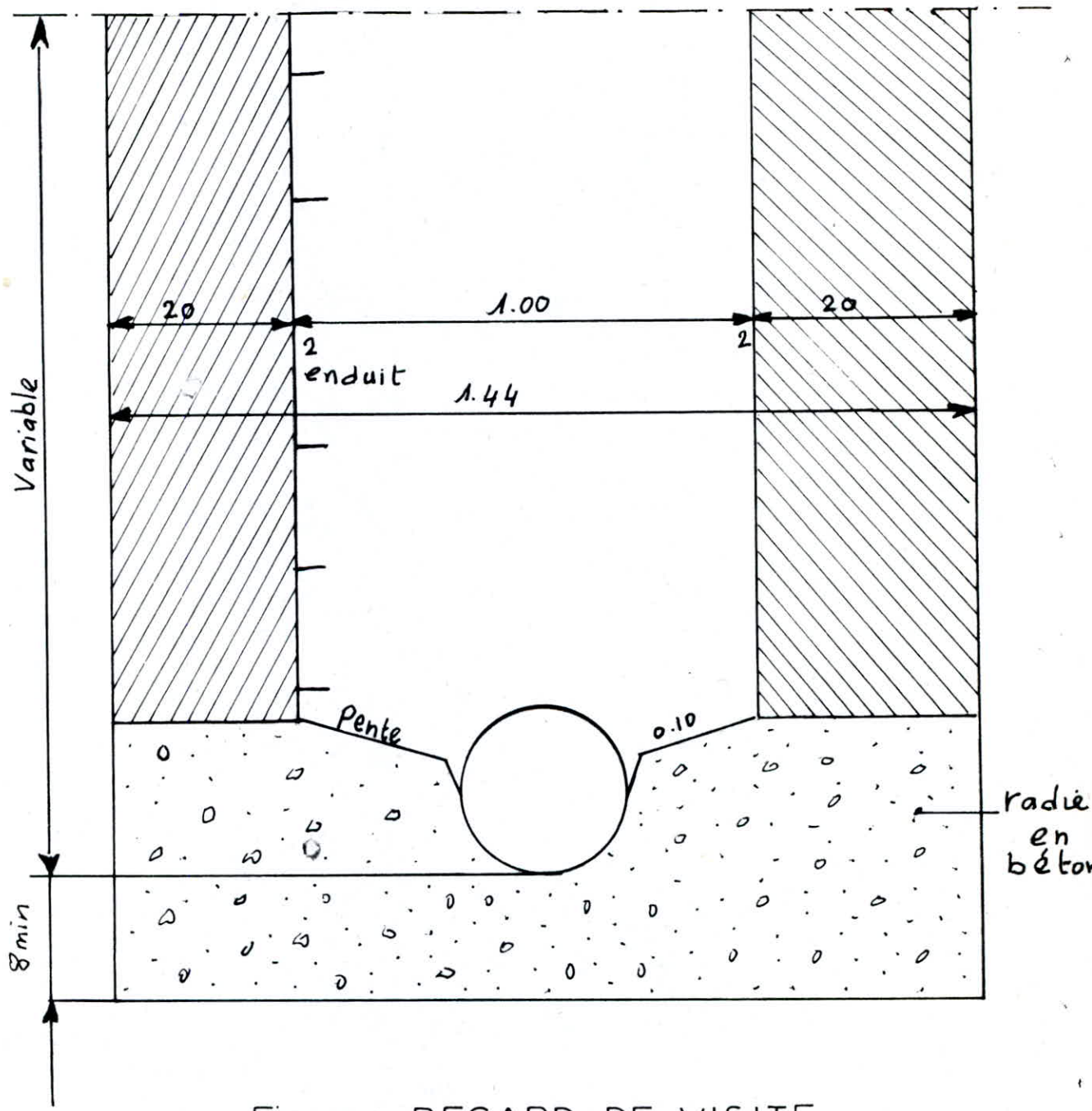


Fig. a : REGARD DE VISITE

CONCLUSION

Dans cette étude malgré le manque de données nous avons essayé d'apporter une amélioration dans la satisfaction des besoins en eau potable qui jusqu'à présent demeurent trop forts.

Depuis que le point d'eau à exploiter a été choisi après une étude quantitative nous nous sommes préoccupés plus particulièrement du tracé du réseau ainsi que des ouvrages correspondants tel que le captage réservoirs et réseaux de distribution.

Il nous a semblé utile de déterminer les débits nécessaires pour assurer en tous points avec les pressions correspondantes une alimentation convenable.

Dans l'état actuel de ce secteur l'urgent n'est pas seulement de recouvrir systématiquement à la mobilisation de nouvelles ressources mais d'agir avec urgence et célérité sur la qualité de service et d'assurer au réseau projeté un service de longue durée avec des dépenses d'entretien admissible.

Nos préoccupations sont portées aussi sur les conditions auxquelles sont soumises les eaux rejetées par l'usage pour éviter de porter préjudice aux milieux naturels et à l'hygiène publique.

Néanmoins des collecteurs principaux sont dimensionnés dans le but de véhiculer la station d'épuration les eaux usées vers.

B I B L I O G R A P H I E

A . E . P .

Hydraulique Urbaine Tome II.....A. DUPONT.

Distribution d'eau dans les agglomérations Urbaines et
Rurales.....G. GOMELLA.

Longueur fluido-dynamique.....G. LAPRAY.

Catalogue des pompes.....JEUMONT-SCHEIDER

ASSAINISSEMENT :

Les eaux usées dans les agglomérations Urbaine et Rurales
Tome I C. GOMELLA... H. GUERREE.

Les réseaux d'assainissement.....R. BOURRIER.

Mémento technique de l'eau.....DEGREMONT (1978).

PH 00231
22

REPUBLIQUE ALGERIENNE DEMOCRATIQUE

POPULAIRE

E COLE NATIONALE POLYTECHNIQUE

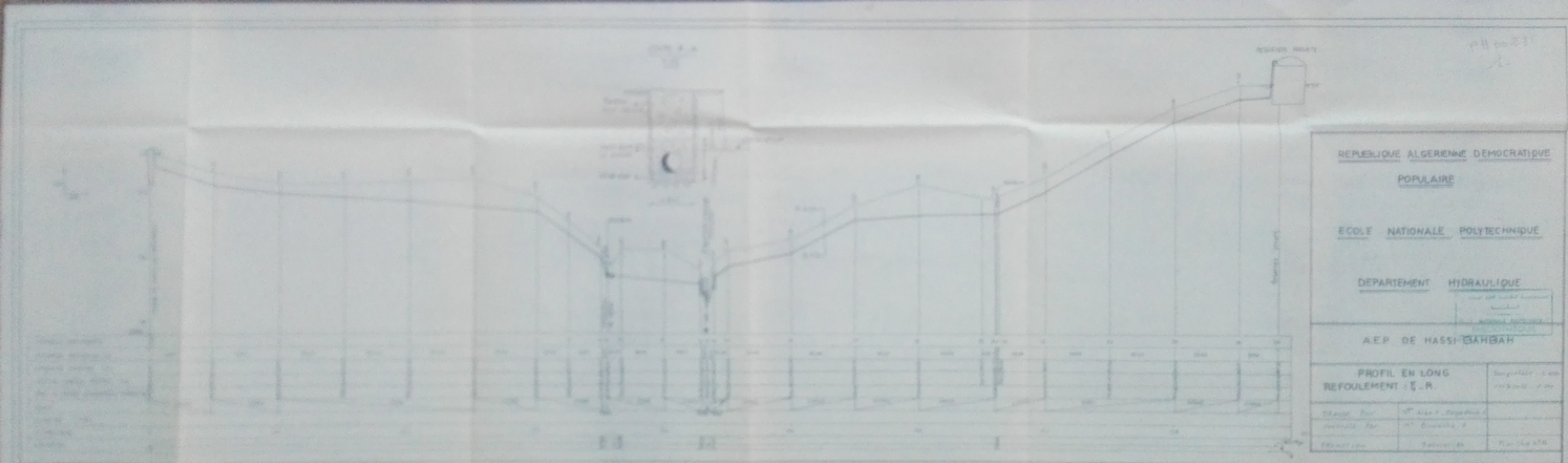
DEPARTEMENT HYDRAULIQUE

AEP DE HASSI-BAHBAH

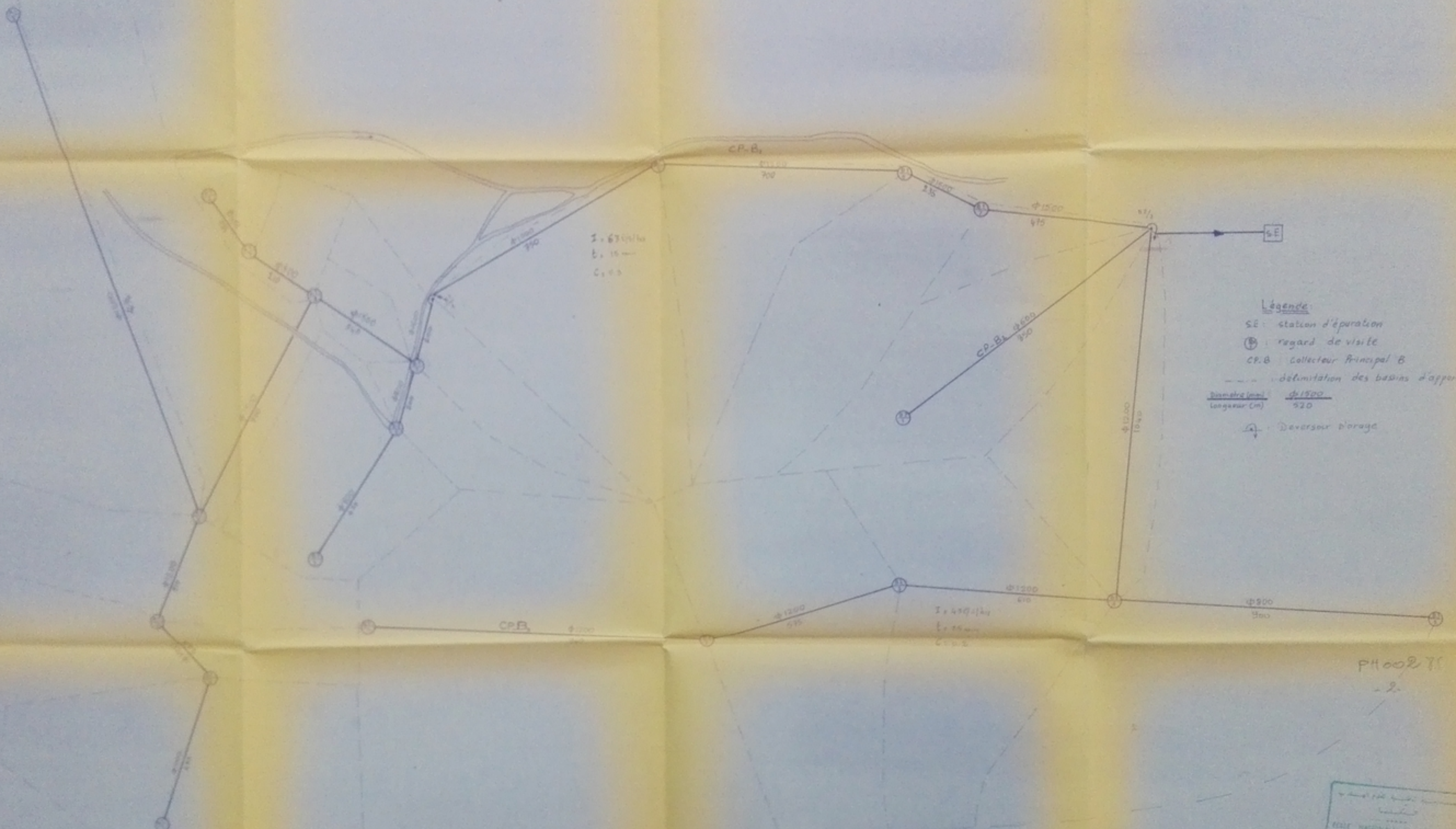
PROFIL EN LONG
REFOULEMENT : E.R.

Boulevard : 1 km
Rue de la : 1 km

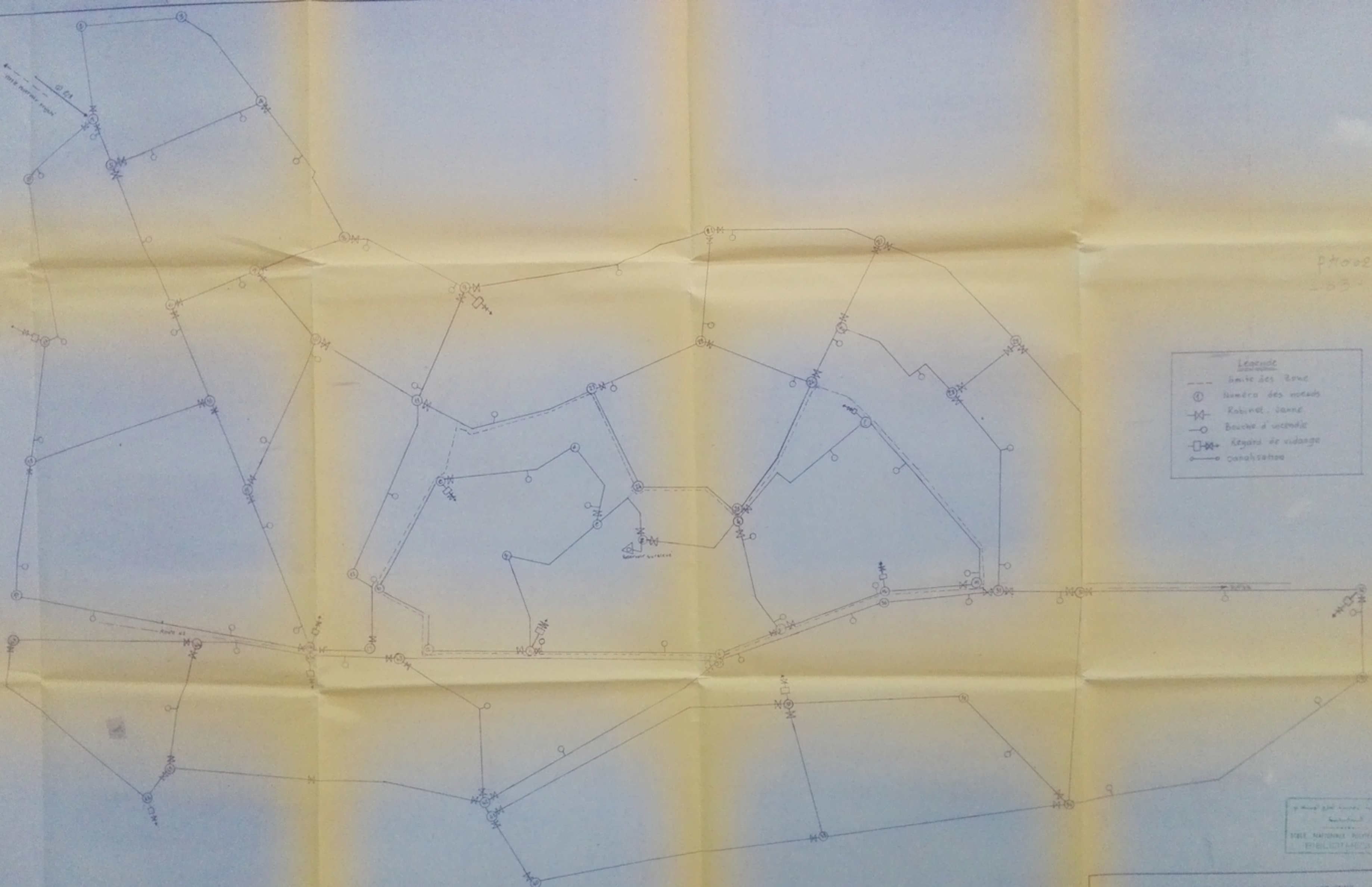
TRAITE PAR	M. ABDERRAHMANE
REVISÉ PAR	M. BENABDERRAHMANE
DISPONIBLE	TOUJOURS



PLAN DE SITUATION DU RESEAU D'ASSAINISSEMENT DE HASSI-BAHBAH



ÉCOLE NATIONALE POLYTECHNIQUE ALGERIENNE	
ASSAINISSEMENT DE HASI-BAHBAH	
PLAN DE SITUATION DU RESEAU D'ASSAINISSEMENT	
Echelle 1/5000	
Conçu par	M. MESSAOUDI F. ET ZEGHOUDY A.
Revisé par	M. BOUACHE
Planche n° 7	

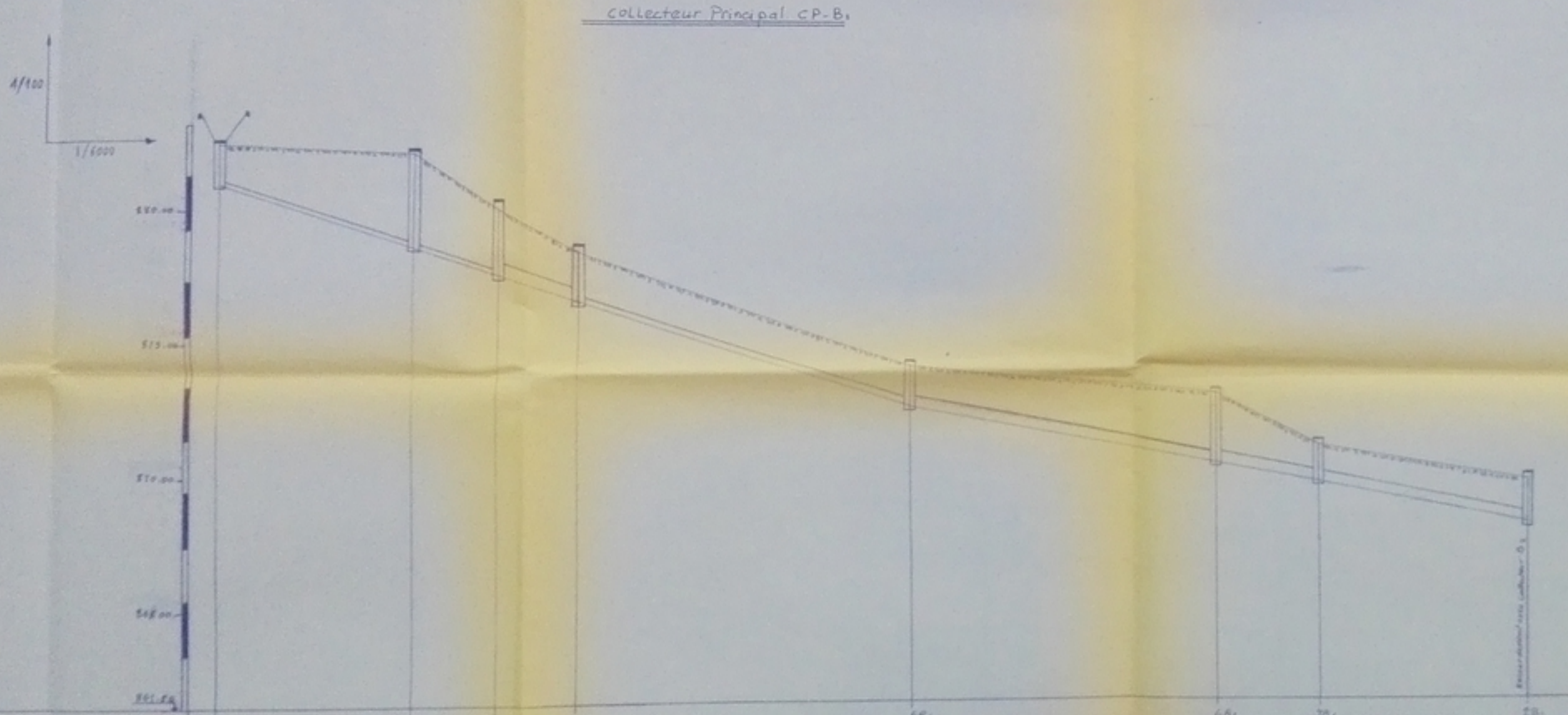


ECOLE NATIONALE POLYTECHNIQUE ALGERIENNE
ASSAINISSEMENT DE HASSI-BAHRAM

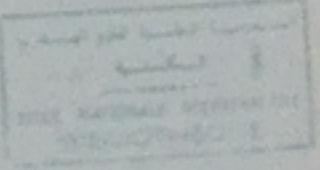
EQUIPEMENT DU RESEAU DE DISTRIBUTION		Echelle 1/5000
Conçu par	M. MESSAI AIDA ET ZEGHOUDI A.	
Contrôlé par	M. BOUACHE	

PLANCHE N° V

P1002 61
- 3 -



Tronçons	8 ₁	28 ₂	38 ₃	48 ₄	58 ₅	68 ₆	78 ₇	28 ₈
Diamètres (mm)	800	800	1500	1000	1200	1500	1500	
Longueurs Partielles (m)	420	155	185	745	705	255	485	
Longueurs cumulées (m)	0	420	575	745	1200	1455	1940	
côtes du terrain (m)	812.50	812.48	812.40	812.30	812.20	812.10	812.00	
côtes du radier (m)	812.45	812.42	812.35	812.25	812.15	812.05	812.00	
Pente du radier m/m	0.000833	0.000833	0.000833	0.000833	0.000833	0.000833	0.000833	



ASSAINISSEMENT DE
HASSI-BARHABAH
PROFIL EN LONG
CP-B₁
Conçu par M. M. BOUACHE et réalisée par A.
Signé par M. M. BOUACHE

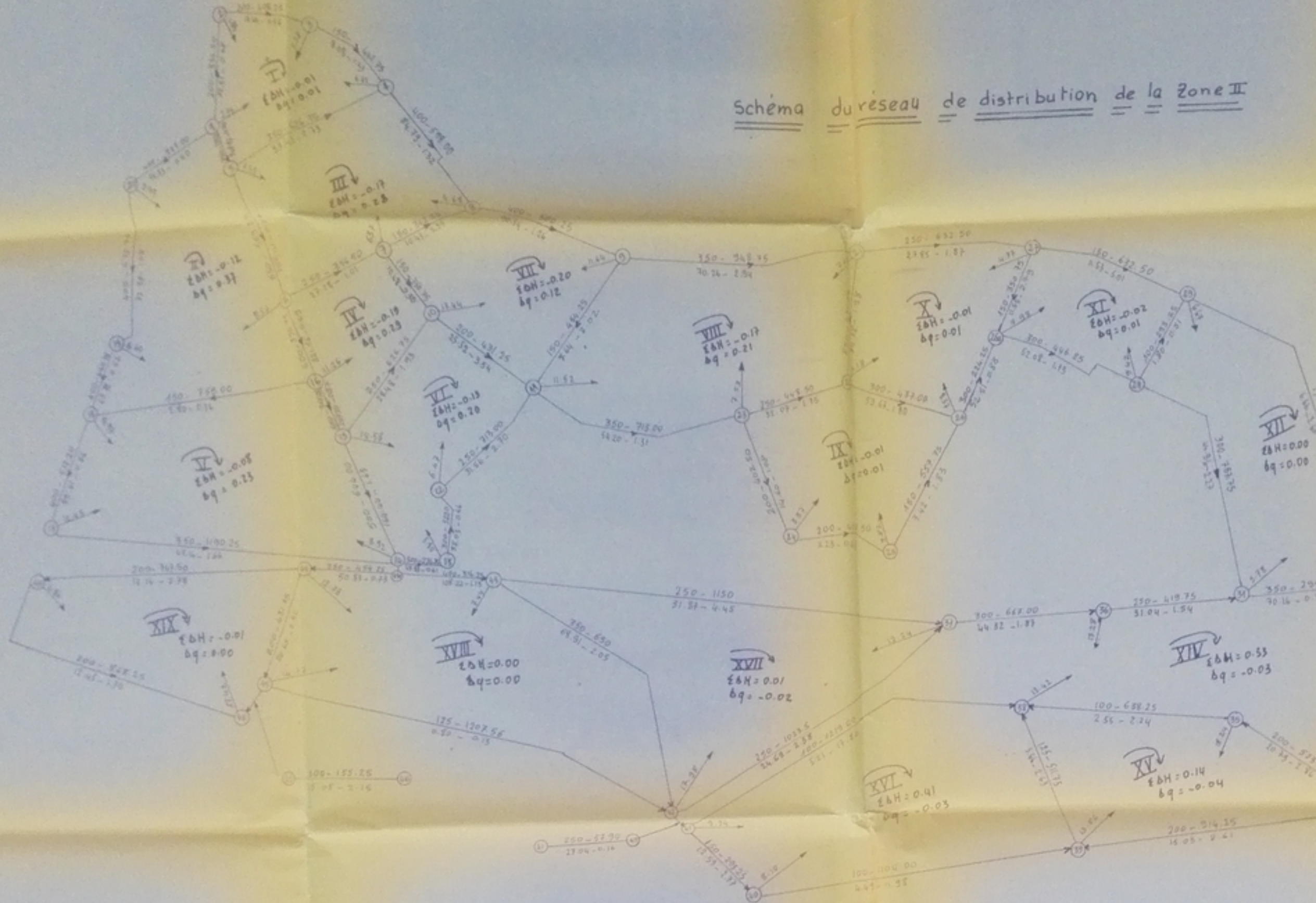
CALCUL DU RESEAU D'ASSAINISSEMENT DE LA VILLE DE HASSI BAHBAH

Tableau n°^{III}

N° Collecteur	tronçon du bassin d'apport	Surface du bassin d'apport (ha)	Contrainte hydraulique	Surface réduite (ha) A	Surface réduite cumulée (ha)	Longueur du tronçon (m)	longueurs cumulées (m)	intensité Qeaux Pluviales Q _p C _{2,0} Q _c (l/s)	Qeaux Pluviales cumulées (l/s)	Q _{p+Q_c} (l/s)	Côte de terrain (m)	Côte de rodier (m)		Pente m/m	Diamètre φ mm	Qps plain section m ³ /s	Vps vitesse plain Section m/s	Q _p Qps	raport hauteur de la tête de la rivière Y _a m	raport des vitesses V _a m/s	Q _r Y _H m/mm	V _{m/s} Vmax	Vitesse d'autou- caraage Vpsx04 (m/s)	Observations			
												Amont	Aval														
1	2	3	4	5	6	7	8	9	10	11	12	13	14 (11+13)	15	16	17	18	19	20	21	22	23	24	25	26	27	28
B1-B1	1033	03	3.189	3.189	430	430	43	588307	588307	1419	1419	583.097	386.90	385.85	88470	88345	0.003	φ1000	0.93	1.22	0.84	1.38	1.049	580	187	0.73	
B1-B1	1933	"	5.865	14.454	285	855	"	331.885	310.585	3.03	31.62	333.818	385.85	88450	88345	0.003	φ1000	0.88	1.22	0.88	1.13	1.00	137	0.75			
B1-B1	3034	"	6.258	20.708	315	370	"	393.876	1304.468	1040	38.08	1336.488	88450	88438	88375	0.003	φ1200	1.51	1.85	0.86	0.72	1.15	884	150	0.81		
B1-B1	4811	"	14.433	35.139	1485	3455	"	503.373	309.279	49.01	49.01	558.189	488.60	88438	88378	0.003	φ1800	1.51	1.35	0.63	0.57	1.048	684	141	0.81		
B1-B1	3455	"	10.355	45.504	705	3160	"	858.395	8813.747	83.27	81.03	8884.777	88438	88130	88187	879.80	0.003	φ1500	370	1.60	0.85	0.71	1.113	1085	178	0.86	
B1-B1	435	"	1.308	46.818	175	3335	"	88.404	88.404	5.78	5.78	88.184	886.10	88380	88450	888.40	0.013	φ400	0.13	1.10	0.67	0.80	1.08	840	116	0.70	
B1-B1	445	"	1.338	48.15	210	3545	"	84.294	168.898	6.93	12.71	179.408	883.80	88130	88240	879.80	0.012	φ500	0.95	1.30	0.78	0.88	1.08	315	140	0.78	
B1-B1	438	"	1.324	49.374	340	3885	"	77.112	2380.445	11.88	93.74	2474.185	881.30	88010	879.80	877.60	0.005	φ600	380	2.15	0.85	0.59	1.05	885	125	1.09	
B1-B1	1619	"	4857	54.831	480	4305	"	305.991	305.991	13.86	13.86	319.051	888.50	888.20	88100	878.65	0.005	φ800	0.84	1.28	0.47	0.46	0.965	570	124	0.77	
B1-B1	635	"	1.305	56.136	195	4500	"	180.015	486.006	8.44	80.3	446.308	888.20	88010	878.65	877.60	0.005	φ800	0.64	1.08	0.70	0.80	1.07	496	137	0.77	
B1-B1	335	"	3.817	58.953	185	4685	"	177.471	2806.451	6.11	114.04	2880.449	880.10	878.50	877.60	876.65	0.005	φ1500	350	8.00	0.83	0.70	1.11	1050	182	1.20	
B1-B1	3435	"	7.308	66.881	745	5430	"	460.404	3866.855	84.59	138.63	713.07	878.80	874.80	876.65	878.60	0.005	φ1000	130	150	0.58	0.55	1.03	550	155	0.90	
B1-B1	1535	"	4614	70.875	705	6135	"	290.688	3557.537	83.27	161.98	1487.08	874.80	873.05	870.60	870.45	0.005	φ1800	150	1.35	0.93	0.76	1.120	910	150	0.81	
B1-B1	2535	"	7.605	78.48	235	6370	"	479.115	4036.658	7.78	189.88	1913.98	873.05	871.10	870.45	869.70	0.003	φ1500	370	1.60	0.70	0.60	1.07	930	171	0.98	
B1-B1	435	"	1.305	79.785	485	6855	"	88.815	4118.867	16.01	185.67	2012.13	87.10	869.80	869.70	868.20	0.003	φ1500	270	1.62	0.74	0.64	1.008	950	174	0.96	
CPB2	B2-B2	19.52	03	5.866	85.641	850	850	"	588.928	368.928	28.05	28.05	398.978	882.10	859.80	878.90	868.20	0.013	φ600	0.46	1.70	0.85	0.73	1.115	430	189	1.02
CPB3	B2-B2	19475	03	82.83	108.471	960	960	43	981.59	981.59	31.58	31.58	1013.37	887.00	888.00	885.74	883.74	0.0021	φ1200	1.25	1.15	0.80	0.88	1.105	810	145	0.69
CPB3	B2-B2	39.00	"	5.40	194.871	575	1535	"	275.20	1256.89	18.98	50.61	1307.55	888.00	886.00	885.74	883.60	0.0025	φ1200	1.40	1.05	0.93	0.75	1.124	910	140	0.75
CPB3	B2-B2	30.02	"	6.004	120.875	610	2145	"	258.172	1515.082	20.13	70.13	1585.25	886.00	884.80	882.30	879.20	0.0051	φ1200	1.90	1.75	0.83	0.70	1.111	840	134	1.05
CPB3	B2-B2	33.83	"	8.694	187.519	900	900	"	285.692	285.692	29.70	29.70	315.388	883.50	884.20	882.50	881.00	0.002	φ600	0.40	0.88	0.75	0.65	1.089	520	88	0.50
CPB3	B2-B2	18.66	"	3.338	138.651	1040	3185	"	143.276	1944.03	34.32	134.21	2078.24	884.20	869.80	879.20	868.20	0.009	φ1200	380	230	0.77	0.68	1.09	730	251	1.38



P 00285
- 05

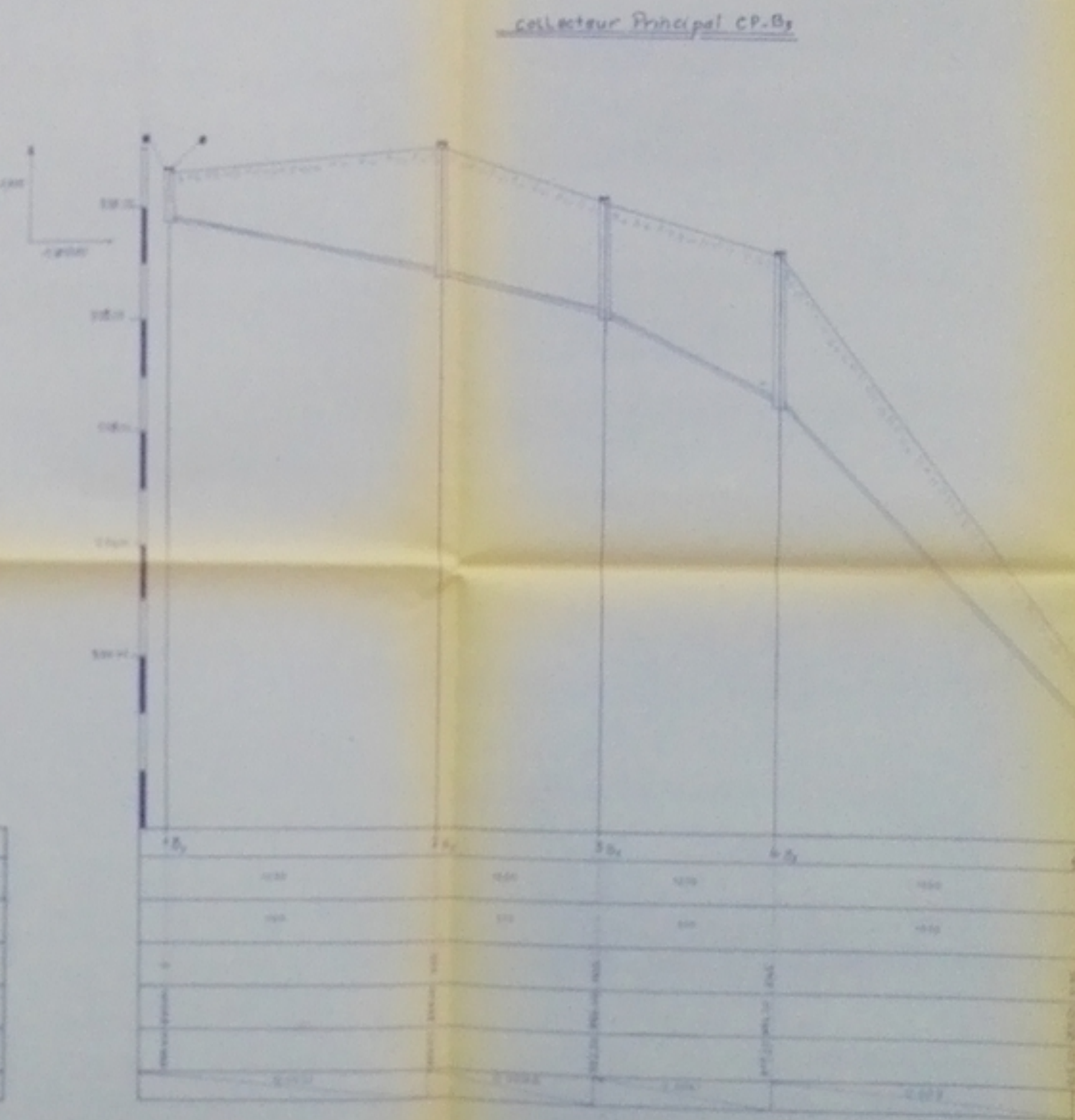
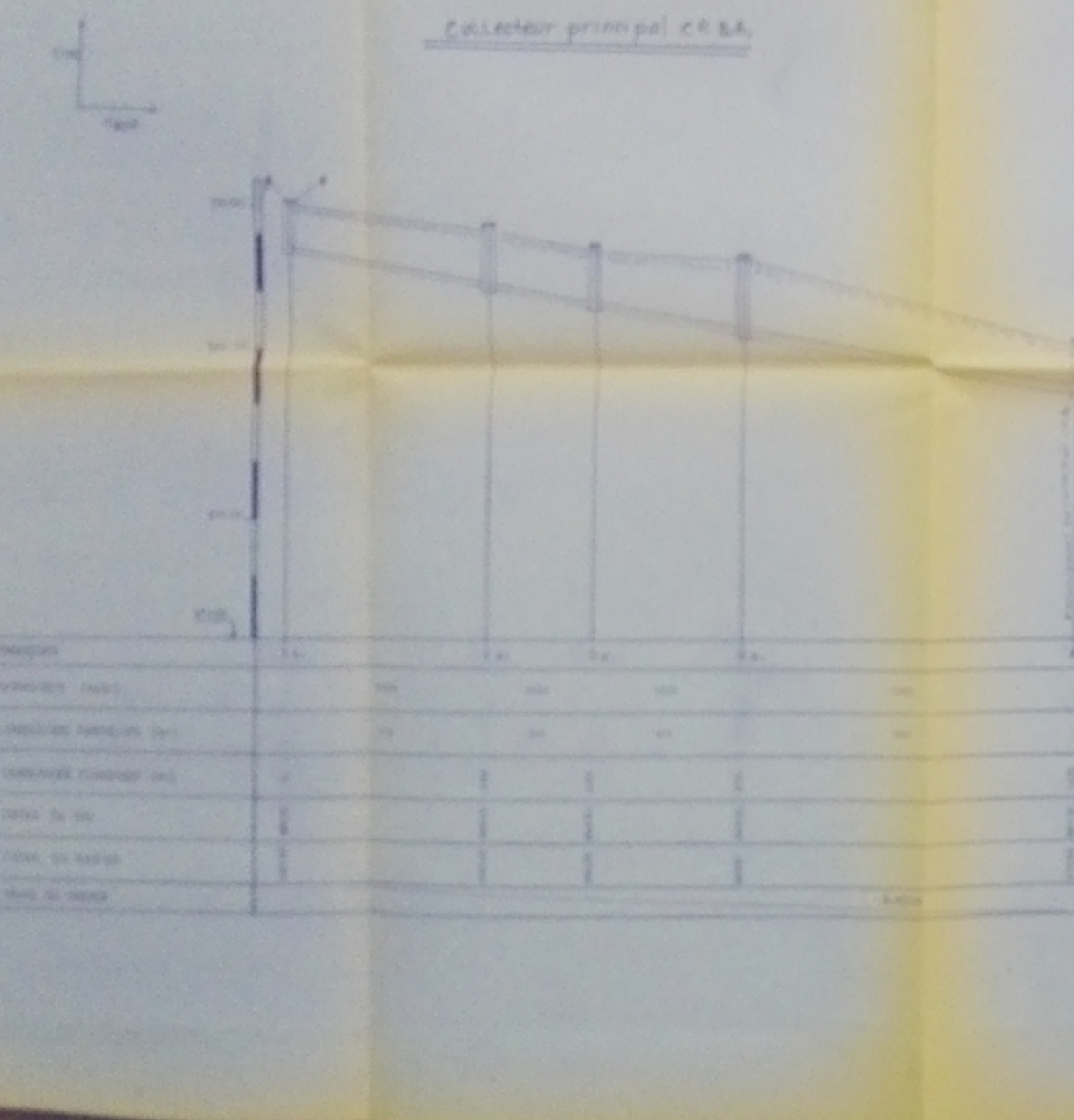


Legende:

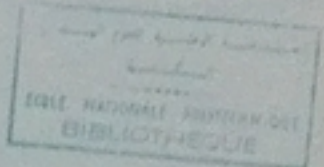
- (1) Numéro du nœud
- (2) D(mm) Longueur(m)
- (3) Débit (l/s) - pds/m
- (4) Numéro de la maille et sens de l'écoulement +
- (5) Débit sortant (l/s)

ÉCOLE NATIONALE POLYTECHNIQUE
BIBLIOTHÈQUE

ÉCOLE NATIONALE POLYTECHNIQUE ALGÉRIENNE	
AUGMENTATION EN EAU POTABLE DE HASSI-BAHBAH	
Schéma du réseau de distribution Zone II	
Dressé par	M ^{me} AIDRAF et ZEGHDOUNI A.
Contrôlé par	M ^{me} M. BOUACHE
Plancher n° 2	



pH 002.85
- 07-



ÉCOLE NATIONALE POLYTECHNIQUE ALGERIENNE

ASSAINISSEMENT DE

HASSI - BAHBAH

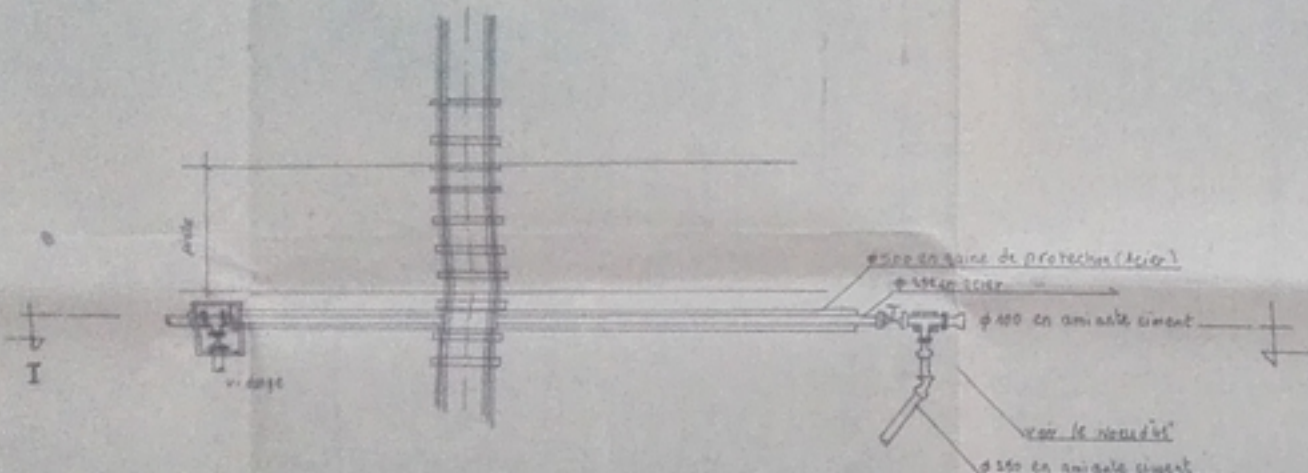
PROFILS EN LONG

CP-B₁ ACP-B₃

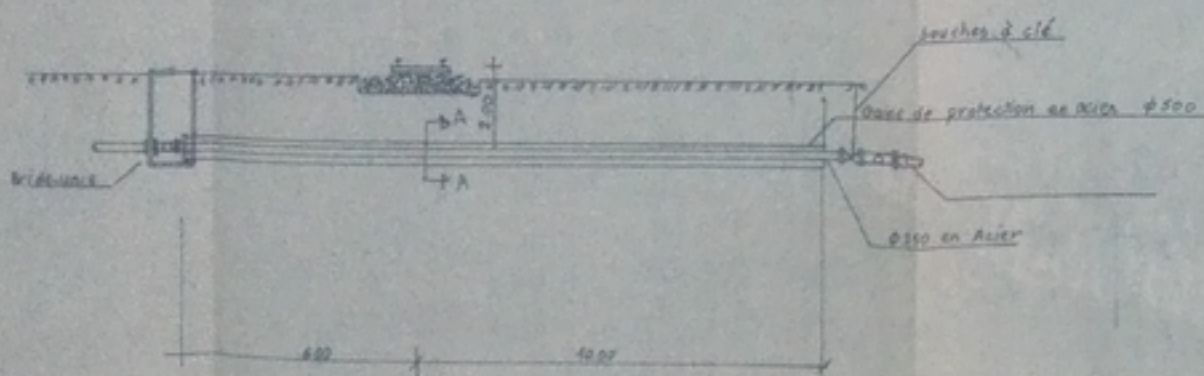
DESSINANT : MESSAÏD AIDA F. ET ZEGHOUDI A.

TOUSSES : M. BOUACHE

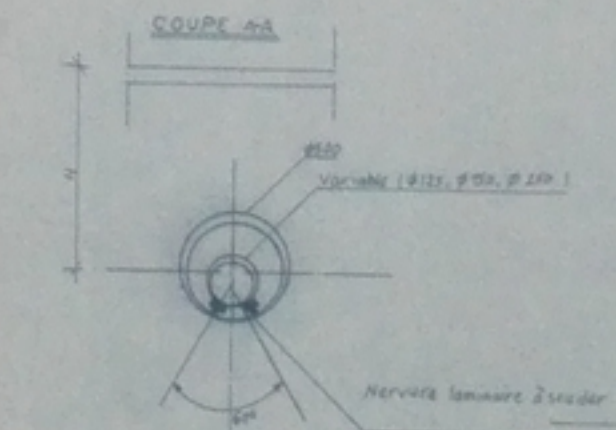
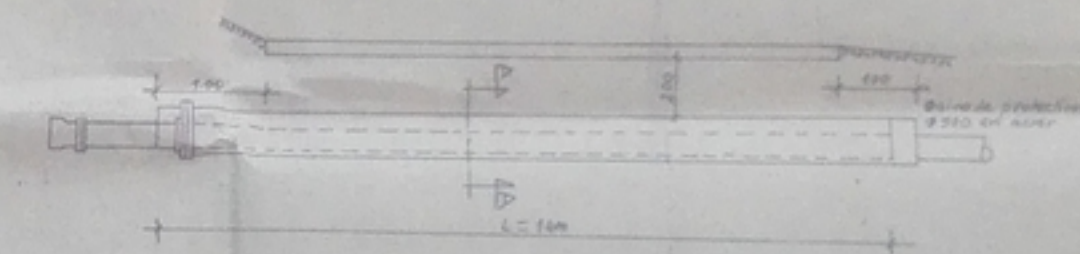
TRAVERSEE DE CHEMIN DE FER
VUE EN PLAN échelle 1/100



COUPE I-I éch. 1/100



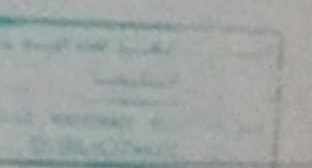
TRAVERSEE DE LA ROUTE
échelle 1/50



REPUBLIQUE ALGERIENNE DÉMOCRATIQUE ET POPULAIRE

ECOLE NATIONALE POLYTECHNIQUE

DEPARTEMENT HYDRAULIQUE



A.E.P. DE HASSI - BAHBAH

TRAVERSEE DU CHEMIN DE FER - ROUTE		échelle 1/100
TRACÉ	PARIS - VILLEURBANNE	
DISTANCE	1000 mètres	
INSTRUMENT	TRANSFERT	

